

**GERUCHSTECHNISCHER BERICHT NR. LG17529.1/01**

über eine geruchstechnische Untersuchung im Rahmen der Aufstellung  
des Bebauungsplanes Nr. 68 „Sondergebiet Fachmarkt / Gemeinbedarf Feuerwehr“  
der Samtgemeinde Nordhümmling in 26897 Esterwegen

---

Auftraggeber:

Rathaus Esterwegen  
Poststraße 13  
26897 Esterwegen

Bearbeiter:

Irina Kötter M. Sc.

Datum:

30.11.2022



ZECH Umweltanalytik GmbH Lingen • Hessenweg 38 • 49809 Lingen  
Tel +49 (0)5 91 - 8 00 16-10 • Fax +49 (0)5 91 - 8 00 16-80 • E-Mail [umweltanalytik@zechgmbh.de](mailto:umweltanalytik@zechgmbh.de)

**ANALYTIK**

**LUFTINHALTSSTOFFE**

**STAUB**

[www.zechgmbh.de](http://www.zechgmbh.de)

## **1.) Zusammenfassung**

Die Gemeinde Esterwegen plant die Aufstellung eines Bebauungsplans Nr. 68 „Sondergebiet Fachmarkt / Gemeinbedarf Feuerwehr“ in 26897 Esterwegen (Anlage 1).

Zu diesem Zweck sollte eine geruchstechnische Untersuchung zur Ermittlung der Geruchsmissionssituation durchgeführt werden. Bei der Ermittlung der Geruchsmissionen sollte die Geruchsbelastung durch die nächstgelegenen benachbarten landwirtschaftlichen Betriebe berücksichtigt werden (Anlage 1).

Aus den ermittelten Emissionen, der durch den Landkreis Emsland zur Verfügung gestellten Tierbestände, wurde mit Hilfe der Ausbreitungsberechnung die Gesamtbelastung an Geruchsmissionen - hervorgerufen durch die untersuchten landwirtschaftlichen Betriebe - ermittelt und in der Anlage 3 dargestellt. Bei der Ermittlung der Geruchsmissionen wurden die tierartspezifischen Gewichtungsfaktoren der TA Luft [5] (ehem. Geruchsmissions-Richtlinie GIRL [1]) berücksichtigt.

Die Gesamtzusatzbelastung an Geruchsmissionen beträgt im Teilbereich des Plangebiets für Sondergebiet mit der Zweckbestimmung Baufachmarkt maximal 12 % der Jahresstunden.

Die Gesamtzusatzbelastung an Geruchsmissionen beträgt im Teilbereich des Plangebiets für den Gemeindebedarf mit der Zweckbestimmung Feuerwehr maximal 6 % der Jahresstunden.

Der im Anhang 7 der TA Luft [5] für Gebiete, in denen sich Personen nur vorübergehend aufhalten, können in der Regel höhere Immissionen zumutbar sein. Die Höhe der zumutbaren Immissionen ist im Einzelfall zu beurteilen. Ein Immissionswert von 25 % der Jahresstunden soll nicht überschritten werden.

Die Gesamtzusatzbelastung an Geruchsmissionen beträgt im Teilbereich des Plangebiets für Gewerbegebiet maximal 10 % der Jahresstunden. Der im Anhang 7 der TA Luft [5] für Gewerbegebiete ohne Wohnen angegebene maßgebliche Immissionswert für die Gesamtbelastung von 15 % der Jahresstunden wird eingehalten.

Die Gesamtzusatzbelastung an Geruchsimmissionen beträgt im Teilbereich des Plangebiets für Mischgebiet maximal 5 % der Jahresstunden. Der im Anhang 7 der TA Luft [5] für Wohn-/Mischgebiete, Kerngebiete mit Wohnen sowie urbane Gebiete angegebene maßgebliche Immissionswert für die Gesamtbelastung von 10 % der Jahresstunden wird eingehalten.

Nachstehender Bericht wurde nach bestem Wissen und Gewissen mit größter Sorgfalt erstellt. Dieser Bericht besteht aus 24 Seiten und 4 Anlagen.

Lingen, den 30.11.2022 IKo/IH

ZECH Umweltanalytik GmbH

*i. A. A. Reiners*

geprüft durch: i. A. Arne Reiners M. Sc.

*i. A. J. Kötter*

erstellt durch: i. A. Irina Kötter M. Sc.

*ppa. Ralf Troff*

Geschäftsleitung: ppa. Dr. rer. nat. Ralf Wilhelm Troff

ZECH Umweltanalytik GmbH  
Luftschadstoffe · Staub  
Hessenweg 38 · 49809 Lingen (Ems)  
Tel. 05 91 - 80 01 610 · Fax 05 91 - 8 00 16 80

**INHALT**

	<u>Seite</u>
1.) Zusammenfassung.....	2
2.) Aufgabenstellung .....	5
3.) Beurteilungsgrundlagen und Richtwerte .....	6
4.) Ermittlung der Emissionen.....	10
4.1 Gerüche.....	10
4.2 Geruchsemissionen aus der Tierhaltung.....	12
5.) Ausbreitungsrechnung .....	14
6.) Beurteilung der Ergebnisse der Ausbreitungsberechnungen .....	21
7.) Literatur.....	22
8.) Anlagen.....	24

---

## **2.) Aufgabenstellung**

Die Gemeinde Esterwegen plant die Aufstellung eines Bebauungsplans Nr. 68 „Sondergebiet Fachmarkt / Gemeinbedarf Feuerwehr“ in 26897 Esterwegen (Anlage 1).

Zu diesem Zweck soll eine geruchstechnische Untersuchung zur Ermittlung der Geruchsimmissionssituation durchgeführt werden. Bei der Ermittlung der Geruchsimmissionen soll die Geruchsbelastung durch die nächstgelegenen benachbarten landwirtschaftlichen Betriebe berücksichtigt werden (Anlage 1).

Die Ermittlung und Beurteilung der Geruchsimmissionen sollen gemäß der TA Luft [5] (ehem. Geruchsimmissions-Richtlinie GIRL [1]) durchgeführt werden. Bei der Ermittlung der Geruchsimmissionen wurden die tierartspezifischen Gewichtungsfaktoren der TA Luft [5] (ehem. Geruchsimmissions-Richtlinie GIRL [1]) berücksichtigt.

Dieser Untersuchungsbericht beschreibt die Vorgehensweise bei der Ermittlung der Emissionen und Immissionen. Die Anforderungen an Immissionsprognosen gemäß VDI-Richtlinie 3783, Blatt 13 [2] werden berücksichtigt (Anlage 4).

### **3.) Beurteilungsgrundlagen und Richtwerte**

Geruchswahrnehmungen in der Umgebung eines Geruchsstoffemittenten sind in der Regel großen Schwankungen unterworfen. Dies sind einmal Schwankungen im Laufe eines Jahres, im Wesentlichen auf Grund der Änderungen der allgemeinen Windrichtung. Dabei ist zu beachten, dass in Luv eines Emittenten grundsätzlich kein Geruch wahrgenommen wird, die Möglichkeit der Geruchswahrnehmung dagegen in Lee der Quelle zu suchen ist.

Zusätzlich treten aber noch Kurzzeitschwankungen der Geruchswahrnehmung auf, die auf Turbulenzen der Luftströmung zurückgehen und die zu einer schwadenartigen Ausbreitung von geruchsbeladener Luft führen. Dies hat zur Folge, dass auch in Lee einer Quelle, insbesondere bei geringen bis mittleren Emissionen, nur zeitweise Geruch mit unterschiedlicher Intensität, zeitweise aber auch kein Geruch wahrgenommen werden kann.

Im Juli 2009 wurde durch die Gremien der Umweltministerkonferenz die Verwaltungsvorschrift zur Feststellung und Beurteilung von Geruchsimmissionen verabschiedet (GIRL) [1], wonach eine Geruchsimmission zu beurteilen ist, wenn sie "nach ihrer Herkunft aus Anlagen erkennbar, d. h. abgrenzbar ist" gegenüber anderen Geruchsquellen. Sie ist in der Regel als erhebliche Belästigung zu werten, wenn die relative Häufigkeit der Geruchsstunden die in der Richtlinie vorgegebenen Immissionswerte überschreitet.

Hierbei beziehen sich die Immissionswerte auf die Gesamtbelastung durch Gerüche gemäß der angegebenen Gleichung:

$$IV + IZ = IG$$

Hierbei ist:

IV = vorhandene Belastung

IZ = Zusatzbelastung durch Gerüche der zu untersuchenden Anlage

IG = Gesamtbelastung durch Gerüche im Beurteilungsgebiet

Weiterhin wird bezüglich der kurzfristigen Schwankungen der Geruchswahrnehmung ausgeführt, dass, wenn die Geruchsschwelle innerhalb einer Stunde an mindestens 10 % der Zeit überschritten wird, diese Stunde bei der Ermittlung des Prozentsatzes der Jahresstunden als "Geruchsstunde" voll anzurechnen ist.

Im Anhang 7 der TA Luft [5] sind folgende Immissionswerte für die verschiedenen Baugebietstypen festgelegt:

**Tabelle 1** Immissionswerte der TA Luft [5]

<b>Wohn-/Mischgebiete, Kerngebiete mit Wohnen, urbane Gebiete</b>	<b>Gewerbe-/Industriegebiete, Kerngebiete ohne Wohnen</b>	<b>Dorfgebiete</b>
0,10	0,15	0,15

Die Immissionswerte 0,10 bzw. 0,15 entsprechen einer relativen flächenbezogenen Häufigkeit der Geruchsstunden von 10 % bzw. 15 % der Jahresstunden.

Der Immissionswert von 0,15 für Gewerbe- und Industriegebiete bezieht sich auf Wohnnutzung im Gewerbe- bzw. Industriegebiet (beispielsweise Betriebsinhaberinnen und Betriebsinhaber, die auf dem Firmengelände wohnen). Aber auch Beschäftigte eines anderen Betriebes sind Nachbarinnen und Nachbarn mit einem Schutzanspruch vor erheblichen Belästigungen durch Geruchsimmissionen [5]. Aufgrund der grundsätzlich kürzeren Aufenthaltsdauer (ggf. auch der Tätigkeitsart) benachbarter ArbeitnehmerInnen können i. d. R. höhere Immissionen zumutbar sein. Die Höhe der zumutbaren Immissionen ist im Einzelfall zu beurteilen. Ein Immissionswert von 0,25 soll nicht überschritten werden. Sonstige Gebiete, in denen sich Personen nicht nur vorübergehend aufhalten, sind entsprechend den Grundsätzen des Planungsrechtes den einzelnen Spalten der Tabelle 1 zuzuordnen. Bei der Geruchsbeurteilung im Außenbereich ist es unter Prüfung der speziellen Randbedingungen des Einzelfalles möglich, Werte von 0,20 (Regelfall) bis 0,25 (begründete Ausnahme) für Tierhaltungsgerüche heranzuziehen [5].

Wenn gewerblich, industriell oder hinsichtlich ihrer Geruchsauswirkungen vergleichbar genutzte Gebiete und zum Wohnen dienende Gebiete aneinandergrenzen (Gemengelage), können die für die zum Wohnen dienenden Gebiete geltenden Immissionswerte auf einen geeigneten Zwischenwert der für die aneinandergrenzenden Gebietskategorien geltenden Werte erhöht werden, soweit dies nach der gegenseitigen Pflicht zur Rücksichtnahme erforderlich ist. Es ist vorauszusetzen, dass der Stand der Emissionsminderungstechnik eingehalten wird. Für die Höhe des Zwischenwertes ist die konkrete Schutzwürdigkeit des betroffenen Gebiets maßgeblich.

Im Falle der Beurteilung von Geruchsimmissionen, verursacht durch Tierhaltungsanlagen, ist eine belastungsrelevante Kenngröße  $IG_b$  zu berechnen und diese anschließend mit den Immissionswerten nach Tabelle 1 zu vergleichen. Für die Berechnung der belastungsrelevanten Kenngröße  $IG_b$  wird die Gesamtbelastung  $IG$  mit dem Faktor  $f_{\text{gesamt}}$  multipliziert:

$$IG_b = IG \times f_{\text{gesamt}}$$

Der Faktor  $f_{\text{gesamt}}$  ist nach der Formel

$$f_{\text{gesamt}} = (1/(H_1 + H_2 + \dots + H_n)) * (H_1 * f_1 + H_2 * f_2 + \dots + H_n * f_n)$$

zu berechnen. Dabei ist  $n = 1$  bis 4 und

$$H_1 \triangleq r_1,$$

$$H_2 \triangleq \min(r_2, r - H_1),$$

$$H_3 \triangleq \min(r_3, r - H_1 - H_2),$$

$$H_4 \triangleq \min(r_4, r - H_1 - H_2 - H_3)$$

mit

$r \triangleq$  Geruchshäufigkeit aus der Summe aller Emissionen (unbewertete Geruchshäufigkeit),

$r_1 \triangleq$  Geruchshäufigkeit für die Tierart Mastgeflügel,

$r_2 \triangleq$  Geruchshäufigkeit ohne Wichtung,

$r_3 \triangleq$  Geruchshäufigkeit für die Tierart Mastschweine, Sauen,

$r_4 \triangleq$  Geruchshäufigkeit für die Tierart Milchkühe mit Jungtieren

und

- $f_1 \triangleq$  Gewichtungsfaktor für die Tierart Mastgeflügel,  
 $f_2 \triangleq$  Gewichtungsfaktor 1 (z. B. Tierarten ohne Gewichtungsfaktor),  
 $f_3 \triangleq$  Gewichtungsfaktor für die Tierart Mastschweine, Sauen,  
 $f_4 \triangleq$  Gewichtungsfaktor für die Tierart Milchkühe mit Jungtieren.

Die Gewichtungsfaktoren für die einzelnen Tierarten sind der nachfolgenden Tabelle zu entnehmen.

**Tabelle 2** Gewichtungsfaktoren für einzelne Tierarten

Tierartsspezifische Geruchsqualität	Gewichtungsfaktor f
Mastgeflügel (Puten, Masthähnchen)	1,5
Mastschweine, Sauen (bis zu einer Tierplatzzahl von ca. 5.000 Mastschweinen bzw. unter Berücksichtigung der jeweiligen Umrechnungsfaktoren für eine entsprechende Anzahl von Zuchtsauen)	0,75
Mastschweine (bis zu einer Tierplatzzahl von 500 in qualitätsgesicherten Haltungsverfahren mit Auslauf und Einstreu, die nachweislich dem Tierwohl dienen)	0,65
Milchkühe mit Jungtieren, Mastbullen (einschließlich Kälbermast, sofern diese zur Geruchsbelastung nur unwesentlich beiträgt)	0,5
Pferde	0,5
Milch-/Mutterschafe (bis zu einer Tierplatzzahl von 1.000 und Heu/Stroh als Einstreu)	0,5
Milchziegen (bis zu einer Tierplatzzahl von 750 und Heu/Stroh als Einstreu)	0,5
Sonstige Tierarten	1,0

#### **4.) Ermittlung der Emissionen**

Die für die Berechnung der Geruchsemissionen benötigten Tierbestände wurden vom Landkreis Emsland zur Verfügung gestellt. Die örtlichen Gegebenheiten sowie weitere Daten wurde im Rahmen eines Ortstermins vom 24.01.2022 – im Rahmen der vorangegangenen Untersuchung [9] - aufgenommen und durch weitere Unterlagen der Behörde vom 08.08.2022 ergänzt.

Esterwegen liegt zwischen Papenburg und Lönningen auf einem teils bewaldeten bis 39 Meter hohen Geestrücken, dem Esterweger Busch. Das Umfeld der geplanten Baulandentwicklung ist zum Teil landwirtschaftlich geprägt. In direkter Umgebung des Plangebietes befindet sich einige landwirtschaftliche Betriebe. Das Gelände weist keine topografischen Eigenarten auf.

#### **4.1 Gerüche**

Für die Beurteilung von Gerüchen gemäß TA Luft (ehem. 4.4.2 GIRL) [5] gilt die Stunde als primärer Bezugszeitraum. Hierbei ist zu prognostizieren, ob innerhalb dieser Stunde zu mindestens 10 % der Zeit Geruch wahrgenommen wird. Ist dies der Fall, gilt die Stunde als positive Geruchsstunde. Für Immissionsprognosen ist im Wesentlichen die Häufigkeit der Geruchsstunden im Jahresmittel entscheidend. Im für die Prognose verwendeten Programm AUSTAL [6] erfolgt die Entscheidung, ob eine Geruchsstunde vorliegt auf Grundlage einer ja/nein-Entscheidung. Kriterium für das Vorliegen einer Geruchsstunde bildet dabei die Überschreitung eines Stundenmittelwertes der Geruchsstoffkonzentration von  $0,25 \text{ GE/m}^3$ , also 25 % der Geruchsschwelle.

Zur Ermittlung und Beurteilung von Geruchsimmissionen ist entsprechend der TA Luft (ehem. 4.4.2 GIRL) [5] ein Beurteilungsgebiet festzulegen. Soweit die vorhandene Belastung und die Gesamtbelastung ausschließlich mit einer Immissionsprognose ermittelt werden soll, ist es in der Regel notwendig, ein über das minimale Beurteilungsgebiet hinaus gehendes Areal festzulegen, in dem sich die Geruchsemitter befinden, die ebenfalls relevant auf das Beurteilungsgebiet einwirken.

Das vollständige Beurteilungsgebiet setzt sich aus den Kreisflächen mit einem Radius von mindestens 600 m um die zur Beurteilung relevanten Immissionsorte zusammen. Liegen darüber hinaus Erkenntnisse vor, die nahelegen, dass weiter entfernt liegende Anlagen einen relevanten Einfluss auf die Immissionsbelastung an den Immissionsorten in dem Beurteilungsgebiet ausüben, ist das zu betrachtende Areal entsprechend zu erweitern. Hierzu werden die 2 % Isolinien der möglicherweise relevanten, außerhalb des 600 m Radius liegenden, Geruchsemittenten geprüft. Schneiden die 2 % Isolinien der Geruchsemittenten die zur Beurteilung relevanten Immissionsorte, so sind die betreffenden Geruchsemittenten zur Ermittlung der Gesamtbelastung an Geruchsmissionen zu berücksichtigen.

Im Rahmen der Untersuchung wurden insgesamt 11 Betriebe betrachtet. Die Überprüfung der Beurteilungsgebiete der untersuchten Betriebe hat ergeben, dass einige dieser Betriebe für das Plangebiet als irrelevant anzusehen sind. Für die Betrachtung der Gesamtbelastung wurde somit nur ein Teil der landwirtschaftlichen Betriebe berücksichtigt.

Eine Übersicht der untersuchten Geruchsemittenten ist in der folgenden Tabelle dargestellt. Die Lage der untersuchten Betriebe wird in der separaten Anlage dargestellt.

**Tabelle 3** Übersicht potenzieller Geruchsemittenten

Betrieb	relevant	irrelevant
LW04		x
LW05		x
LW06		x
LW07		x
LW08	x	
LW09	x	
LW10	x	
LW11	x	
LW12		x
LW13		x
LW14	x	

## **4.2 Geruchsemissionen aus der Tierhaltung**

Grundlage der Beurteilung der landwirtschaftlichen Betriebe sind die olfaktometrischen Messungen der Geruchsemissionen verschiedener Stallsysteme der Pferde-, Rinder- und Schweinehaltung.

Die Ergebnisse olfaktometrischer Messungen und der damit ermittelten Geruchsemissionen verschiedener Tierhaltungssysteme sind in der VDI-Richtlinie 3894, Blatt 1 [3] angegeben.

Die ermittelten Daten geben die Verteilung der Geruchsemissionen der verschiedenen Stallsysteme, bezogen auf Jahresdurchschnittstemperaturen, wieder und gründen sich auf umfangreichen Messungen der Geruchsemissionen der untersuchten Tierhaltungsanlagen. Die Geruchsemission wurde ferner auf eine einheitliche Tiermasse (1 GV (Großvieheinheit) = 500 kg) bezogen, sodass sich Geruchsstoffemissionen in GE/(s · GV) ergaben.

Es wurden keine eigenen olfaktometrischen Messungen zur Bestimmung der Geruchsemissionen aus den jeweiligen Stallungen der landwirtschaftlichen Betriebe durchgeführt. Die in der VDI-Richtlinie 3894, Blatt 1 [3] festgelegten tierspezifischen Emissionen basieren auf umfangreichen Untersuchungen (s. o.) und stellen damit gesicherte Emissionsdaten zur Ermittlung von Geruchsemissionen aus Tierhaltungen dar.

Aus den genehmigten und geplanten Tierbeständen der umliegenden landwirtschaftlichen Betriebe wurden zusammen mit den durchschnittlichen tierartspezifischen Geruchsemissionen die Geruchsstoffströme in MGE/h ermittelt.

Die Großvieheinheiten wurden auf der Grundlage der TA Luft [5] und der VDI-Richtlinie 3894, Blatt 1 [3] berechnet. Alle Geruchsquellen der landwirtschaftlichen Betriebe wurden mit einer kontinuierlichen Geruchsemission (8.760 Stunden/Jahr) bei der Ausbreitungsberechnung berücksichtigt.

Für die Berechnung der Geruchsemissionen durch Silage wird die spezifische Emission von Mais-silage bzw. Grassilage von 3 bzw. 6 GE/(s m<sup>2</sup>) angesetzt. Beim Ansatz der emittierenden Flächen wird hierbei nur von den Anschnittflächen ausgegangen, wobei diese sich aus der Füllhöhe der Silage und der Breite einer Kammer ergeben.

---

Bei der emissionstechnischen Berücksichtigung von Güllelagern/-behältern wird der Emissionsfaktor von Gülle für die Berechnung der Emissionen berücksichtigt [5]. Die Modellierung erfolgt im Rahmen einer konservativen Betrachtungsweise als Volumenquelle. Aufgrund einer natürlichen Schwimmdecke/Zeltdachabdeckung/etc. wird bei einigen/einem landwirtschaftlichen Betrieben (siehe separate Anlage) gemäß VDI 3894, Blatt 1 [3] eine Emissionsminderung von 85 % berücksichtigt.

Für Festmistlager werden die in der VDI Richtlinie 3894, Blatt 1 [3] angesetzt. Die Modellierung erfolgt im Rahmen einer konservativen Betrachtungsweise als Volumenquelle.

Die Angaben zu den Tierbeständen der landwirtschaftlichen Betriebe sind nicht im Gutachten dokumentiert, sondern wurden unserem Auftraggeber zum internen Gebrauch in einer separaten Anlage gesondert zur Verfügung gestellt.

## 5.) Ausbreitungsrechnung

Die Berechnung der Geruchsausbreitung wurde mit dem Modell AUSTAL [6], die Berechnung der flächenbezogenen Häufigkeiten der Geruchsstunden mit dem Programm A2KArea (Programm AUSTAL View, Version 10.2.12 TG, I) durchgeführt, bei welchem es sich um die programmtechnische Umsetzung des in der TA Luft [5] festgelegten Partikelmodells der VDI-Richtlinie 3945, Blatt 3 [7] handelt.

Bei der Berechnung wurden die folgenden Parameter verwendet:

Rauhigkeitslänge $z_0$ :	0,20 m
Qualitätsstufe $q_s$ :	+ 2
Meteorologische Daten:	meteorologische Zeitreihe <sup>1</sup> der Station Friesoythe-Altenoythe (2015)
Kantenlänge des A2KArea Rechengitters:	25 m
Kantenlänge des AUSTAL Rechengitters:	16 m, 32 m, 64 m, 128 m (geschachtelt), an die Immissionsorte angepasst

In der Anlage 2 ist ein Auszug der Quell- und Eingabedatei der Ausbreitungsrechnung mit allen relevanten Quellparametern enthalten (AUSTAL.log).

### Rechengebiet und Rechengitter

Gemäß Anhang 2 der TA Luft [5] ist für das Rechengebiet einer einzelnen Emissionsquelle das Innere eines Kreises um den Ort der Quelle, dessen Radius das 50-fache der Schornsteinbauhöhe entspricht, anzusetzen. Tragen mehrere Quellen zur Gesamtzusatz- /Gesamtbelastung bei, so besteht das Rechengebiet aus der Vereinigung der Rechengebiete der einzelnen Quellen. Bei besonderen Geländebedingungen kann es erforderlich sein, das Rechengebiet größer zu wählen.

Das Raster zur Berechnung von Konzentration und Deposition ist so zu wählen, dass Ort und Betrag der Immissionsmaxima mit hinreichender Sicherheit bestimmt werden können. Dies ist in der Regel der Fall, wenn die horizontale Maschenweite die Quellhöhe nicht überschreitet. In Quellentfernungen größer als das 10-fache der Quellhöhe kann die horizontale Maschenweite proportional größer gewählt werden.

<sup>1</sup> Eine meteorologische Zeitreihe ist durch Windgeschwindigkeit, Windrichtungssektor und Ausbreitungsklasse gekennzeichnet. Die meteorologische Zeitreihe gibt die Verteilung der stündlichen Ausbreitungssituationen im Jahres- und Tagesverlauf wieder.

Die Konzentration an den Aufpunkten wird als Mittelwert über ein vertikales Intervall vom Erdboden bis 3 m Höhe über dem Erdboden berechnet und ist damit repräsentativ für eine Aufpunkthöhe von 1,5 m über Flur. Die so für ein Volumen oder eine Fläche des Rechengitters berechneten Mittelwerte gelten als Punktwerte für die darin enthaltenen Aufpunkte.

Für die Ausbreitungsrechnung wurde ein Plangebiet von 10000 m x 10000 m mit der betrachteten Anlage im Zentrum gewählt. In diesem Gebiet wurde ein Rechengitter mit 128 m Maschenweite festgelegt und feinere Netze mit 64 m, 32 m, 16 m Maschenweite eingeschachtelt, um die Rechengenauigkeit in Anlagennähe zu erhöhen. Die Aufteilung des Rechengebietes in Rechengitter ist in der Anlage 1 dargestellt. Die Definition der Rechengitter kann dem Auszug der Quell- und Eingabedatei der Ausbreitungsrechnung (Austal.log) in Anlage 2 entnommen werden.

### Statistische Unsicherheit

Durch die Wahl einer ausreichenden Partikelzahl (Qualitätsstufe  $q_s = + 2$ , dies entspricht einer Partikelzahl von  $8 \text{ s}^{-1}$ ) bei der Ausbreitungsberechnung wurde sichergestellt, dass die modellbedingte statistische Unsicherheit des Berechnungsverfahrens, berechnet als statistische Streuung des berechneten Wertes, weniger als 3 % des Immissionswertes (siehe Kapitel 3) beträgt. Die für die Beurteilung relevante relative flächenbezogene Häufigkeit der Geruchsstunden in Prozent der Jahrestunden ist im Lageplan der Anlage 3 dargestellt.

### Geruchsstoffauswertung

Die Bewertung der Geruchsstundenhäufigkeiten erfolgt auf Beurteilungsflächen. Die Größe der Beurteilungsflächen ergibt sich aus Nr. 4.4.3 des Anhangs 7 der TA Luft [ 5]. Die Kenngröße einer Beurteilungsfläche ist der gewichtete Mittelwert aus den Punkten des Rechengitters, die innerhalb einer Beurteilungsfläche liegen. Die Größe der Beurteilungsflächen über das Untersuchungsgebiet soll eine Seitenlänge von 250 m aufweisen. Von diesem Wert ist abzuweichen, wenn zu erwarten ist, dass auf Teilen von Beurteilungsflächen die Geruchsimmissionen nicht zutreffend erfasst werden.

Die Beurteilungsflächen der Geruchsstoffauswertung (A2KArea Rechengitter) wurden in der vorliegenden Untersuchung auf eine Kantenlänge von 25 m reduziert, um eine homogenere Belastung auf Teilen der Beurteilungsflächen im Sinne der TA Luft [5], Anhang 7 zu erzielen.

### Rauigkeitslänge

Die Bodenrauigkeit des Geländes wird durch die mittlere Rauigkeitslänge  $z_0$  beschrieben. Sie ist nach Tabelle 15 im Anhang 2 der TA Luft [5] aus den Landnutzungsklassen des Landbedeckungsmodells Deutschland (LBM-DE) zu bestimmen.

Das Programm AUSTAL [6] kann die zutreffende Bodenrauigkeit selbstständig ermitteln, indem die Lage der Anlage auf ein vom Umweltbundesamt aus dem LBM-DE erstelltes Kataster angewandt wird. Die Rauigkeitslänge wird gemäß Anhang 2 der TA Luft [5] für ein kreisförmiges Gebiet um die Emissionsquelle festgelegt, dessen Radius dem 15-fachen der Freisetzungshöhe, mindestens aber 150 m beträgt. Setzt sich dieses Gebiet aus Flächenstücken mit unterschiedlicher Bodenrauigkeit zusammen, so ist eine mittlere Rauigkeitslänge durch arithmetische Mittelung mit Wichtung entsprechend dem jeweiligen Flächenanteil zu bestimmen und anschließend auf den nächstgelegenen Tabellenwert zu runden. Darüber hinaus ist zu prüfen, ob sich die Landnutzung seit Erhebung des Katasters wesentlich geändert hat oder eine für die Immissionsprognose wesentliche Änderungen zu erwarten sind. Ggf. ist eine manuelle Angabe der geänderten Rauigkeitslänge erforderlich.

Die automatische Bestimmung der Rauigkeitslänge über die im Rechenprogramm integrierten Landnutzungsklassen des Landbedeckungsmodells Deutschland (LBM-DE) ergab eine Rauigkeitslänge  $z_0$  von 0,2 m für die derzeitige Nutzung. Unter Berücksichtigung der geplanten Nutzung wurden die tatsächlichen Rauigkeiten (Gebäude, Bewuchs etc.) verifiziert und flächenanteilig berechnet. Übereinstimmung mit der automatischen Bestimmung der Rauigkeitslänge des Rechenprogramms wird eine Rauigkeitslänge  $z_0$  von 0,2 m bei der Ausbreitungsrechnung berücksichtigt.

### Geländeprofil

Gemäß Nr. 12 des Anhangs 2 der TA Luft [5] sind bei der Ausbreitungsrechnung in der Regel Unebenheiten des Geländes zu berücksichtigen, falls innerhalb des Rechengebietes Höhendifferenzen zum Emissionsort von mehr als dem 0,7-fachen der Schornsteinbauhöhe und Steigungen von mehr als 1 : 20 auftreten. Die Steigung ist dabei aus der Höhendifferenz über eine Strecke zu bestimmen, die dem 2-fachen der Schornsteinbauhöhe entspricht.

Das Beurteilungsgebiet ist eben. Die maximalen Geländesteigungen im Rechengebiet liegen unterhalb von 1 : 5 sowie unterhalb von 1 : 20. Höhendifferenzen zum Emissionsort von mehr als dem 0,7-fachen der Ableithöhen der Quellen treten nicht auf. Die Verwendung eines digitalen Geländemodells ist somit aus gutachtlicher Sicht nicht erforderlich.

### Berücksichtigung von Bebauung

Gebäude können die Luftströmung beeinflussen. Beim Anströmen eines Hindernisses wird die Luft nach oben und zur Seite abgedrängt. Bei der Umströmung bildet sich so vor dem Hindernis ein Stauwirbel und hinter dem Hindernis ein sogenanntes Rezirkulationsgebiet. Wenn Luft in diesen Bereich gelangt, wird sie in Richtung Erdboden transportiert, was zu einer Erhöhung der Konzentration an Luftbeimengungen in Bodennähe führen kann.

Gemäß Anhang 2, Nr. 11 der TA Luft [5] sind ggf. Einflüsse von Bebauung auf die Immissionen im Rechengebiet zu berücksichtigen. Gebäude, deren Entfernung von der Ableithöhe der Quelle größer als das 6-fache ihrer Höhe und größer als das 6-fache der Ableithöhe ist, können vernachlässigt werden. Sofern die Quellhöhen die Gebäudehöhen um mehr als das 1,7-fache überragen, können Gebäudeeinflüsse mittels der Rauigkeitslänge  $z_0$  und der Verdrängungshöhe  $d_0$  ausreichend berücksichtigt werden.

Für Ableithöhen, welche wenigstens dem 1,2-fachen der Gebäudehöhe entsprechend ist gemäß der TA Luft [5] für immissionsseitig relevante Aufpunkte zu prüfen, ob diese außerhalb des unmittelbaren Einflussbereichs der quellnahen Gebäude (beispielsweise außerhalb der Rezirkulationszonen) liegen. Dies kann mit Hilfe des Programmes WinSTACC [8] (siehe VDI 3781 Blatt 4) erfolgen. Sollte dies der Fall sein, so können die Einflüsse der Bebauung auf das Windfeld und die Turbulenzstruktur mit Hilfe des in Austal [6] integrierten diagnostischen Windfeldmodells TALdia berücksichtigt werden.

Für Quellen, deren Quellhöhe nicht die 1,2-fache Höhe der umliegenden Gebäude erreichen, besteht nach TA Luft [5] keine klare Regelung. Eine Möglichkeit der Berücksichtigung der Gebäudeumströmung besteht in der vertikalen „Verschmierung“ der Emissionsquellen. Diese führt zu einer ausreichenden Simulation von Lee-Wirbeln an umströmten Hindernissen. Dabei ist jedoch zu beachten, dass dieses Vorgehen im Allgemeinen zu einer starken Überschätzung der Immissionen im Nahbereich führt. Zudem muss sichergestellt werden, dass die Konzentrationsfahnen nicht einen anderen räumlichen Verlauf nehmen, als dies mit Berücksichtigung umströmter Hindernisse der Fall ist. Dementsprechend kann ein kombinierter Ansatz verwendet werden, wobei die Gebäude auf dem Anlagengelände als umströmte Hindernisse berücksichtigt werden. Damit kann ein Abströmen in physikalisch unmögliche Richtung weitgehend unterbunden werden. Gleichsam werden Emissionsquellen, die durch ihre eigene Bauhülle in ihrem Ausbreitungsverhalten gestört werden als Volumenquellen mit vertikaler Ausdehnung angesetzt.

Dieses Vorgehen findet insbesondere im Bereich der Landwirtschaft und der damit verbundenen Modellierung von Stallgebäuden Anwendung, da die Ställe über geöffnete Türen, Tore, Fenster, Seitenwand- und Trauföffnungen emittieren und somit eine Zuordnung einzelner Emissionsmassenströme zu spezifischen Stallöffnungen nicht möglich ist. Zur Erfassung aller Öffnungen der Ställe werden diese als Volumenquellen vom Bodenniveau bis in Traufhöhe angesetzt. Durch diesen Ansatz kann zugleich die Ausbildung von Rezirkulationswirbeln an den Stallgebäuden und das damit verbundene „Herunterziehen“ der Emissionsfahnen in ausreichendem Maße simuliert werden. Die mit diesem Vorgehen verbundene Überschätzung der Immissionen im Nahbereich der Anlage wird im Sinne eines konservativen Ansatzes in Kauf genommen. Ggf. sollte auch der Einsatz eines prognostischen Windfeldmodells für Gebäudeumströmung geprüft werden [5].

Im vorliegenden Fall gibt es keine relevante Bebauung, welche einen Einfluss auf die Immissionssituation im Untersuchungsgebiet ausüben könnte.

## Meteorologische Daten

Die Ausbreitungsberechnung wurde als Zeitreihenberechnung über ein Jahr durchgeführt. In Ziffer 4.6.4.1 der TA Luft [5] ist festgelegt, dass die Berechnung auf der Basis einer repräsentativen Jahreszeitreihe durchzuführen ist.

Für den Standort Esterwegen liegen keine meteorologischen Daten vor. Daher muss auf Daten einer Messstation zurückgegriffen werden, die hinsichtlich der meteorologischen Bedingungen als vergleichbar zu betrachten ist. Entsprechend des Anhangs 2 der TA-Luft wurde die meteorologische Situation mittels einer extern durchgeführten Übertragbarkeitsprüfung validiert (Anlage 2). Die Messstation Friesoythe-Altenoythe liegt ca. 20 km vom Plangebiet entfernt. An dem Standort liegen keine topografischen Besonderheiten vor, die einen erheblichen Einfluss sowohl auf die Windrichtung infolge Ablenkung oder Kanalisierung als auch auf die Windgeschwindigkeit durch Effekte der Windabschattung oder Düsenwirkung haben könnten.

Im Zuge der Übertragbarkeitsprüfung wurde für die Station Friesoythe-Altenoythe aus einer mehrjährigen Reihe ein "für Ausbreitungszwecke repräsentatives Jahr" ermittelt. Bei der Prüfung wird das Jahr ausgewählt, das in der Windrichtungsverteilung der langjährigen Bezugsperiode am nächsten liegt. Dabei werden sowohl primäre als auch sekundäre Maxima der Windrichtung verglichen. Alle weiteren Windrichtungen werden in der Reihenfolge ihrer Häufigkeiten mit abnehmender Gewichtung ebenso verglichen und bewertet. Anschließend werden die jährlichen mittleren Windgeschwindigkeiten auf ihre Ähnlichkeit im Einzeljahr mit der langjährigen Bezugsperiode verglichen. Das Jahr mit der niedrigsten Abweichung wird als repräsentatives Jahr ermittelt. Aus den Messdaten der Station Friesoythe-Altenoythe wurde aus der oben genannten Bezugsperiode nach den aufgeführten Kriterien das Jahr 2014 als repräsentativ ermittelt. Eine grafische Darstellung der Häufigkeitsverteilung der Windrichtungen ist in Anlage 2 dargestellt.

### Quellparameter

Bei Ausbreitungsrechnungen ist vorgesehen, Effekte von Emissionsquellen, welche ein Nach-Oben-Tragen der emittierten Schad- bzw. Geruchsstoffe bewirken, zu berücksichtigen. Dabei erfolgt die Berechnung unter Verwendung der „effektiven Quellhöhe“ die sich aus der Summe der tatsächlichen Bauhöhe des Abgabepunktes und einer sogenannten Abluffahnenüberhöhung ergibt, welche sich wiederum aus der thermischen und der mechanischen Abluffahnenüberhöhung ergibt. Die thermische Abluffahnenüberhöhung kommt dadurch zustande, dass die Ablufttemperatur der Emissionsquelle deutlich über der Umgebungstemperatur liegt und somit eine thermische Konvektion bewirkt.

Im Vorfeld eines Ansatzes der Abluffahnenüberhöhung ist für die betreffende Emissionsquelle zu prüfen, ob die Bedingungen für eine Ansetzbarkeit erfüllt sind. Dies ist gemäß VDI Richtlinie 3783 [2] dann mit Sicherheit der Fall, wenn die folgenden Voraussetzungen erfüllt sind.

- Ableithöhe der Quelle mindestens 10 m über Grund
- Quellhöhe mindestens 3 m über Dachfirst
- Austrittsgeschwindigkeit mindestens 7 m/s

Die Ausbreitungsrechnungen wurden ohne Berücksichtigung der Abgasfahnenüberhöhung durchgeführt.

Der Einfluss der Bebauung auf die Ausbreitung der Emissionen der Quellen wurde über die Modellierung der Quellen als vertikale Linien- bzw. Volumenquellen (von der halben Quellhöhe bis zur Quellhöhe, für Quellhöhen, die das 1,2-fache der Gebäudehöhen betragen bzw. vom Erdboden bis zur Quellhöhe, für Quellhöhen, die weniger als das 1,2-fache der Gebäudehöhen betragen) berücksichtigt. Mehrere gleichartige benachbarte Quellen werden gemäß VDI 3783, Blatt 13 [2] zu Punkt-, Flächen-, Linien-, bzw. Volumenquellen zusammengefasst.

### Deposition

Im Rahmen der geruchstechnischen Untersuchung ist keine Deposition zu berücksichtigen.

## **6.) Beurteilung der Ergebnisse der Ausbreitungsberechnungen**

Aus den ermittelten Geruchsemissionen der durch den Landkreis Emsland zur Verfügung gestellten Tierbestände wurde mit Hilfe der Ausbreitungsberechnung die Gesamtbelastung an Geruchsimmissionen - hervorgerufen durch die untersuchten landwirtschaftlichen Betriebe - ermittelt und in der Anlage 3 dargestellt. Bei der Ermittlung der Geruchsimmissionen wurden die tierartspezifischen Gewichtungsfaktoren der TA Luft [5] (ehem. Geruchsimmissions-Richtlinie GIRL [1] berücksichtigt.

In der Anlage 3 ist die Gesamtbelastung an Geruchsimmissionen als relative flächenbezogene Häufigkeit der Geruchsstunden innerhalb eines Jahres dargestellt.

Die Gesamtzusatzbelastung an Geruchsimmissionen beträgt im Teilbereich des Plangebiets für Sondergebiet mit der Zweckbestimmung Baufachmarkt maximal 12 % der Jahresstunden.

Die Gesamtzusatzbelastung an Geruchsimmissionen beträgt im Teilbereich des Plangebiets für den Gemeindebedarf mit der Zweckbestimmung Feuerwehr maximal 6 % der Jahresstunden.

Der im Anhang 7 der TA Luft [5] für Gebiete, in denen sich Personen nur vorübergehend aufhalten, können in der Regel höhere Immissionen zumutbar sein. Die Höhe der zumutbaren Immissionen ist im Einzelfall zu beurteilen. Ein Immissionswert von 25 % der Jahresstunden soll nicht überschritten werden.

Die Gesamtzusatzbelastung an Geruchsimmissionen beträgt im Teilbereich des Plangebiets für Gewerbegebiet maximal 10 % der Jahresstunden. Der im Anhang 7 der TA Luft [5] für Gewerbegebiete ohne Wohnen angegebene maßgebliche Immissionswert für die Gesamtbelastung von 15 % der Jahresstunden wird eingehalten.

Die Gesamtzusatzbelastung an Geruchsimmissionen beträgt im Teilbereich des Plangebiets für Mischgebiet maximal 5 % der Jahresstunden. Der im Anhang 7 der TA Luft [5] für Wohn-/Mischgebiete, Kerngebiete mit Wohnen sowie urbane Gebiete angegebene maßgebliche Immissionswert für die Gesamtbelastung von 10 % der Jahresstunden wird eingehalten.

## 7.) Literatur

- [1] Geruchsmissions-Richtlinie (GIRL) Verwaltungsvorschrift zur Feststellung und Beurteilung von Geruchsmissionen; Gem. RdErl. d. MU, d. MS, d. ML u. d. MW vom 23.07.2009
- [2] VDI-Richtlinie 3783, Blatt 13 Umweltmeteorologie, Qualitätssicherung in der Immissionsprognose; Verein Deutscher Ingenieure, Düsseldorf, Januar 2010
- [3] VDI-Richtlinie 3894, Blatt 1 Emissionen und Immissionen aus Tierhaltungsanlagen; Haltungsverfahren und Emissionen; Verein Deutscher Ingenieure, September 2011
- [4] DIN EN 13725 Bestimmung der Geruchsstoffkonzentration mit dynamischer Olfaktometrie; Deutsche Fassung EN 13725: Juli 2003
- [5] TA Luft Neufassung der Ersten Allgemeinen Verwaltungsvorschrift zum Bundes-Immissionsschutzgesetz (Technische Anleitung zur Reinhaltung der Luft - TA Luft), 2021
- [6] Austal  
Version 3.1.2-WI-x Ingenieurbüro Janicke GbR, 88662 Überlingen
- [7] VDI-Richtlinie 3945, Blatt 3 Umweltmeteorologie - Atmosphärische Ausbreitungsmodelle - Partikelmodell; Düsseldorf, Verein Deutscher Ingenieure, September 2000
- [8] WinSTACC PC- Programm für die Richtlinie VDI 3781 Blatt 4 in der Version 1.0.5.7; Ingenieurbüro Lohmeyer GmbH & Co. KG

- [9] ZECH Umweltanalytik GmbH Lingen Geruchstechnischer Bericht Nr. LG12834.3/01 über eine geruchstechnische Untersuchung im Rahmen des Bebauungsplanes Nr. 69 „Mühlenweg/Mühlenberg“ in 26897 Esterwegen, 28.02.2022

## **8.) Anlagen**

Anlage 1: Übersichtslageplan mit Darstellung der Analyse-Punkte, sowie Darstellung der Anemometerposition

Anlage 2: Quellen-Parameter

Emissionen

Auszug der Quell- und Eingabedatei der Ausbreitungsberechnung mit allen relevanten Quellparametern (austal.log)

Windrichtungs- und -geschwindigkeitsverteilung

Bericht der Übertragbarkeitsprüfung der verwendeten meteorologischen Daten

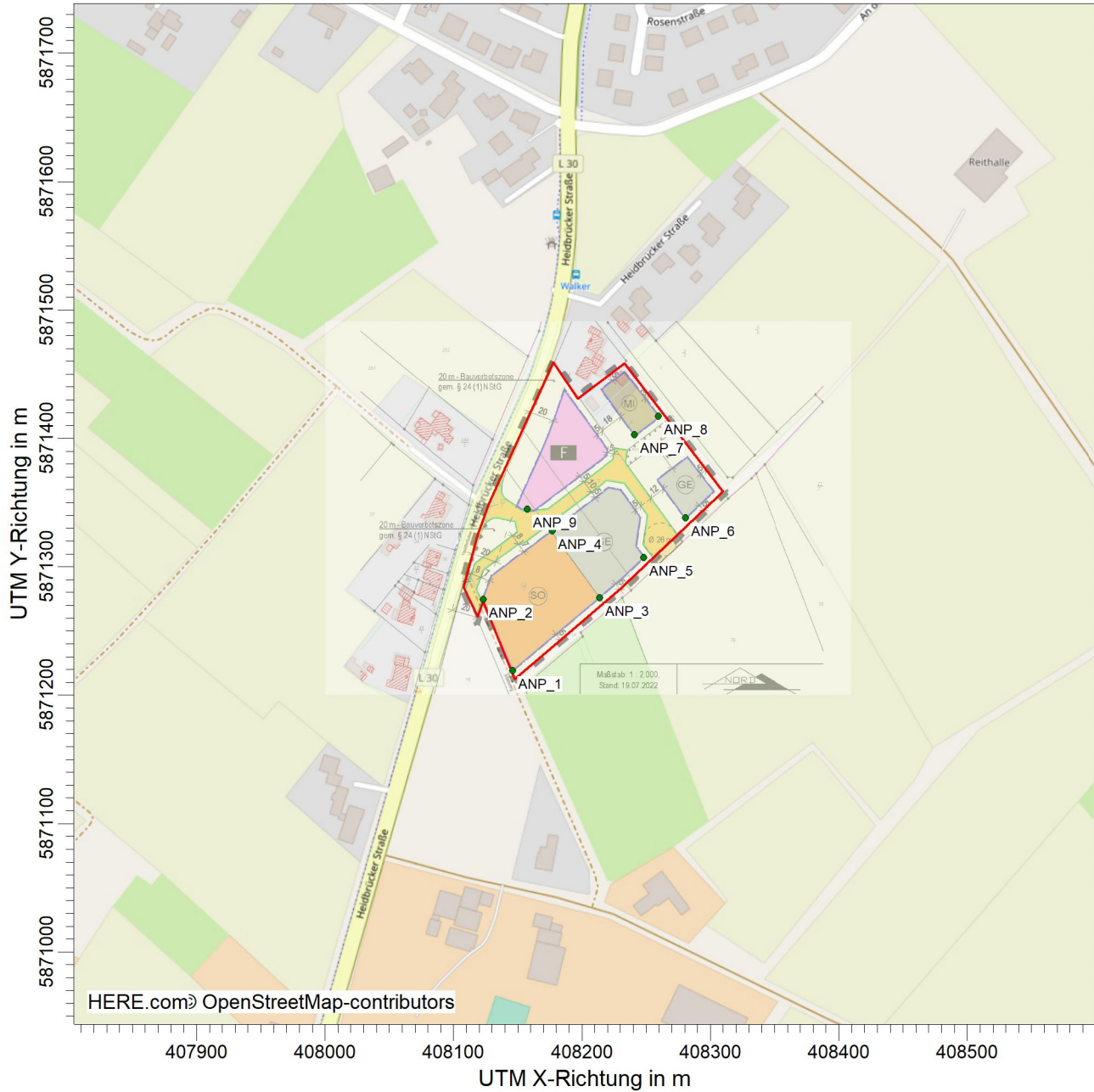
Anlage 3: Auswertung der Analyse-Punkte

Gesamtbelastung an Geruchsimmissionen - hervorgerufen durch die untersuchten landwirtschaftlichen Betriebe - angegeben als relative flächenbezogene Häufigkeiten der Geruchsstunden in Prozent der Jahresstunden

Anlage 4: Prüfliste

PROJEKT-TITEL:

**Esterwegen**



BEMERKUNGEN:

Übersichtslageplan mit Darstellung der berücksichtigten Analyse-Punkte

FIRMENNAME:

**Zech Umweltanalytik GmbH**

MAßSTAB:

1:5.000

0  0,1 km

DATUM:

**24.11.2022**

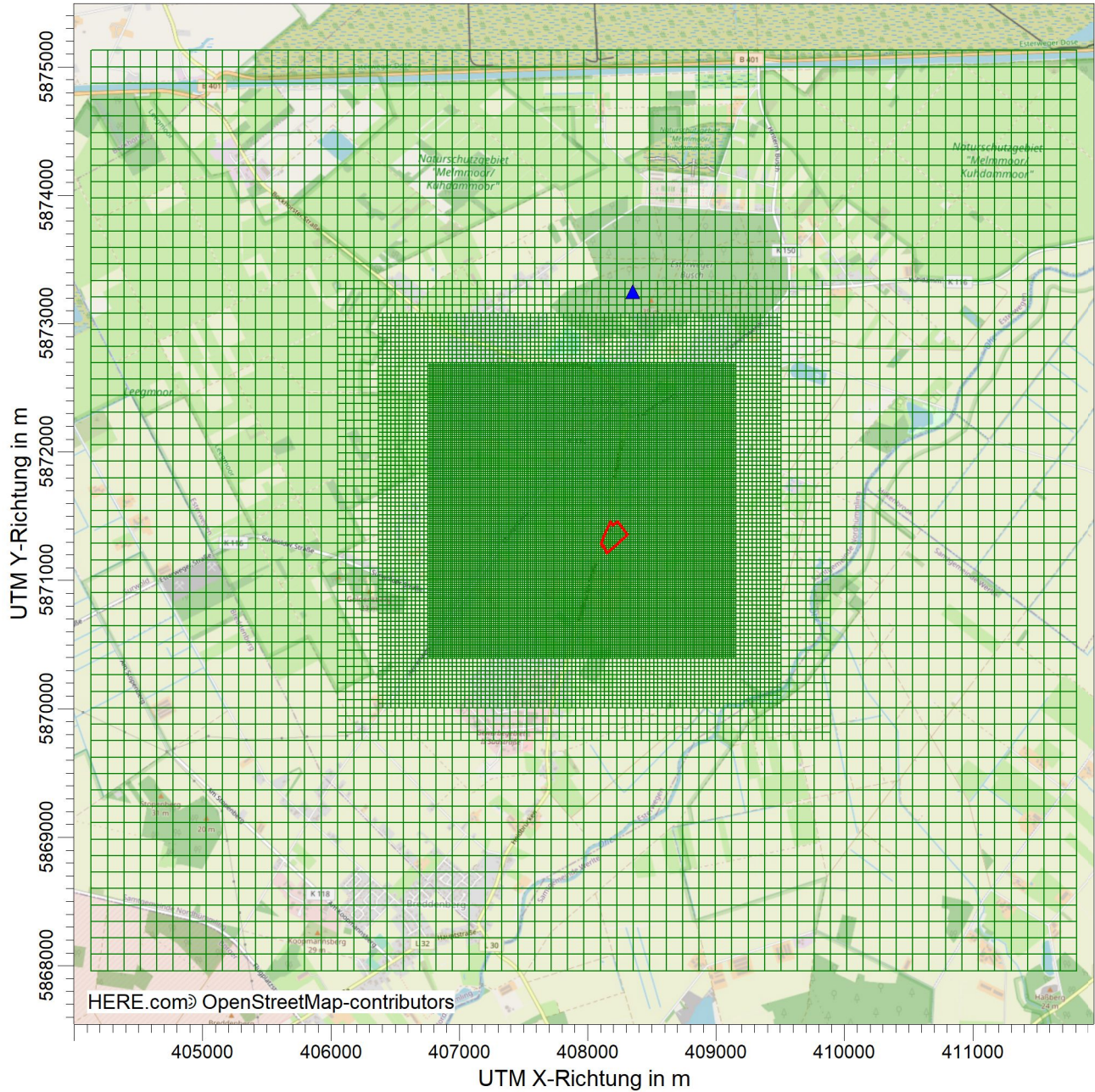
PROJEKT-NR.:

**LG17529**



PROJEKT-TITEL:

**Esterwegen**



BEMERKUNGEN:

Übersichtslageplan mit Darstellung der berücksichtigten Rechengitter und der Ersatzanemometerposition

FIRMENNAME:

**Zech Umweltanalytik GmbH**

MAßSTAB:

1:50.000

0  1 km



DATUM:

**30.11.2022**

PROJEKT-NR.:

**LG17529**

# Quellen-Parameter

Projekt: Esterwegen

## Volumen-Quellen

Quelle ID	X-Koord. [m]	Y-Koord. [m]	Laenge X-Richtung [m]	Laenge Y-Richtung [m]	Laenge Z-Richtung [m]	Drehwinkel [Grad]	Emissionshoehe [m]	Austrittsgeschw. [m/s]	Zeitskala [s]
QUE_27	407697,07	5870866,30	20,00	20,00	7,00	53,1	0,00	0,00	0,00
LW08, BE2									
QUE_28	407720,80	5870929,23	32,25	25,00	8,00	237,1	0,00	0,00	0,00
LW08, BE1									
QUE_29	407707,03	5870941,99	7,50	2,50	2,00	-42,5	0,00	0,00	0,00
LW08, Silage									
QUE_32	408100,64	5871019,11	19,00	15,50	5,00	-15,0	0,00	0,00	0,00
LW09, BE2									
QUE_33	408086,99	5871027,66	15,00	19,00	10,00	-15,2	0,00	0,00	0,00
LW09, BE1									
QUE_34	408104,77	5871034,23	13,00	15,00	5,00	346,3	0,00	0,00	0,00
LW09, BE3									
QUE_35	408068,34	5870928,65	79,00	16,00	0,50	332,1	0,00	0,00	0,00
LW09, Auslauf a									
QUE_36	408046,39	5870879,33	79,00	16,00	0,50	-29,1	0,00	0,00	0,00
LW09, Auslauf b									
QUE_40	408113,53	5870969,33	7,50	2,50	2,00	340,3	0,00	0,00	0,00
LW09, Silage									
QUE_44	408172,35	5871080,95	7,07	11,83	5,00	348,7	0,00	0,00	0,00
LW11, BE1									
QUE_54	407764,29	5870898,70	26,77	14,90	5,00	336,5	0,00	0,00	0,00
LW08, BE3									
QUE_41	408171,67	5870951,88	6,01	6,00	1,00	345,6	0,00	0,00	0,00
LW10, Festmistlager									

# Quellen-Parameter

Projekt: Esterwegen

Quelle ID	X-Koord. [m]	Y-Koord. [m]	Laenge X-Richtung [m]	Laenge Y-Richtung [m]	Laenge Z-Richtung [m]	Drehwinkel [Grad]	Emissionshoehe [m]	Austrittsgeschw. [m/s]	Zeitskala [s]
QUE_42	408264,52	5870943,03	60,22	31,24	8,00	333,8	0,00	0,00	0,00
LW10, BE2									
QUE_45	408522,08	5871640,25	50,09	31,06	5,00	228,5	0,00	0,00	0,00
LW14, BE1									

## Linien-Quellen

Quelle ID	X-Koord. [m]	Y-Koord. [m]	Laenge X-Richtung [m]	Laenge Z-Richtung [m]	Drehwinkel [Grad]	Emissionshoehe [m]	Schornsteindurchmesser [m]	Austrittsgeschw. [m/s]	Zeitskala [s]
QUE_30	408129,16	5870870,29	6,42		155,4	10,00	0,00	0,00	0,00
LE09, BE4									
QUE_31	408171,95	5870978,53	20,85		78,9	6,00	0,00	0,00	0,00
LW10, BE1									

# Emissionen

Projekt: Esterwegen

Quelle: QUE\_27 - LW08, BE2

	ODOR_050	ODOR_075	ODOR_100
Emissionszeit [h]:	8720	0	0
Emissions-Rate [kg/h oder MGE/h]:	5,386E+0	0,000E+0	0,000E+0
Emission der Quelle [kg oder MGE]:	4,696E+4	0,000E+0	0,000E+0

Quelle: QUE\_28 - LW08, BE1

	ODOR_050	ODOR_075	ODOR_100
Emissionszeit [h]:	8720	0	0
Emissions-Rate [kg/h oder MGE/h]:	4,457E+0	0,000E+0	0,000E+0
Emission der Quelle [kg oder MGE]:	3,886E+4	0,000E+0	0,000E+0

Quelle: QUE\_29 - LW08, Silage

	ODOR_050	ODOR_075	ODOR_100
Emissionszeit [h]:	0	0	8720
Emissions-Rate [kg/h oder MGE/h]:	0,000E+0	0,000E+0	3,240E-1
Emission der Quelle [kg oder MGE]:	0,000E+0	0,000E+0	2,825E+3

Quelle: QUE\_30 - LE09, BE4

	ODOR_050	ODOR_075	ODOR_100
Emissionszeit [h]:	0	0	8720
Emissions-Rate [kg/h oder MGE/h]:	0,000E+0	0,000E+0	4,140E+0
Emission der Quelle [kg oder MGE]:	0,000E+0	0,000E+0	3,610E+4

Quelle: QUE\_31 - LW10, BE1

	ODOR_050	ODOR_075	ODOR_100
Emissionszeit [h]:	0	8720	0
Emissions-Rate [kg/h oder MGE/h]:	0,000E+0	3,722E+0	0,000E+0
Emission der Quelle [kg oder MGE]:	0,000E+0	3,246E+4	0,000E+0

Quelle: QUE\_32 - LW09, BE2

	ODOR_050	ODOR_075	ODOR_100
Emissionszeit [h]:	0	8720	0
Emissions-Rate [kg/h oder MGE/h]:	0,000E+0	3,240E+0	0,000E+0
Emission der Quelle [kg oder MGE]:	0,000E+0	2,825E+4	0,000E+0

Quelle: QUE\_33 - LW09, BE1

	ODOR_050	ODOR_075	ODOR_100
Emissionszeit [h]:	8720	0	0
Emissions-Rate [kg/h oder MGE/h]:	2,153E+0	0,000E+0	0,000E+0
Emission der Quelle [kg oder MGE]:	1,877E+4	0,000E+0	0,000E+0

# Emissionen

Projekt: Esterwegen

Quelle: QUE_34 - LW09, BE3			
	ODOR_050	ODOR_075	ODOR_100
Emissionszeit [h]:	0	8720	0
Emissions-Rate [kg/h oder MGE/h]:	0,000E+0	2,052E+0	0,000E+0
Emission der Quelle [kg oder MGE]:	0,000E+0	1,789E+4	0,000E+0
Quelle: QUE_35 - LW09, Auslauf a			
	ODOR_050	ODOR_075	ODOR_100
Emissionszeit [h]:	0	0	8720
Emissions-Rate [kg/h oder MGE/h]:	0,000E+0	0,000E+0	2,052E-1
Emission der Quelle [kg oder MGE]:	0,000E+0	0,000E+0	1,789E+3
Quelle: QUE_36 - LW09, Auslauf b			
	ODOR_050	ODOR_075	ODOR_100
Emissionszeit [h]:	0	0	8720
Emissions-Rate [kg/h oder MGE/h]:	0,000E+0	0,000E+0	2,052E-1
Emission der Quelle [kg oder MGE]:	0,000E+0	0,000E+0	1,789E+3
Quelle: QUE_40 - LW09, Silage			
	ODOR_050	ODOR_075	ODOR_100
Emissionszeit [h]:	0	0	8720
Emissions-Rate [kg/h oder MGE/h]:	0,000E+0	0,000E+0	3,240E-1
Emission der Quelle [kg oder MGE]:	0,000E+0	0,000E+0	2,825E+3
Quelle: QUE_41 - LW10, Festmistlager			
	ODOR_050	ODOR_075	ODOR_100
Emissionszeit [h]:	0	0	8720
Emissions-Rate [kg/h oder MGE/h]:	0,000E+0	0,000E+0	3,240E-1
Emission der Quelle [kg oder MGE]:	0,000E+0	0,000E+0	2,825E+3
Quelle: QUE_42 - LW10, BE2			
	ODOR_050	ODOR_075	ODOR_100
Emissionszeit [h]:	8720	0	0
Emissions-Rate [kg/h oder MGE/h]:	6,732E-1	0,000E+0	0,000E+0
Emission der Quelle [kg oder MGE]:	5,870E+3	0,000E+0	0,000E+0
Quelle: QUE_44 - LW11, BE1			
	ODOR_050	ODOR_075	ODOR_100
Emissionszeit [h]:	8720	0	0
Emissions-Rate [kg/h oder MGE/h]:	1,584E-1	0,000E+0	0,000E+0
Emission der Quelle [kg oder MGE]:	1,381E+3	0,000E+0	0,000E+0

# Emissionen

Projekt: Esterwegen

Quelle: QUE_45 - LW14, BE1			
	ODOR_050	ODOR_075	ODOR_100
Emissionszeit [h]:	8720	0	0
Emissions-Rate [kg/h oder MGE/h]:	5,544E-1	0,000E+0	0,000E+0
Emission der Quelle [kg oder MGE]:	4,834E+3	0,000E+0	0,000E+0
Quelle: QUE_54 - LW08, BE3			
	ODOR_050	ODOR_075	ODOR_100
Emissionszeit [h]:	8720	0	0
Emissions-Rate [kg/h oder MGE/h]:	5,652E-1	0,000E+0	0,000E+0
Emission der Quelle [kg oder MGE]:	4,929E+3	0,000E+0	0,000E+0
<b>Gesamt-Emission [kg oder MGE]:</b>	<b>1,216E+5</b>	<b>7,861E+4</b>	<b>4,816E+4</b>
<b>Gesamtzeit [h]:</b>	<b>8720</b>		

2022-11-29 17:01:44 -----  
 TalServer: C:/Projekte/Esterwegen\_BP68/Berechnungen/Esterwegen68\_GES/

Ausbreitungsmodell AUSTAL, Version 3.1.2-WI-x  
 Copyright (c) Umweltbundesamt, Dessau-Roßlau, 2002-2021  
 Copyright (c) Ing.-Büro Janicke, Überlingen, 1989-2021

Arbeitsverzeichnis: C:/Projekte/Esterwegen\_BP68/Berechnungen/Esterwegen68\_GES

Erstellungsdatum des Programms: 2021-08-09 08:20:41  
 Das Programm läuft auf dem Rechner "PC-IK0".

```
===== Beginn der Eingabe =====
> ti "Esterwegen" 'Projekt-Titel'
> ux 32408100 'x-Koordinate des Bezugspunktes'
> uy 5871800 'y-Koordinate des Bezugspunktes'
> qs 2 'Qualitätsstufe'
> az "C:\Projekte\Zeitreihen_fuer_Austal\Fri esoythe-Alt enoythe_2014-2015. akterm" 'AKT-Datei'
> xa 250.00 'x-Koordinate des Anemometers'
> ya 1450.00 'y-Koordinate des Anemometers'
> dd 16.0 32.0 64.0 128.0 'Zellengröße (m)'
> x0 -1344.0 -1728.0 -2048.0 -3968.0 'x-Koordinate der l.u. Ecke des
Gitters'
> nx 150 98 60 60 'Anzahl Gitterzellen in X-Richtung'
> y0 -1408.0 -1792.0 -2048.0 -3840.0 'y-Koordinate der l.u. Ecke des
Gitters'
> ny 144 96 56 56 'Anzahl Gitterzellen in Y-Richtung'
> nz 19 19 19 19 'Anzahl Gitterzellen in Z-Richtung'
> os +NOSTANDARD
> hh 0 3.0 6.0 10.0 16.0 25.0 40.0 65.0 100.0 150.0 200.0 300.0 400.0 500.0 600.0 700.0 800.0
1000.0 1200.0 1500.0
> xq -402.93 -379.20 -392.97 0.64 -13.01 4.77 -31.66 -
53.61 13.53 72.35 -335.71 29.16 71.95 71.67 164.52
422.08
> yq -933.70 -870.77 -858.01 -780.89 -772.34 -765.77 -871.35 -
920.67 -830.67 -719.05 -901.30 -929.71 -821.47 -848.12 -856.97
-159.75
> hq 0.00 0.00 0.00 0.00 0.00 0.00 0.00 0.00 0.00 0.00 0.00 0.00
0.00 0.00 0.00 0.00 10.00 6.00 0.00 0.00 0.00 0.00 0.00
> aq 20.00 32.25 7.50 7.07 26.77 6.42 20.85 6.01 79.00 60.22
79.00 7.50 7.07 26.77 6.42 20.85 6.01 79.00 60.22
50.09
> bq 20.00 25.00 2.50 15.50 19.00 15.00 16.00
16.00 2.50 11.83 14.90 0.00 0.00 6.00 31.24
31.06
> cq 7.00 8.00 2.00 5.00 10.00 5.00 0.50 0.50
2.00 5.00 5.00 0.00 0.00 1.00 8.00 5.00
> wq 53.13 237.14 -42.45 -15.00 -15.21 346.33 332.12 -
29.08 340.25 348.69 336.46 155.40 78.85 345.62 333.83
228.48
> dq 0.00 0.00 0.00 0.00 0.00 0.00 0.00 0.00 0.00 0.00 0.00 0.00
0.00 0.00 0.00 0.00 0.00 0.00 0.00 0.00 0.00 0.00 0.00
> vq 0.00 0.00 0.00 0.00 0.00 0.00 0.00 0.00 0.00 0.00 0.00 0.00
0.00 0.00 0.00 0.00 0.00 0.00 0.00 0.00 0.00 0.00
> tq 0.00 0.00 0.00 0.00 0.00 0.00 0.00 0.00 0.00 0.00 0.00 0.00
0.00 0.00 0.00 0.00 0.00 0.00 0.00 0.00 0.00 0.00
> lq 0.0000 0.0000 0.0000 0.0000 0.0000 0.0000 0.0000 0.0000
0.0000 0.0000 0.0000 0.0000 0.0000 0.0000 0.0000 0.0000
0.0000 0.0000 0.0000 0.0000 0.0000
> rq 0.00 0.00 0.00 0.00 0.00 0.00 0.00 0.00 0.00 0.00 0.00 0.00
0.00 0.00 0.00 0.00 0.00 0.00 0.00 0.00 0.00 0.00
> zq 0.0000 0.0000 0.0000 0.0000 0.0000 0.0000 0.0000 0.0000
0.0000 0.0000 0.0000 0.0000 0.0000 0.0000 0.0000 0.0000
0.0000 0.0000 0.0000 0.0000 0.0000
> sq 0.00 0.00 0.00 0.00 0.00 0.00 0.00 0.00 0.00 0.00 0.00 0.00
0.00 0.00 0.00 0.00 0.00 0.00 0.00 0.00 0.00 0.00
> odor_050 1496 1238 0 0 598 0 0
0 0 44 157 0 0 0
154
> odor_075 0 0 0 900 0 570 0
0 0 0 0 1034 0 0
0
> odor_100 0 0 90 0 0 0 57
57 90 0 0 1150 0 90 0
0
```

>>> Abweichung vom Standard (Option NOSTANDARD)!

Die Höhe hq der Quelle 1 beträgt weniger als 10 m.  
 Die Höhe hq der Quelle 2 beträgt weniger als 10 m.  
 Die Höhe hq der Quelle 3 beträgt weniger als 10 m.  
 Die Höhe hq der Quelle 4 beträgt weniger als 10 m.  
 Die Höhe hq der Quelle 5 beträgt weniger als 10 m.  
 Die Höhe hq der Quelle 6 beträgt weniger als 10 m.  
 Die Höhe hq der Quelle 7 beträgt weniger als 10 m.  
 Die Höhe hq der Quelle 8 beträgt weniger als 10 m.

Die Höhe hq der Quelle 9 beträgt weniger als 10 m.  
Die Höhe hq der Quelle 10 beträgt weniger als 10 m.  
Die Höhe hq der Quelle 11 beträgt weniger als 10 m.  
Die Höhe hq der Quelle 13 beträgt weniger als 10 m.  
Die Höhe hq der Quelle 14 beträgt weniger als 10 m.  
Die Höhe hq der Quelle 15 beträgt weniger als 10 m.  
Die Höhe hq der Quelle 16 beträgt weniger als 10 m.

Standard-Kataster z0-utm.dmma (e9ea3bcd) wird verwendet.  
Aus dem Kataster bestimmter Mittelwert von z0 ist 0.166 m.  
Der Wert von z0 wird auf 0.20 m gerundet.

AKTerm "C:/Projekte/Zeitreihen\_fuer\_Austal/Friesoythe-Alttenoythe\_2014-2015.akterm" mit 8760  
Zeilen, Format 3  
Es wird die Anemometerhöhe ha=16.1 m verwendet.  
Verfügbarkeit der AKTerm-Daten 99.4 %.

Prüfsumme AUSTAL 5a45c4ae  
Prüfsumme TALDIA abbd92e1  
Prüfsumme SETTINGS d0929e1c  
Prüfsumme AKTerm 317fe70e

=====

TMI: Auswertung der Ausbreitungsrechnung für "odor"  
TMI: 365 Mittel (davon ungültig: 2)  
TMI: Datei "C:/Projekte/Esterwegen\_BP68/Berechnungen/Esterwegen68\_GES/odor-j00z01"  
ausgeschrieben.  
TMI: Datei "C:/Projekte/Esterwegen\_BP68/Berechnungen/Esterwegen68\_GES/odor-j00s01"  
ausgeschrieben.  
TMI: Datei "C:/Projekte/Esterwegen\_BP68/Berechnungen/Esterwegen68\_GES/odor-j00z02"  
ausgeschrieben.  
TMI: Datei "C:/Projekte/Esterwegen\_BP68/Berechnungen/Esterwegen68\_GES/odor-j00s02"  
ausgeschrieben.  
TMI: Datei "C:/Projekte/Esterwegen\_BP68/Berechnungen/Esterwegen68\_GES/odor-j00z03"  
ausgeschrieben.  
TMI: Datei "C:/Projekte/Esterwegen\_BP68/Berechnungen/Esterwegen68\_GES/odor-j00s03"  
ausgeschrieben.  
TMI: Datei "C:/Projekte/Esterwegen\_BP68/Berechnungen/Esterwegen68\_GES/odor-j00z04"  
ausgeschrieben.  
TMI: Datei "C:/Projekte/Esterwegen\_BP68/Berechnungen/Esterwegen68\_GES/odor-j00s04"  
ausgeschrieben.  
TMI: Auswertung der Ausbreitungsrechnung für "odor\_050"  
TMI: 365 Mittel (davon ungültig: 2)  
TMI: Datei "C:/Projekte/Esterwegen\_BP68/Berechnungen/Esterwegen68\_GES/odor\_050-j00z01"  
ausgeschrieben.  
TMI: Datei "C:/Projekte/Esterwegen\_BP68/Berechnungen/Esterwegen68\_GES/odor\_050-j00s01"  
ausgeschrieben.  
TMI: Datei "C:/Projekte/Esterwegen\_BP68/Berechnungen/Esterwegen68\_GES/odor\_050-j00z02"  
ausgeschrieben.  
TMI: Datei "C:/Projekte/Esterwegen\_BP68/Berechnungen/Esterwegen68\_GES/odor\_050-j00s02"  
ausgeschrieben.  
TMI: Datei "C:/Projekte/Esterwegen\_BP68/Berechnungen/Esterwegen68\_GES/odor\_050-j00z03"  
ausgeschrieben.  
TMI: Datei "C:/Projekte/Esterwegen\_BP68/Berechnungen/Esterwegen68\_GES/odor\_050-j00s03"  
ausgeschrieben.  
TMI: Datei "C:/Projekte/Esterwegen\_BP68/Berechnungen/Esterwegen68\_GES/odor\_050-j00z04"  
ausgeschrieben.  
TMI: Datei "C:/Projekte/Esterwegen\_BP68/Berechnungen/Esterwegen68\_GES/odor\_050-j00s04"  
ausgeschrieben.  
TMI: Auswertung der Ausbreitungsrechnung für "odor\_075"  
TMI: 365 Mittel (davon ungültig: 2)  
TMI: Datei "C:/Projekte/Esterwegen\_BP68/Berechnungen/Esterwegen68\_GES/odor\_075-j00z01"  
ausgeschrieben.  
TMI: Datei "C:/Projekte/Esterwegen\_BP68/Berechnungen/Esterwegen68\_GES/odor\_075-j00s01"  
ausgeschrieben.  
TMI: Datei "C:/Projekte/Esterwegen\_BP68/Berechnungen/Esterwegen68\_GES/odor\_075-j00z02"  
ausgeschrieben.  
TMI: Datei "C:/Projekte/Esterwegen\_BP68/Berechnungen/Esterwegen68\_GES/odor\_075-j00s02"  
ausgeschrieben.  
TMI: Datei "C:/Projekte/Esterwegen\_BP68/Berechnungen/Esterwegen68\_GES/odor\_075-j00z03"  
ausgeschrieben.  
TMI: Datei "C:/Projekte/Esterwegen\_BP68/Berechnungen/Esterwegen68\_GES/odor\_075-j00s03"  
ausgeschrieben.  
TMI: Datei "C:/Projekte/Esterwegen\_BP68/Berechnungen/Esterwegen68\_GES/odor\_075-j00z04"  
ausgeschrieben.  
TMI: Datei "C:/Projekte/Esterwegen\_BP68/Berechnungen/Esterwegen68\_GES/odor\_075-j00s04"  
ausgeschrieben.  
TMI: Auswertung der Ausbreitungsrechnung für "odor\_100"  
TMI: 365 Mittel (davon ungültig: 2)  
TMI: Datei "C:/Projekte/Esterwegen\_BP68/Berechnungen/Esterwegen68\_GES/odor\_100-j00z01"  
ausgeschrieben.  
TMI: Datei "C:/Projekte/Esterwegen\_BP68/Berechnungen/Esterwegen68\_GES/odor\_100-j00s01"  
ausgeschrieben.  
TMI: Datei "C:/Projekte/Esterwegen\_BP68/Berechnungen/Esterwegen68\_GES/odor\_100-j00z02"  
ausgeschrieben.

TMI: Datei "C:/Projekte/Esterwegen\_BP68/Berechnungen/Esterwegen68\_GES/odor\_100-j 00s02"
ausgeschrieben.  
TMI: Datei "C:/Projekte/Esterwegen\_BP68/Berechnungen/Esterwegen68\_GES/odor\_100-j 00z03"
ausgeschrieben.  
TMI: Datei "C:/Projekte/Esterwegen\_BP68/Berechnungen/Esterwegen68\_GES/odor\_100-j 00s03"
ausgeschrieben.  
TMI: Datei "C:/Projekte/Esterwegen\_BP68/Berechnungen/Esterwegen68\_GES/odor\_100-j 00z04"
ausgeschrieben.  
TMI: Datei "C:/Projekte/Esterwegen\_BP68/Berechnungen/Esterwegen68\_GES/odor\_100-j 00s04"
ausgeschrieben.  
TMI: Dateien erstellt von AUSTAL\_3.1.2-WI-x.

=====

Auswertung der Ergebnisse:

=====

DEP: Jahresmittel der Deposition  
J00: Jahresmittel der Konzentration/Geruchsstundenhäufigkeit  
Tnn: Höchstes Tagesmittel der Konzentration mit nn Überschreitungen  
Snn: Höchstes Stundenmittel der Konzentration mit nn Überschreitungen

WARNUNG: Eine oder mehrere Quellen sind niedriger als 10 m.  
Die im folgenden ausgewiesenen Maximalwerte sind daher  
möglicherweise nicht relevant für eine Beurteilung!

Maximalwert der Geruchsstundenhäufigkeit bei z=1.5 m

=====

ODOR	J00	: 100.0 %	(+/- 0.0 )	bei x= -408 m,	y= -920 m	(1: 59, 31)
ODOR_050	J00	: 100.0 %	(+/- 0.0 )	bei x= -408 m,	y= -920 m	(1: 59, 31)
ODOR_075	J00	: 100.0 %	(+/- 0.0 )	bei x= 8 m,	y= -776 m	(1: 85, 40)
ODOR_100	J00	: 99.7 %	(+/- 0.0 )	bei x= 72 m,	y= -840 m	(1: 89, 36)
ODOR_MOD	J00	: 99.9 %	(+/- ? )	bei x= 72 m,	y= -840 m	(1: 89, 36)

=====

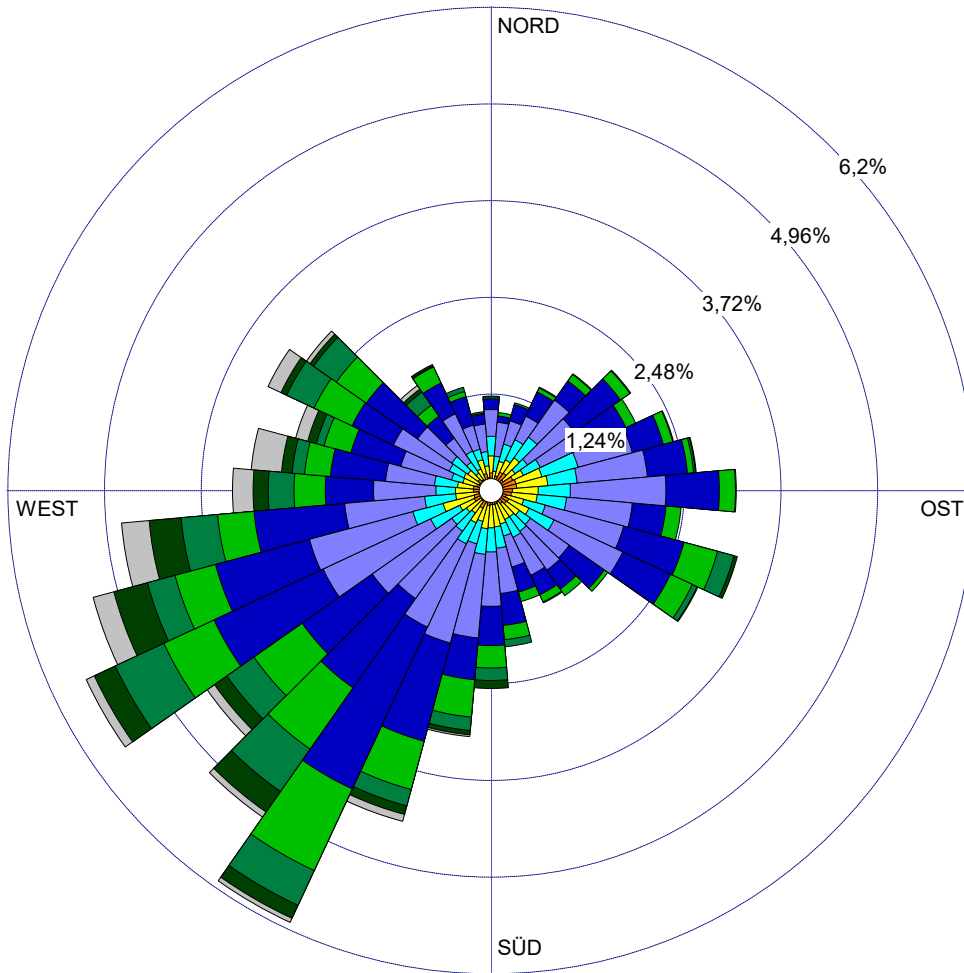
2022-11-30 02:07:07 AUSTAL beendet.

WINDROSEN-PLOT:

**Stations-Nr.1503**

ANZEIGE:

**Windgeschwindigkeit  
Windrichtung (aus Richtung)**



Windgeschw.  
[m/s]

- > 10
- 8.5 - 10.0
- 7.0 - 8.4
- 5.5 - 6.9
- 3.9 - 5.4
- 2.4 - 3.8
- 1.9 - 2.3
- 1.4 - 1.8
- < 1.4

Windstille: 0,22%  
Umlfd. Wind: 0,66%

BEMERKUNGEN:

Windrichtungs- und  
- geschwindigkeitsverteilung

DATEN-ZEITRAUM:

**Start-Datum: 05.04.2014 - 00:00  
End-Datum: 04.04.2015 - 23:00**

FIRMENNAME:

BEARBEITER:

WINDSTILLE:

**0,22%**

GESAMTANZAHL:

**8710 Std.**

MITTLERE WINDGESCHWINDIGKEIT:

**4,02 m/s**

DATUM:

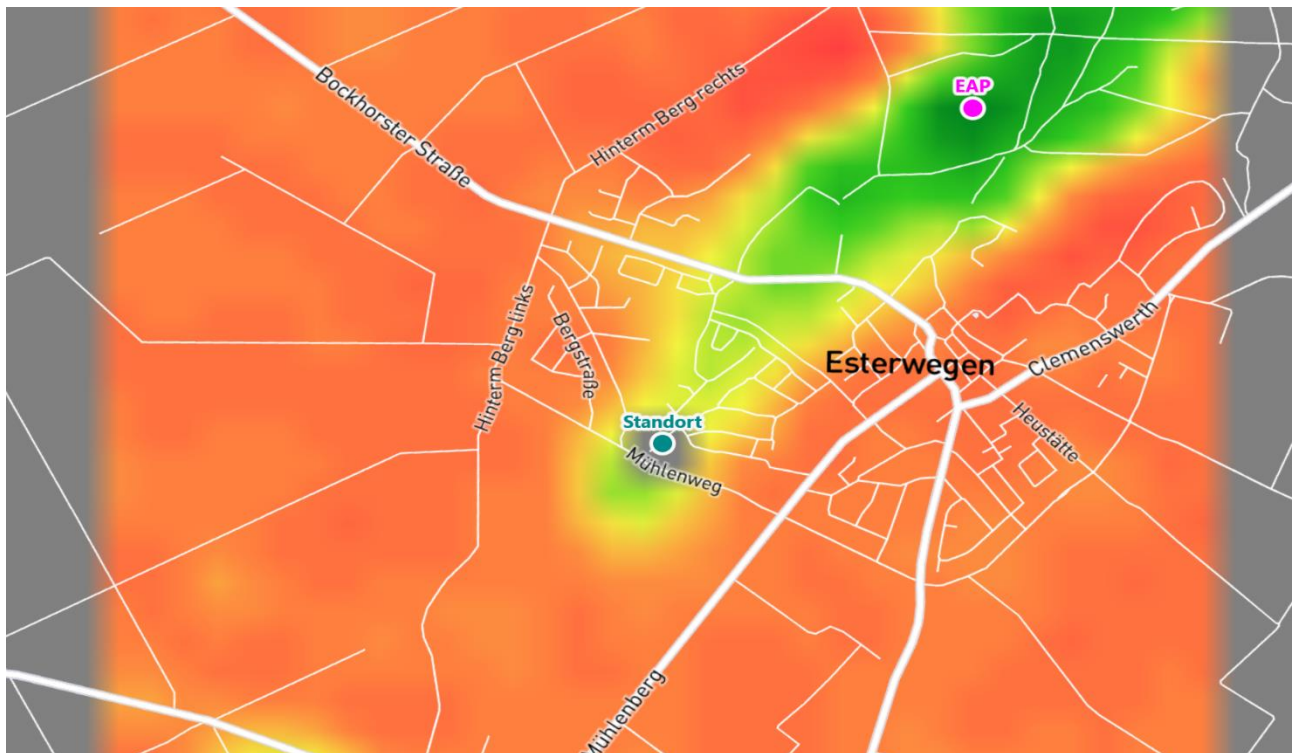
**24.11.2022**

PROJEKT-NR.:

**LG17529**

# Detaillierte Prüfung der Repräsentativität meteorologischer Daten nach VDI-Richtlinie 3783 Blatt 20 für Ausbreitungsrechnungen nach TA Luft

an einem Standort in Esterwegen



Auftraggeber:	ZECH Umweltanalytik GmbH Hessenweg 38 49809 Lingen (Ems)	Tel.: 0591 80016-82
Bearbeiter:	Dipl.-Phys. Thomas Köhler Tel.: 037206 8929-44 Email: Thomas.Koehler@ifu-analytik.de	Dr. Ralf Petrich Tel.: 037206 8929-40 Email: Ralf.Petrich@ifu-analytik.de
Aktenzeichen:	DPR.20220129-01	
Ort, Datum:	Frankenberg, 26. Januar 2022	
Anzahl der Seiten:	57	
Anlagen:	-	



Akkreditiert für die Bereitstellung meteorologischer Daten für Ausbreitungsrechnungen nach TA Luft nach VDI-Richtlinie 3783 Blatt 20

Durch die DAKKS nach DIN EN ISO/IEC 17025:2005 akkreditiertes Prüflaboratorium.  
 Die Akkreditierung gilt für die in der Urkunde aufgeführten Prüfverfahren.

# Inhaltsverzeichnis

Inhaltsverzeichnis .....	2
Abbildungsverzeichnis .....	3
Tabellenverzeichnis .....	4
1 Aufgabenstellung .....	5
2 Beschreibung des Anlagenstandortes .....	6
2.1 Lage .....	6
2.2 Landnutzung .....	7
2.3 Orographie .....	9
3 Bestimmung der Ersatzanemometerposition .....	11
3.1 Hintergrund .....	11
3.2 Verfahren zur Bestimmung der Ersatzanemometerposition .....	11
3.3 Bestimmung der Ersatzanemometerposition im konkreten Fall .....	12
4 Prüfung der Übertragbarkeit meteorologischer Daten .....	15
4.1 Allgemeine Betrachtungen .....	15
4.2 Meteorologische Datenbasis .....	15
4.3 Erwartungswerte für Windrichtungsverteilung und Windgeschwindigkeitsverteilung am untersuchten Standort .....	19
4.4 Vergleich der Windrichtungsverteilungen .....	23
4.5 Vergleich der Windgeschwindigkeitsverteilungen .....	30
4.6 Auswahl der Bezugswindstation .....	31
5 Beschreibung der ausgewählten Wetterstation .....	32
6 Bestimmung eines repräsentativen Jahres .....	35
6.1 Bewertung der vorliegenden Datenbasis und Auswahl eines geeigneten Zeitraums .....	35
6.2 Analyse der Verteilungen von Windrichtung, Windgeschwindigkeit, Ausbreitungsklasse sowie der Nacht- und Schwachwinde .....	39
6.3 Prüfung auf Plausibilität .....	43
7 Beschreibung der Datensätze .....	47
7.1 Effektive aerodynamische Rauigkeitslänge .....	47
7.1.1 Theoretische Grundlagen .....	47
7.1.2 Bestimmung der effektiven aerodynamischen Rauigkeit im konkreten Fall .....	50
7.2 Rechnerische Anemometerhöhen in Abhängigkeit von der Rauigkeitsklasse .....	51
7.3 Ausbreitungsklassenzeitreihe .....	52
8 Hinweise für die Ausbreitungsrechnung .....	53
9 Zusammenfassung .....	54
10 Prüfliste für die Übertragbarkeitsprüfung .....	55
11 Schrifttum .....	57

# Abbildungsverzeichnis

Abbildung 1: Lage der Ortschaft Esterwegen in Niedersachsen .....	6
Abbildung 2: Lage des Standortes in Esterwegen .....	7
Abbildung 3: Rauigkeitslänge in Metern in der Umgebung des Standortes nach CORINE-Datenbank .....	8
Abbildung 4: Luftbild mit der Umgebung des Standortes .....	9
Abbildung 5: Orographie um den Standort .....	10
Abbildung 6: Flächenhafte Darstellung des Gütemaßes zur Bestimmung der Ersatzanemometerposition....	13
Abbildung 7: Ersatzanemometerposition im Relief um den Standort .....	14
Abbildung 8: Stationen in der Nähe des untersuchten Anlagenstandortes.....	16
Abbildung 9: Windrichtungsverteilung der betrachteten Messstationen .....	18
Abbildung 10: Prognostisch modellierte Windrichtungsverteilungen im Untersuchungsgebiet.....	20
Abbildung 11: Prognostisch modellierte Windrichtungsverteilung für die Ersatzanemometerposition.....	21
Abbildung 12: Prognostisch modellierte Windgeschwindigkeitsverteilung für die Ersatzanemometerposition .....	22
Abbildung 13: Vergleich der Windrichtungsverteilung der Station Friesoythe-Altenoythe mit dem Erwartungswert .....	24
Abbildung 14: Vergleich der Windrichtungsverteilung der Station Dörpen mit dem Erwartungswert .....	25
Abbildung 15: Vergleich der Windrichtungsverteilung der Station Meppen mit dem Erwartungswert .....	26
Abbildung 16: Vergleich der Windrichtungsverteilung der Station Emden mit dem Erwartungswert.....	27
Abbildung 17: Vergleich der Windrichtungsverteilung der Station Lingen mit dem Erwartungswert .....	28
Abbildung 18: Vergleich der Windrichtungsverteilung der Station Wittmundhafen mit dem Erwartungswert .....	29
Abbildung 19: Lage der ausgewählten Station.....	32
Abbildung 20: Luftbild mit der Umgebung der Messstation.....	33
Abbildung 21: Orographie um den Standort der Wetterstation.....	34
Abbildung 22: Prüfung auf vollständige und homogene Daten der Windmessstation anhand der Windrichtungsverteilung .....	36
Abbildung 23: Prüfung auf vollständige und homogene Daten der Windmessstation anhand der Windgeschwindigkeitsverteilung.....	37
Abbildung 24: Prüfung auf vollständige und homogene Daten der Windmessstation anhand der Verteilung der Ausbreitungsklasse .....	38
Abbildung 25: Gewichtete $\chi^2$ -Summe und Einzelwerte als Maß für die Ähnlichkeit der einzelnen Testzeiträume zu je einem Jahr (Jahreszeitreihe) mit dem Gesamtzeitraum .....	41
Abbildung 26: Gewichtete $\sigma$ -Umgebung-Treffersumme und Einzelwerte als Maß für die Ähnlichkeit der einzelnen Testzeiträume zu je einem Jahr (Jahreszeitreihe) mit dem Gesamtzeitraum.....	42
Abbildung 27: Vergleich der Windrichtungsverteilung für die ausgewählte Jahreszeitreihe mit dem Gesamtzeitraum.....	43
Abbildung 28: Vergleich der Windgeschwindigkeitsverteilung für die ausgewählte Jahreszeitreihe mit dem Gesamtzeitraum.....	44
Abbildung 29: Vergleich der Verteilung der Ausbreitungsklasse für die ausgewählte Jahreszeitreihe mit dem Gesamtzeitraum.....	45
Abbildung 30: Vergleich der Richtungsverteilung von Nacht- und Schwachwinden für die ausgewählte Jahreszeitreihe mit dem Gesamtzeitraum.....	46
Abbildung 31: Schematischer Ablauf zur Bestimmung der effektiven aerodynamischen Rauigkeit.....	49
Abbildung 32: Verteilung der effektiven aerodynamischen Rauigkeiten auf die Windrichtungssektoren für die Station Friesoythe-Altenoythe .....	51

## Tabellenverzeichnis

Tabelle 1: UTM-Koordinaten des Standortes .....	7
Tabelle 2: UTM-Koordinaten der ermittelten Ersatzanemometerposition.....	12
Tabelle 3: Zur Untersuchung verwendete Messstationen .....	17
Tabelle 4: Gegenüberstellung meteorologischer Kennwerte der betrachteten Messstationen mit den Erwartungswerten am Standort .....	23
Tabelle 5: Rangliste der Bezugswindstationen hinsichtlich ihrer Windrichtungsverteilung .....	30
Tabelle 6: Rangliste der Bezugswindstationen hinsichtlich ihrer Windgeschwindigkeitsverteilung .....	31
Tabelle 7: Resultierende Rangliste der Bezugswindstationen .....	31
Tabelle 8: Koordinaten der Wetterstation .....	33
Tabelle 9: Anzahl der Einzelmessungen und Sektorenrauigkeiten für die Station Friesoythe-Altenoythe .....	50
Tabelle 10: Rechnerische Anemometerhöhen in Abhängigkeit von der Rauigkeitsklasse für die Station Friesoythe-Altenoythe .....	52

# 1 Aufgabenstellung

Der Auftraggeber plant Ausbreitungsrechnungen nach TA Luft in einem Untersuchungsgebiet in der Gemeinde Esterwegen, dem Sitz der Samtgemeinde Nordhümmling im Landkreis Emsland in Niedersachsen.

Bei der in den Ausbreitungsrechnungen betrachteten Anlage handelt es sich um ein geplantes Wohngebiet in Esterwegen. In der unmittelbaren Umgebung befinden sich einige landwirtschaftliche Betriebe. Deren Quellhöhen liegen in einem Bereich von maximal 10 m über Grund.

Die TA Luft sieht vor, meteorologische Daten für Ausbreitungsrechnungen von einer Messstation (Bezugswindstation) auf einen Anlagenstandort (Zielbereich) zu übertragen, wenn am Standort der Anlage keine Messungen vorliegen. Die Übertragbarkeit dieser Daten ist zu prüfen. Die Dokumentation dieser Prüfung erfolgt im vorliegenden Dokument.

Darüber hinaus wird eine geeignete Ersatzanemometerposition (EAP) ermittelt. Diese dient dazu, den meteorologischen Daten nach Übertragung in das Untersuchungsgebiet einen Ortsbezug zu geben.

Schließlich wird ermittelt, welches Jahr für die Messdaten der ausgewählten Bezugswindstation repräsentativ für einen größeren Zeitraum ist.

## 2 Beschreibung des Anlagenstandortes

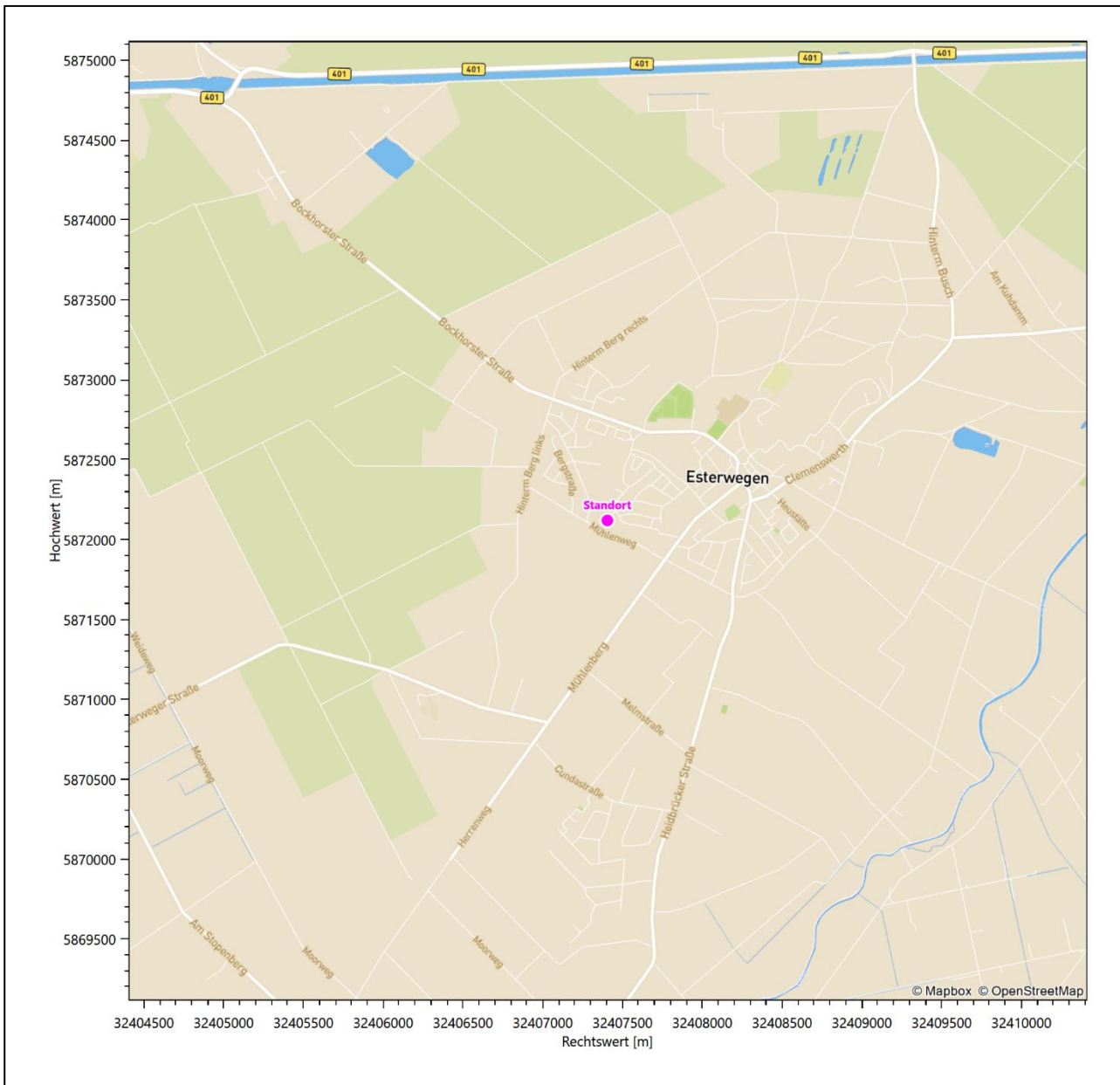
### 2.1 Lage

Der untersuchte Standort befindet sich in der Ortschaft Esterwegen in Niedersachsen. Die folgende Abbildung zeigt die Lage des Standortes.



**Abbildung 1: Lage der Ortschaft Esterwegen in Niedersachsen**

Die genaue Lage des untersuchten Standortes in Esterwegen ist anhand des folgenden Auszuges aus der topographischen Karte ersichtlich.



**Abbildung 2: Lage des Standortes in Esterwegen**

In der folgenden Tabelle sind die Koordinaten des Standortes angegeben.

**Tabelle 1: UTM-Koordinaten des Standortes**

RW	32407405
HW	5872119

## 2.2 Landnutzung

Der Standort selbst liegt am südwestlichen Rand der Gemeinde Esterwegen. Die Umgebung des Standortes ist durch eine wechselnde Landnutzung geprägt. Unterschiedlich dicht bebaute Siedlungsgebiete wechseln



Das folgende Luftbild verschafft einen detaillierten Überblick über die Nutzung um den Standort.



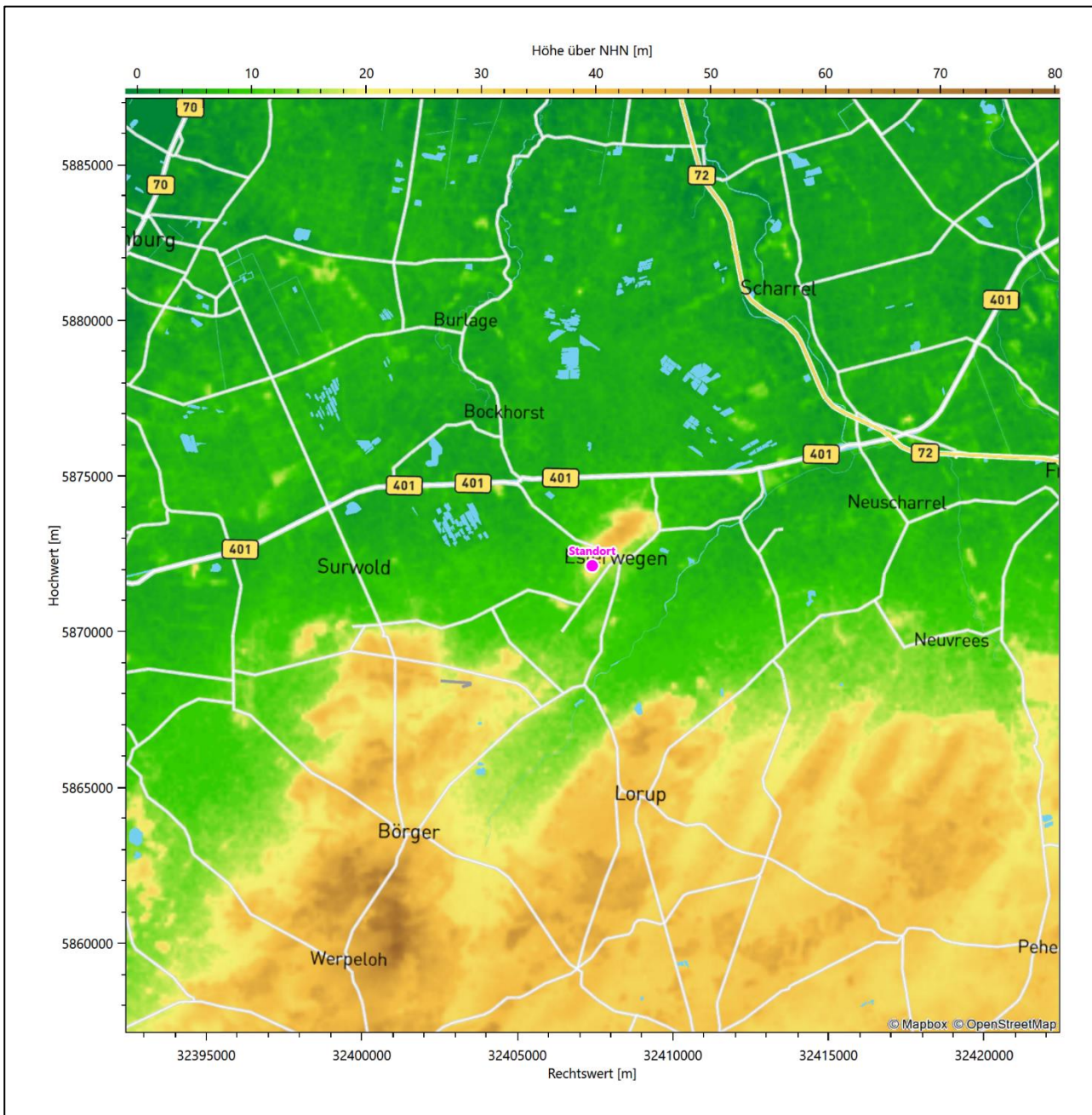
**Abbildung 4: Luftbild mit der Umgebung des Standortes**

## 2.3 Orographie

Der Standort liegt auf einer Höhe von etwa 27 m über NHN. Die Umgebung ist orographisch wenig gegliedert. Naturräumlich liegt Esterwegen im Übergangsbereich zwischen *Papenburger Moor/Overledingen* und der *Östlichen Hunte-Leda-Moorniederung*. Die Moorlandschaft bei Papenburg ist ein Hochmoorkomplex, der in die Niederungslandschaft von Hunte und Leda eingebettet ist. Dazu gehört beispielsweise das Legmoor, dessen Aussichtsturm 4,3 km westlich des Standortes steht. Am Südrand der Landschaft liegt eine für die Hunte-Leda-Niederung typische Geestinsel. Mit 39 m über NHN ist der bewaldete Esterweger Busch die höchste Erhebung der Region. Dieser schließt sich direkt nördlich des Gemeindegebiets von Esterwegen an. Noch weiter nördlich folgt die Moorlandschaft der Esterweger Dose. Die Hunte-Leda-Moorniederung, ein 30 km

breites Niederungsgebiet, wird im Süden durch ansteigende Geestflächen begrenzt. Dies ist im südlichen Halbraum der nachfolgenden Abbildung einsehbar. Die Ohe ist der linke Quellbach der Sagter Ems, einem Oberlauf der Leda, und zählt zum Flusssystem der Ems. Sie passiert Esterwegen im Osten.

Die nachfolgende Abbildung verschafft einen Überblick über das Relief.



**Abbildung 5: Orographie um den Standort**

## 3 Bestimmung der Ersatzanemometerposition

### 3.1 Hintergrund

Bei Ausbreitungsrechnungen in komplexem Gelände ist der Standort eines Anemometers anzugeben, wodurch die verwendeten meteorologischen Daten ihren Ortsbezug im Rechengebiet erhalten. Werden meteorologische Daten einer entfernteren Messstation in ein Rechengebiet übertragen, so findet die Übertragung hin zu dieser Ersatzanemometerposition (EAP) statt.

Um sicherzustellen, dass die übertragenen meteorologischen Daten repräsentativ für das Rechengebiet sind, ist es notwendig, dass sich das Anemometer an einer Position befindet, an der die Orografie der Standortumgebung keinen oder nur geringen Einfluss auf die Windverhältnisse ausübt. Nur dann ist sichergestellt, dass sich mit jeder Richtungsänderung der großräumigen Anströmung, die sich in den übertragenen meteorologischen Daten widerspiegelt, auch der Wind an der Ersatzanemometerposition im gleichen Drehsinn und Maß ändert. Eine sachgerechte Wahl der EAP ist also Bestandteil des Verfahrens, mit dem die Übertragbarkeit meteorologischer Daten geprüft wird.

In der Vergangenheit wurde die EAP nach subjektiven Kriterien ausgewählt. Dabei fiel die Auswahl häufig auf eine frei angeströmte Kuppenlage, auf eine Hochebene oder in den Bereich einer ebenen, ausgedehnten Talsohle. Mit Erscheinen der VDI-Richtlinie 3783 Blatt 16 [2] wurde erstmals ein Verfahren beschrieben, mit dem die Position der EAP objektiv durch ein Rechenverfahren bestimmt werden kann. Dieses Verfahren ist im folgenden Abschnitt kurz beschrieben.

### 3.2 Verfahren zur Bestimmung der Ersatzanemometerposition

Ausgangspunkt des Verfahrens ist das Vorliegen einer Bibliothek mit Windfeldern für alle Ausbreitungsclassen und Richtungssektoren von 10° Breite. Die einzelnen Schritte werden für alle Modellebenen unterhalb von 100 m über Grund und jeden Modell-Gitterpunkt durchgeführt:

1. Es werden nur Gitterpunkte im Inneren des Rechengebiets ohne die drei äußeren Randpunkte betrachtet. Gitterpunkte in unmittelbarer Nähe von Bebauung, die als umströmtes Hindernis berücksichtigt wurde, werden nicht betrachtet.
2. Es werden alle Gitterpunkte aussortiert, an denen sich der Wind nicht mit jeder Drehung der Anströmrichtung gleichsinnig dreht oder an denen die Windgeschwindigkeit kleiner als 0,5 m/s ist. Die weiteren Schritte werden nur für die verbleibenden Gitterpunkte durchgeführt.
3. An jedem Gitterpunkt werden die Gütemaße  $g_d$  (für die Windrichtung) und  $g_f$  (für die Windgeschwindigkeit) über alle Anströmrichtungen und Ausbreitungsclassen berechnet, siehe dazu VDI-Richtlinie 3783 Blatt 16 [2], Abschnitt 6.1. Die Gütemaße  $g_d$  und  $g_f$  werden zu einem Gesamtmaß  $g = g_d \cdot g_f$  zusammengefasst. Die Größe  $g$  liegt immer in dem Intervall  $[0,1]$ , wobei 0 keine und 1 die perfekte Übereinstimmung mit den Daten der Anströmung bedeutet.
4. Innerhalb jedes einzelnen zusammenhängenden Gebiets mit gleichsinnig drehender Windrichtung werden die Gesamtmaße  $g$  aufsummiert zu  $G$ .
5. In dem zusammenhängenden Gebiet mit der größten Summe  $G$  wird der Gitterpunkt bestimmt, der den größten Wert von  $g$  aufweist. Dieser Ort wird als EAP festgelegt.

Das beschriebene Verfahren ist objektiv und liefert, sofern mindestens ein Gitterpunkt mit gleichsinnig drehendem Wind existiert, immer eine eindeutige EAP. Es ist auf jede Windfeldbibliothek anwendbar, unabhängig davon, ob diese mit einem prognostischen oder diagnostischen Windfeldmodell berechnet wurde.

### 3.3 Bestimmung der Ersatzanemometerposition im konkreten Fall

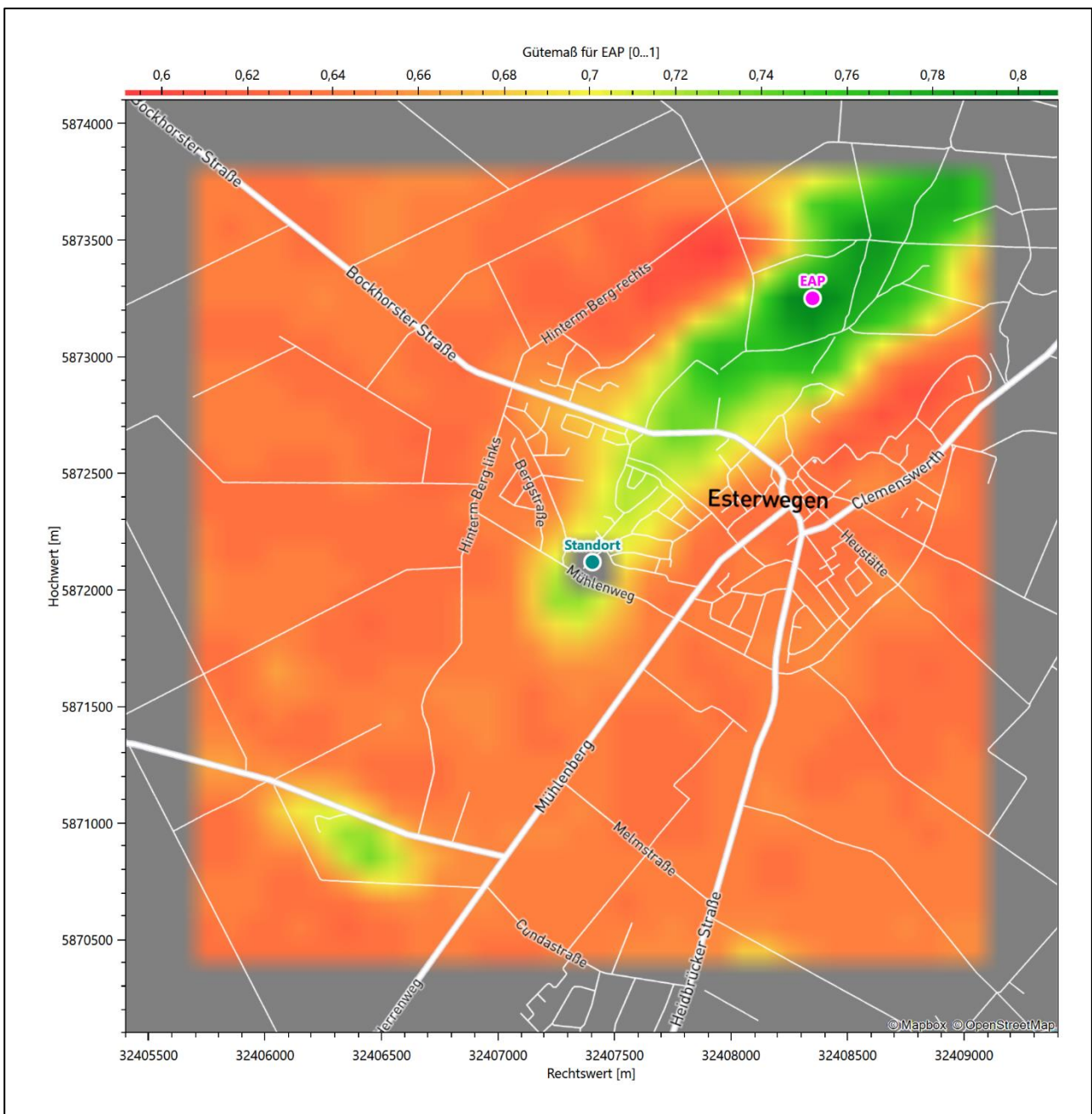
Für das in Abbildung 6 dargestellte Gebiet um den Anlagenstandort wurde unter Einbeziehung der Orographie mit dem prognostischen Windfeldmodell GRAMM [3] eine Windfeldbibliothek berechnet. Auf diese Bibliothek wurde das in Abschnitt 3.2 beschriebene Verfahren angewandt. In der Umgebung des Standortes wurde das Gütemaß  $g$  ausgerechnet. Die folgende Grafik zeigt die flächenhafte Visualisierung der Ergebnisse.

Es ist erkennbar, dass in ungünstigen Positionen das Gütemaß bis auf Werte von 0,59 absinkt. Maximal wird ein Gütemaß von 0,81 erreicht. Diese Position ist in Abbildung 6 mit EAP gekennzeichnet. Sie liegt etwa 1,5 km nordöstlich des Standortes. Die genauen Koordinaten sind in der folgenden Tabelle angegeben.

**Tabelle 2: UTM-Koordinaten der ermittelten Ersatzanemometerposition**

RW	32408350
HW	5873250

Für diese Position erfolgt im Folgenden die Prüfung der Übertragbarkeit der meteorologischen Daten.



**Abbildung 6: Flächenhafte Darstellung des Gütemaßes zur Bestimmung der Ersatzanemometerposition**

Die zweidimensionale Darstellung bezieht sich lediglich auf die ausgewertete Modellebene im Bereich von 13,9 m. Auf diese Höhe wurden im folgenden Abschnitt 4 die Windrichtungen und Windgeschwindigkeiten bezogen, um vergleichbare Werte zu bekommen.

Die folgende Abbildung zeigt die Lage der bestimmten Ersatzanemometerposition im Relief um den Standort.

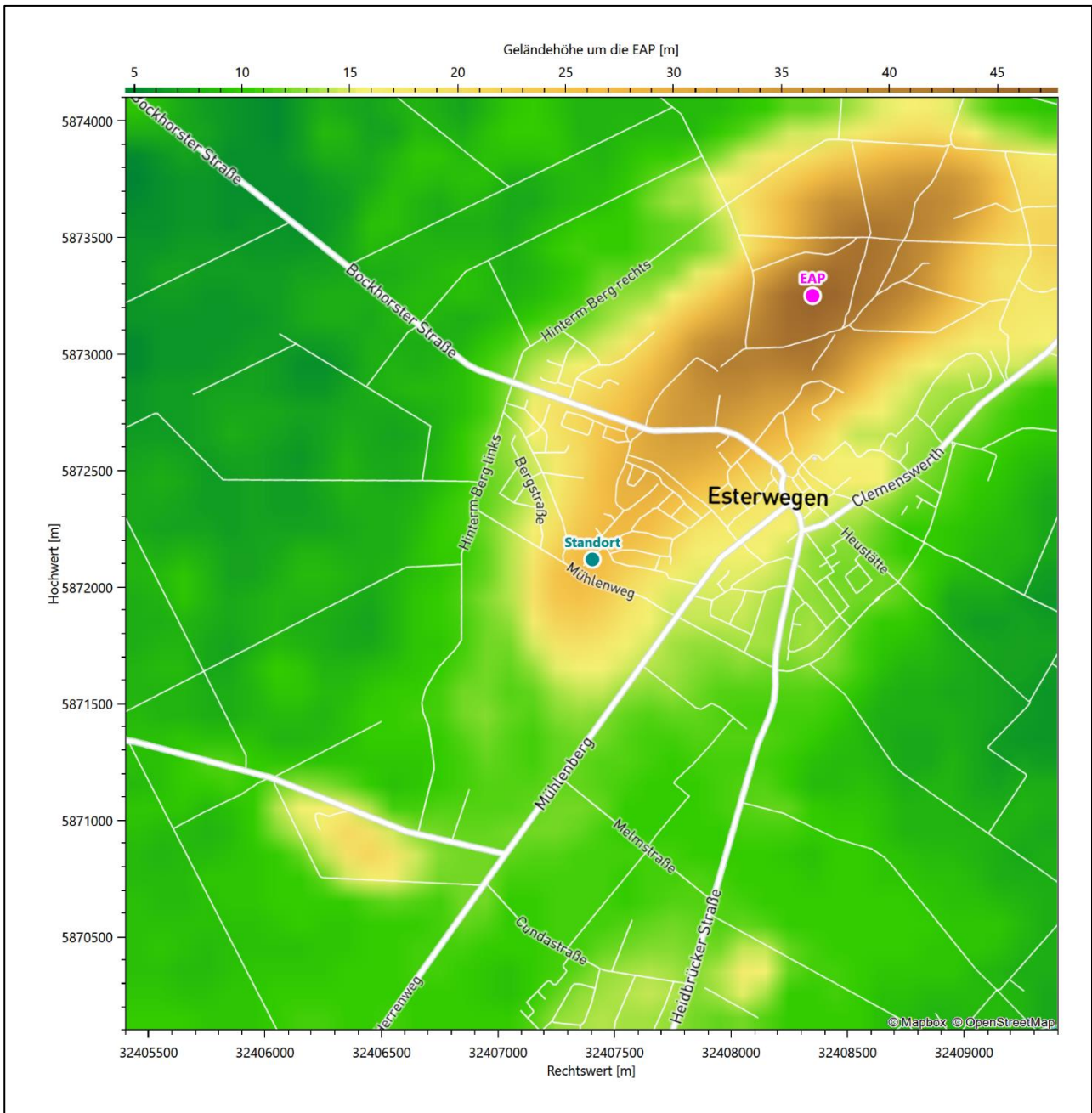


Abbildung 7: Ersatzanemometerposition im Relief um den Standort

## 4 Prüfung der Übertragbarkeit meteorologischer Daten

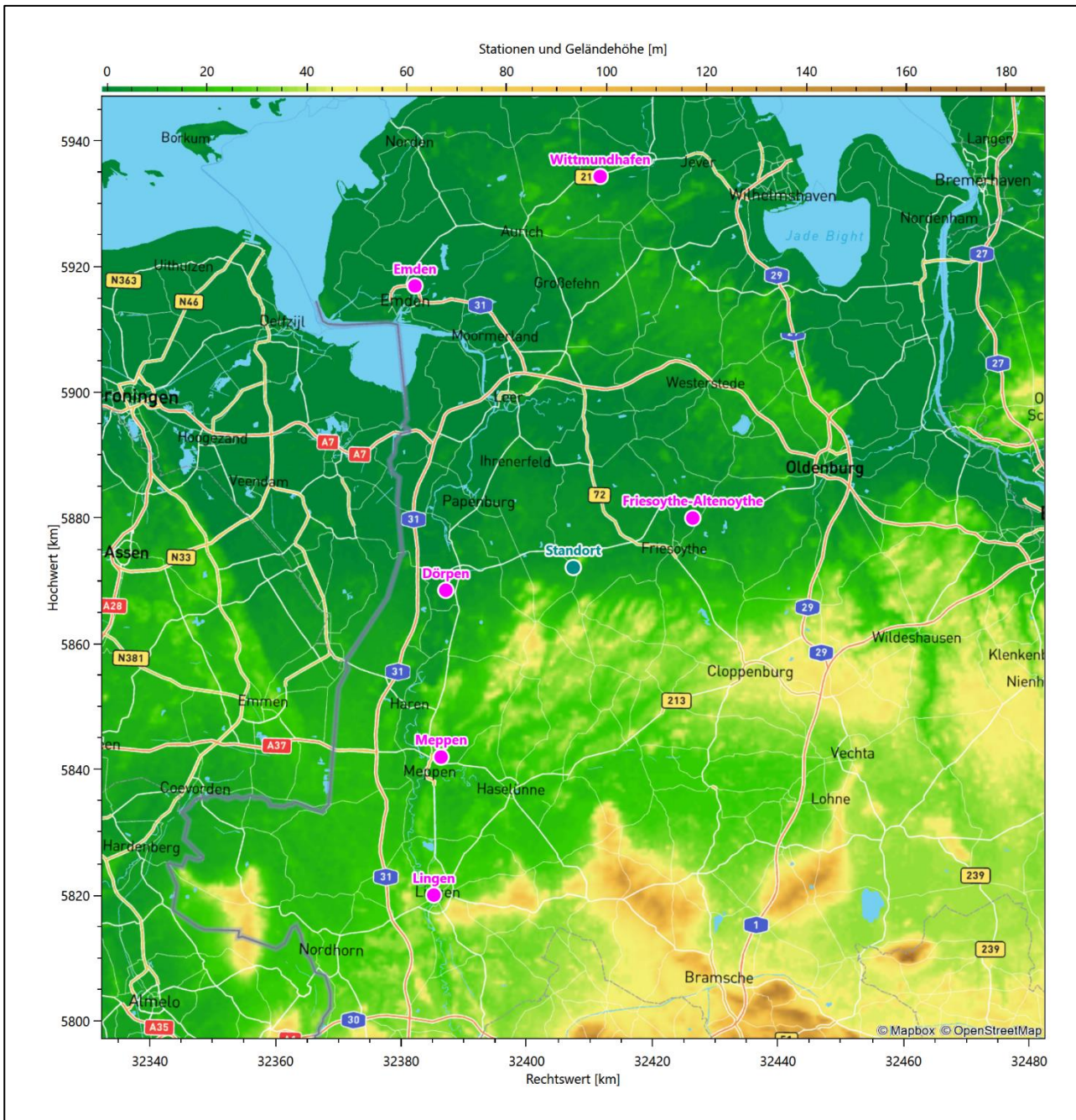
### 4.1 Allgemeine Betrachtungen

Die großräumige Luftdruckverteilung bestimmt die mittlere Richtung des Höhenwindes in einer Region. Im Jahresmittel ergibt sich hieraus für Niedersachsen das Vorherrschen der westlichen bis südwestlichen Richtungskomponente. Das Geländere relief und die Landnutzung haben jedoch einen erheblichen Einfluss sowohl auf die Windrichtung infolge von Ablenkung und Kanalisierung als auch auf die Windgeschwindigkeit durch Effekte der Windabschattung oder der Düsenwirkung. Außerdem modifiziert die Beschaffenheit des Untergrundes (Freiflächen, Wald, Bebauung, Wasserflächen) die lokale Windgeschwindigkeit, in geringem Maße aber auch die lokale Windrichtung infolge unterschiedlicher Bodenrauigkeit.

Bei windschwacher und wolkenarmer Witterung können sich wegen der unterschiedlichen Erwärmung und Abkühlung der Erdoberfläche lokale, thermisch induzierte Zirkulationssysteme wie beispielsweise Berg- und Talwinde oder Land-Seewind ausbilden. Besonders bedeutsam ist die Bildung von Kaltluft, die bei klarem und windschwachem Wetter nachts als Folge der Ausstrahlung vorzugsweise über Freiflächen (wie z. B. Wiesen und Wiesenhängen) entsteht und der Geländeneigung folgend je nach ihrer Steigung und aerodynamischen Rauigkeit mehr oder weniger langsam abfließt. Diese Kaltluftflüsse haben in der Regel nur eine geringe vertikale Mächtigkeit und sammeln sich an Geländetiefpunkten zu Kaltluftseen an. Solche lokalen Windsysteme können meist nur durch Messungen am Standort erkundet, im Falle von nächtlichen Kaltluftflüssen aber auch durch Modellrechnungen erfasst werden.

### 4.2 Meteorologische Datenbasis

In der Nähe des untersuchten Standortes liegen sechs Messstationen des Deutschen Wetterdienstes (Abbildung 8), die den Qualitätsanforderungen der VDI-Richtlinie 3783 Blatt 21 [4] genügen.



**Abbildung 8: Stationen in der Nähe des untersuchten Anlagenstandortes**

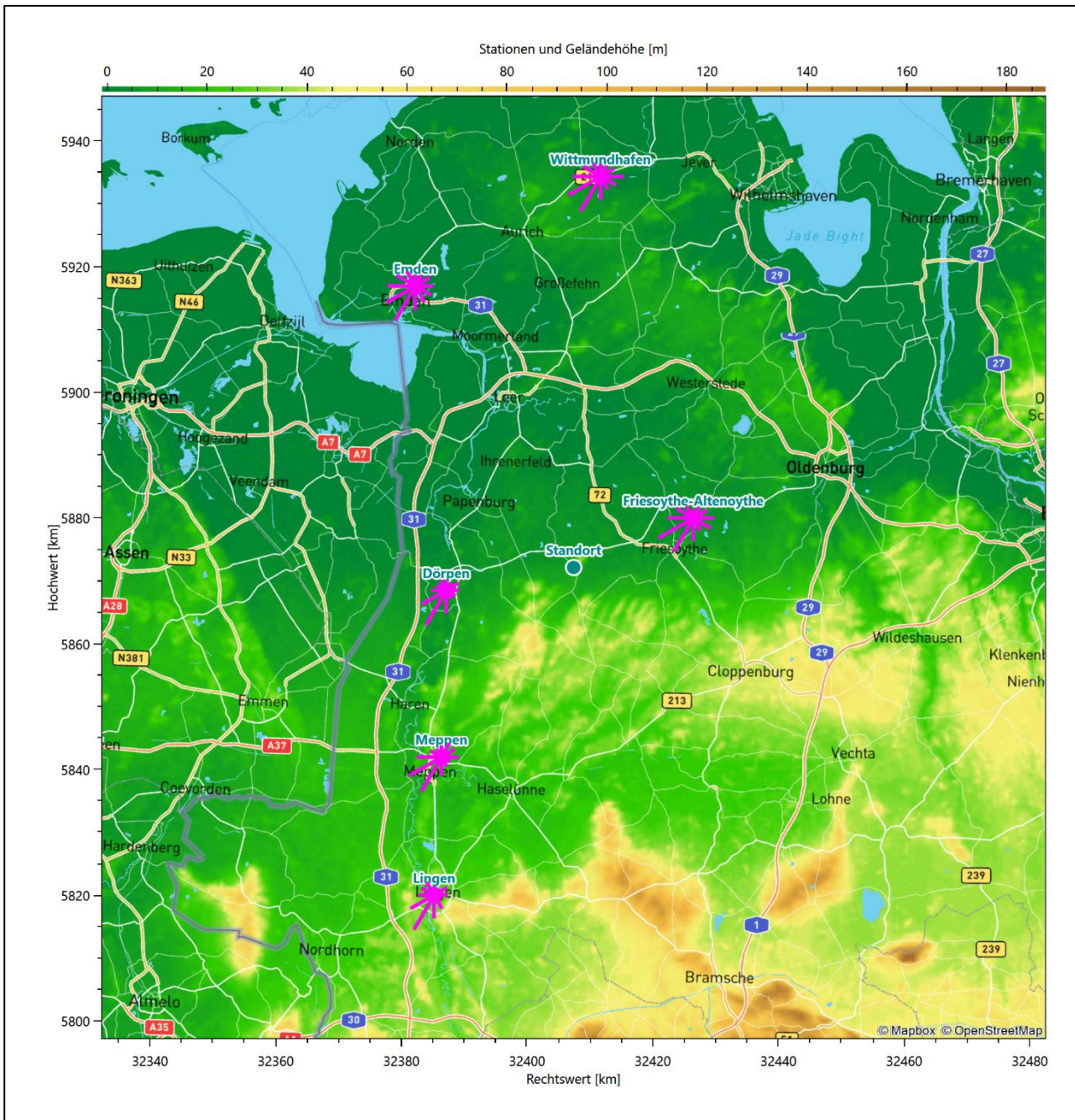
Die Messwerte dieser Stationen sind seit dem 1. Juli 2014 im Rahmen der Grundversorgung für die Allgemeinheit frei zugänglich. Für weitere Messstationen, auch die von anderen Anbietern meteorologischer Daten, liegt derzeit noch keine abschließende Bewertung vor, inwieweit die Qualitätsanforderungen der VDI-Richtlinie 3783 Blatt 21 [4] erfüllt werden. Deshalb werden sie im vorliegenden Fall zunächst nicht berücksichtigt.

Die folgende Tabelle gibt wichtige Daten der betrachteten Stationen an.

**Tabelle 3: Zur Untersuchung verwendete Messstationen**

Station	Kennung	Entfernung [km]	Geberhöhe [m]	geogr. Länge [°]	geogr. Breite [°]	Höhe über NHN [m]	Beginn der Datenbasis	Ende der Datenbasis
Friesoythe-Altenoythe	1503	21	10,0	7,9022	53,0643	6	01.10.2012	01.01.2022
Dörpen	6159	21	10,0	7,3196	52,9542	8	01.01.2012	01.01.2022
Meppen	3254	37	10,0	7,3176	52,7156	19	01.01.2012	29.12.2021
Emden	5839	51	9,7	7,2287	53,3881	0	01.01.2012	01.01.2022
Lingen	3023	57	15,0	7,3081	52,5181	22	01.01.2012	31.12.2019
Wittmundhafen	5640	62	10,0	7,6672	53,5504	8	01.01.2012	31.12.2021

Die folgende Abbildung stellt die Windrichtungsverteilung jeweils über den gesamten verwendeten Messzeitraum der Stationen dar.



**Abbildung 9: Windrichtungsverteilung der betrachteten Messstationen**

Die Richtungsverteilungen der sechs Bezugswindstationen lassen sich wie folgt charakterisieren:

Friesoythe-Altenoythe hat eine zwischen  $210^\circ$  und  $240^\circ$  verbreiterte Hauptwindrichtung, wobei das formale Hauptmaximum bei  $240^\circ$  aus West-Südwesten verortet ist. Die Verteilung folgt einer gekippten Südwest-Ost-Achse. Das Nebenmaximum liegt ebenfalls im Osten.

Dörpen hat das formale Hauptmaximum bei  $210^\circ$  aus Süd-Südwesten und folgt einer Achse nach Nord-Nordosten. Ein schwaches primäres Nebenmaximum erscheint aus Ost-Nordosten. Minimale Beiträge sind bei  $30^\circ$  und  $150^\circ$  zu erkennen.

Meppen hat sein formales Hauptmaximum bei 210° aus Süd-Südwest und noch starke Richtungsbeiträge aus 240°. Die Verteilung zeigt eine leicht „gebogene“ Südwest nach Ost-Nordost Achse mit ungefähre r Spiegel-symmetrie. Ein moderates Nebenmaximum kommt aus Ost. Eine leichte „Taillierung“ entsteht durch schwache Minima aus 120° und 330°.

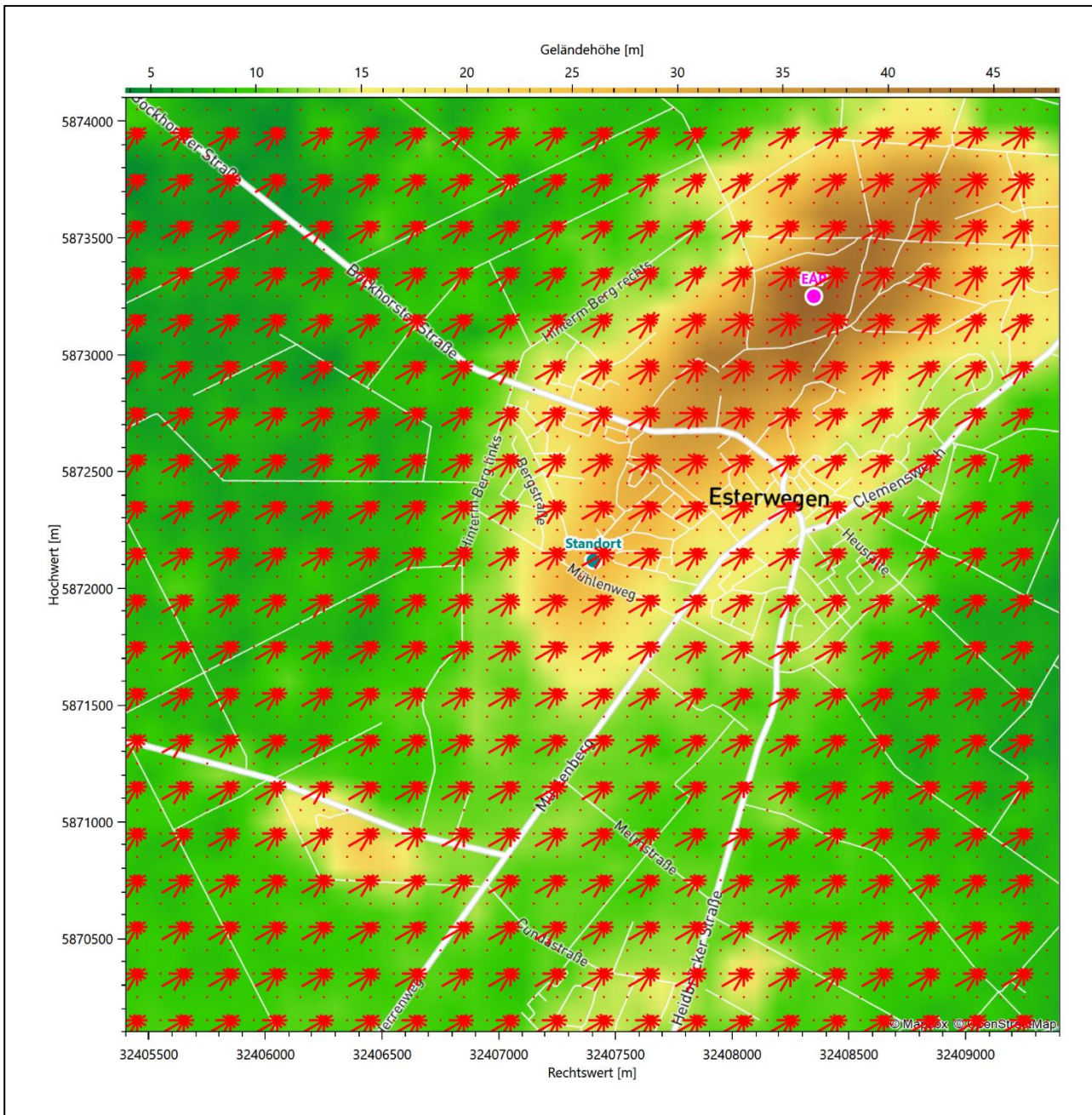
Emden hat sein formales Hauptmaximum ebenfalls bei 210° aus Süd-Südwest und folgt auch einer gebogenen Achse nach Ost. Das Nebenmaximum erstreckt sich breiter über östliche Richtungen. Zwei schwache Minima deuten sich aus 150°, bzw. 360° an.

Lingen hat ein scharf definiertes, formales Hauptmaximum bei 210° aus Süd-Südwesten. Verteilung folgt einer Süd-Südwest nach Nord-Nordost Achse. Zwei gleich intensive, aber nur moderate Nebenmaxima erscheinen aus 60° bzw. 330°.

Wittmundhafen hat sein formales Hauptmaximum bei 210° aus Süd-Südwest und folgt einer gebogenen Achse nach Ost, wo ein schärfer definiertes Nebenmaximum liegt. In schwaches Minimum erscheint aus 150°.

### 4.3 Erwartungswerte für Windrichtungsverteilung und Windgeschwindigkeitsverteilung am untersuchten Standort

Über die allgemeine Betrachtung in Abschnitt 4.1 hinausgehend wurde mit einer großräumigen prognostischen Windfeldmodellierung berechnet, wie sich Windrichtungsverteilung und Windgeschwindigkeitsverteilung am untersuchten Standort gestalten. Dazu wurde ein Modellgebiet gewählt, das den untersuchten Standort mit einem Radius von zehn Kilometern umschließt. Die Modellierung selbst erfolgte mit dem prognostischen Windfeldmodell GRAMM [3], die Antriebsdaten wurden aus den REA6-Reanalysedaten des Deutschen Wetterdienstes [5] gewonnen. Abweichend vom sonst üblichen Ansatz einer einheitlichen Rauigkeitslänge für das gesamte Modellgebiet (so gefordert von der TA Luft im Kontext von Ausbreitungsrechnungen nach Anhang 3) wurde hier eine örtlich variable Rauigkeitslänge angesetzt, um die veränderliche Landnutzung im großen Rechengebiet möglichst realistisch zu modellieren. Die folgende Abbildung zeigt die orts aufgelösten Windrichtungsverteilungen, die für das Untersuchungsgebiet ermittelt wurden.



**Abbildung 10: Prognostisch modellierte Windrichtungsverteilungen im Untersuchungsgebiet**

Mit den modellierten Windfeldern wurden die erwarteten Windrichtungs- und Windgeschwindigkeitsverteilungen an der Ersatzanemometerposition in einer Höhe von 13,9 m berechnet. Die Verteilungen sind in den folgenden Abbildungen dargestellt.

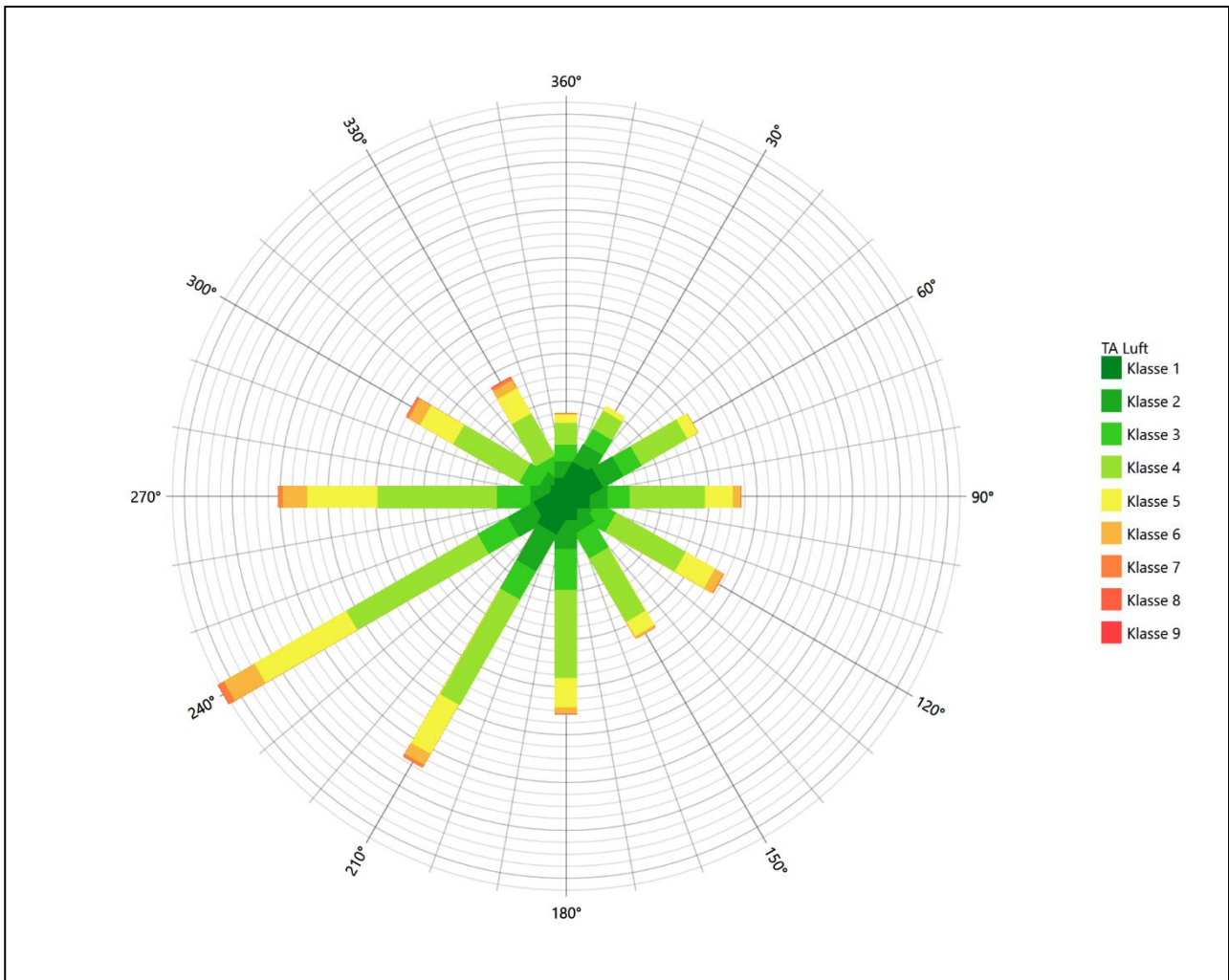
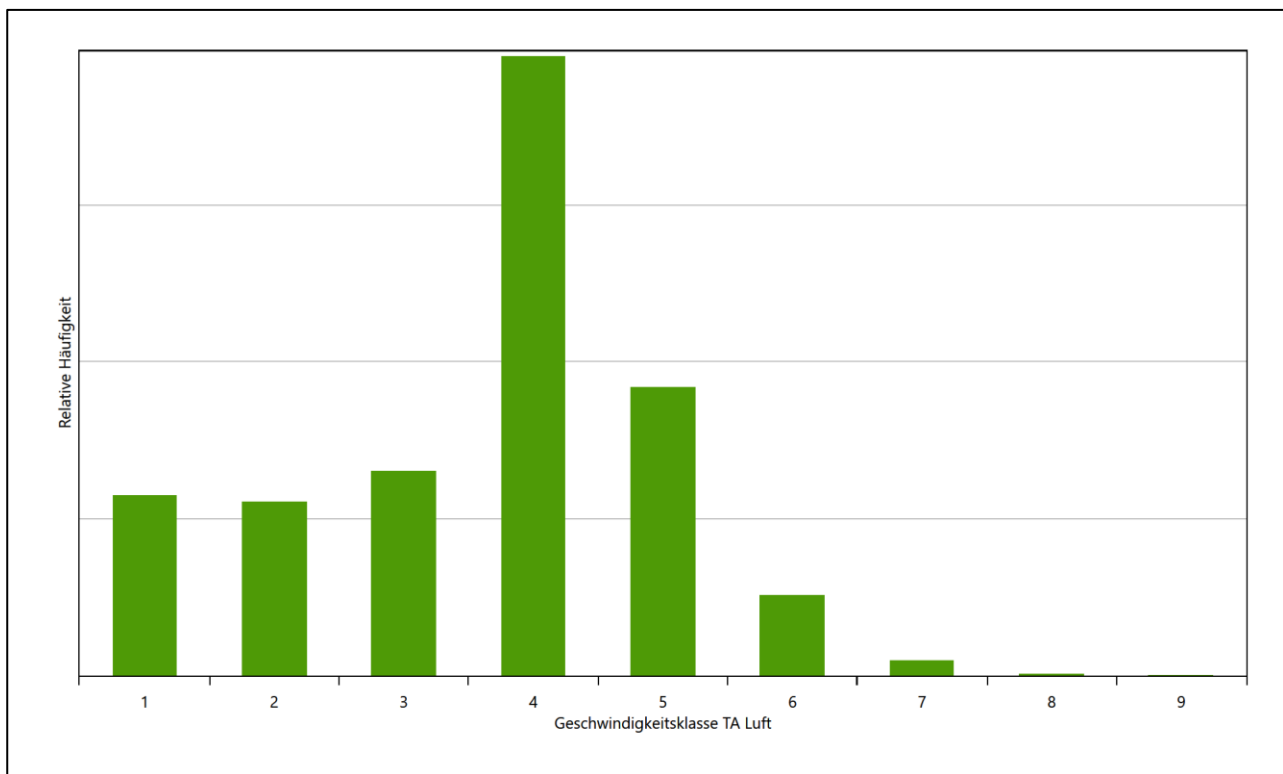


Abbildung 11: Prognostisch modellierte Windrichtungsverteilung für die Ersatzanemometerposition



**Abbildung 12: Prognostisch modellierte Windgeschwindigkeitsverteilung für die Ersatzanemometerposition**

Als Durchschnittsgeschwindigkeit ergibt sich der Wert 3,02 m/s.

Für das Gebiet um die EAP wurde in Anlehnung an VDI-Richtlinie 3783 Blatt 8 [6] eine aerodynamisch wirkungsvolle Rauigkeitslänge ermittelt. Dabei wurde die Rauigkeit für die in VDI-Richtlinie 3783 Blatt 8 (Tabelle 3) tabellierten Werte anhand der Flächennutzung sektorenweise in Entfernungsabständen von 100 m bis zu einer Maximalentfernung von 3000 m bestimmt und mit der Windrichtungshäufigkeit für diesen Sektor (10° Breite) gewichtet gemittelt. Dabei ergab sich ein Wert von 0,65 m.

Es ist zu beachten, dass dieser Wert hier nur für den Vergleich von Windgeschwindigkeitsverteilungen benötigt wird und nicht dem Parameter entspricht, der als Bodenrauigkeit für eine Ausbreitungsrechnung anzuwenden ist. Für letzteren gelten die Maßgaben der TA Luft, Anhang 3, Ziffer 5.

Um die Windgeschwindigkeiten für die EAP und die betrachteten Bezugswindstationen vergleichen zu können, sind diese auf eine einheitliche Höhe über Grund und eine einheitliche Bodenrauigkeit umzurechnen. Dies geschieht mit einem Algorithmus, der in der VDI-Richtlinie 3783 Blatt 8 [6] veröffentlicht wurde. Als einheitliche Rauigkeitslänge bietet sich der tatsächliche Wert im Umfeld der EAP an, hier 0,65 m. Als einheitliche Referenzhöhe sollte nach VDI-Richtlinie 3783 Blatt 20 [7] ein Wert Anwendung finden, der weit genug über Grund und über der Verdrängungshöhe (im Allgemeinen das Sechsfache der Bodenrauigkeit) liegt. Hier wurde ein Wert von 13,9 m verwendet.

Neben der graphischen Darstellung oben führt die folgende Tabelle numerische Kenngrößen der Verteilungen für die Messstationen und die modellierten Erwartungswerte für die EAP auf.

**Tabelle 4: Gegenüberstellung meteorologischer Kennwerte der betrachteten Messstationen mit den Erwartungswerten am Standort**

Station	Richtungsmaximum [°]	mittlere Windgeschwindigkeit [m/s]	Schwachwindhäufigkeit [%]	Rauigkeitslänge [m]
EAP	240	3,02	4,9	0,645
Friesoythe-Altenoythe	240	3,05	7,7	0,040
Dörpen	210	2,80	8,8	0,104
Meppen	210	2,91	13,7	0,301
Emden	210	3,42	5,3	0,089
Lingen	210	2,58	9,2	0,511
Wittmundhafen	210	3,52	6,3	0,113

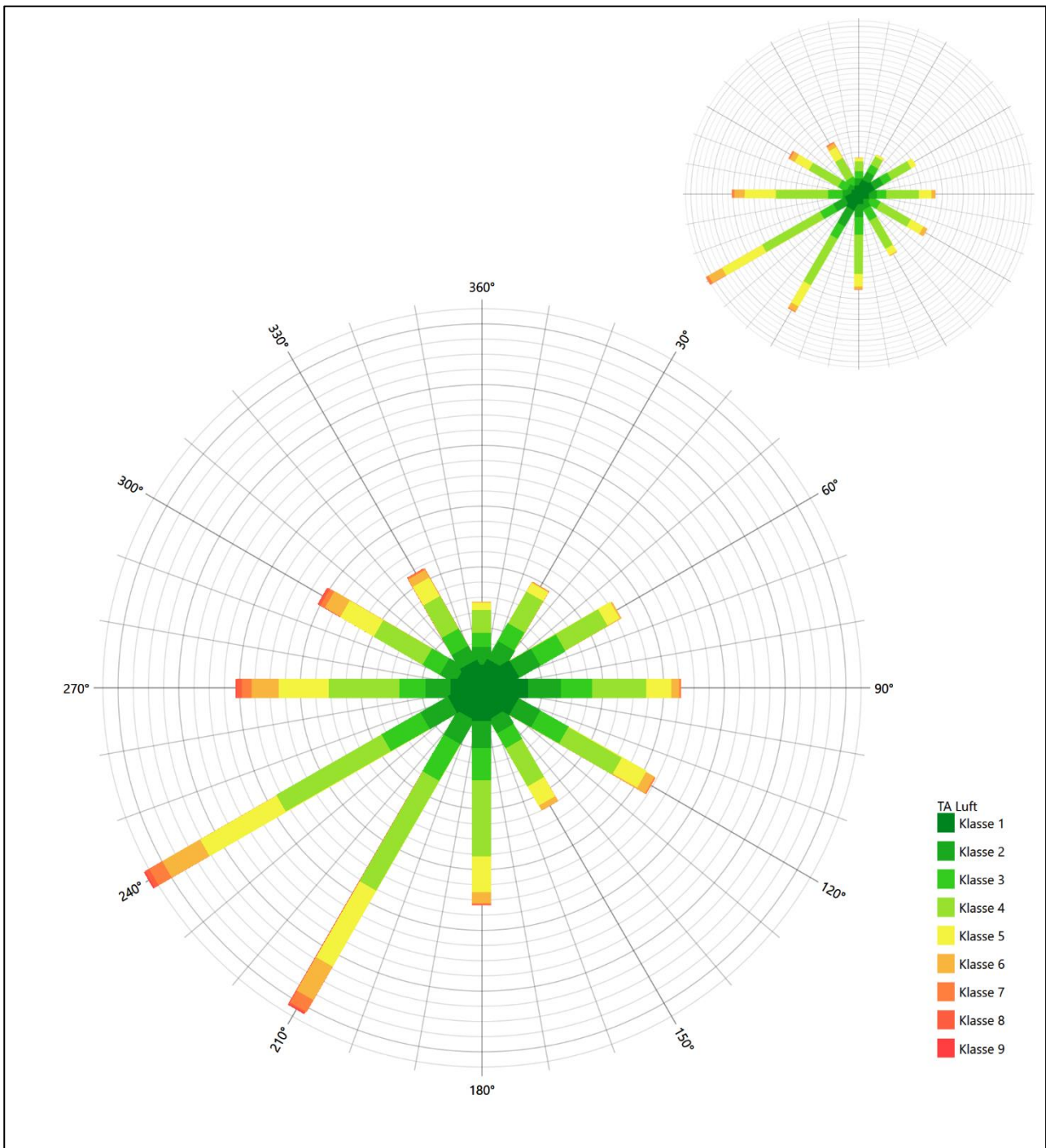
Die Lage des Richtungsmaximums ergibt sich aus der graphischen Darstellung. Für die mittlere Windgeschwindigkeit wurden die Messwerte der Stationen von der tatsächlichen Geberhöhe auf eine einheitliche Geberhöhe von 13,9 m über Grund sowie auf eine einheitliche Bodenrauigkeit von 0,65 m umgerechnet. Auch die Modellrechnung für die EAP bezog sich auf diese Höhe. Die Schwachwindhäufigkeit ergibt sich aus der Anzahl von (höhenkorrigierten bzw. berechneten) Geschwindigkeitswerten kleiner oder gleich 1,0 m/s.

Für das Gebiet um jede Bezugswindstation wurde in Anlehnung an VDI-Richtlinie 3783 Blatt 8 [6] eine aerodynamisch wirksame Rauigkeitslänge ermittelt. Die Ermittlung der Rauigkeit der Umgebung eines Standorts soll nach Möglichkeit auf der Basis von Windmessdaten durch Auswertung der mittleren Windgeschwindigkeit und der Schubspannungsgeschwindigkeit geschehen. An Stationen des Messnetzes des DWD und von anderen Anbietern (beispielsweise MeteoGroup) wird als Turbulenzinformation in der Regel jedoch nicht die Schubspannungsgeschwindigkeit, sondern die Standardabweichung der Windgeschwindigkeit in Strömungsrichtung bzw. die Maximalböe gemessen und archiviert. Ein Verfahren zur Ermittlung der effektiven aerodynamischen Rauigkeit hat der Deutsche Wetterdienst 2019 in einem Merkblatt [8] vorgestellt. Dieses Verfahren wird hier angewendet. Dabei ergeben sich die Werte, die in Tabelle 4 für jede Bezugswindstation angegeben sind.

#### 4.4 Vergleich der Windrichtungsverteilungen

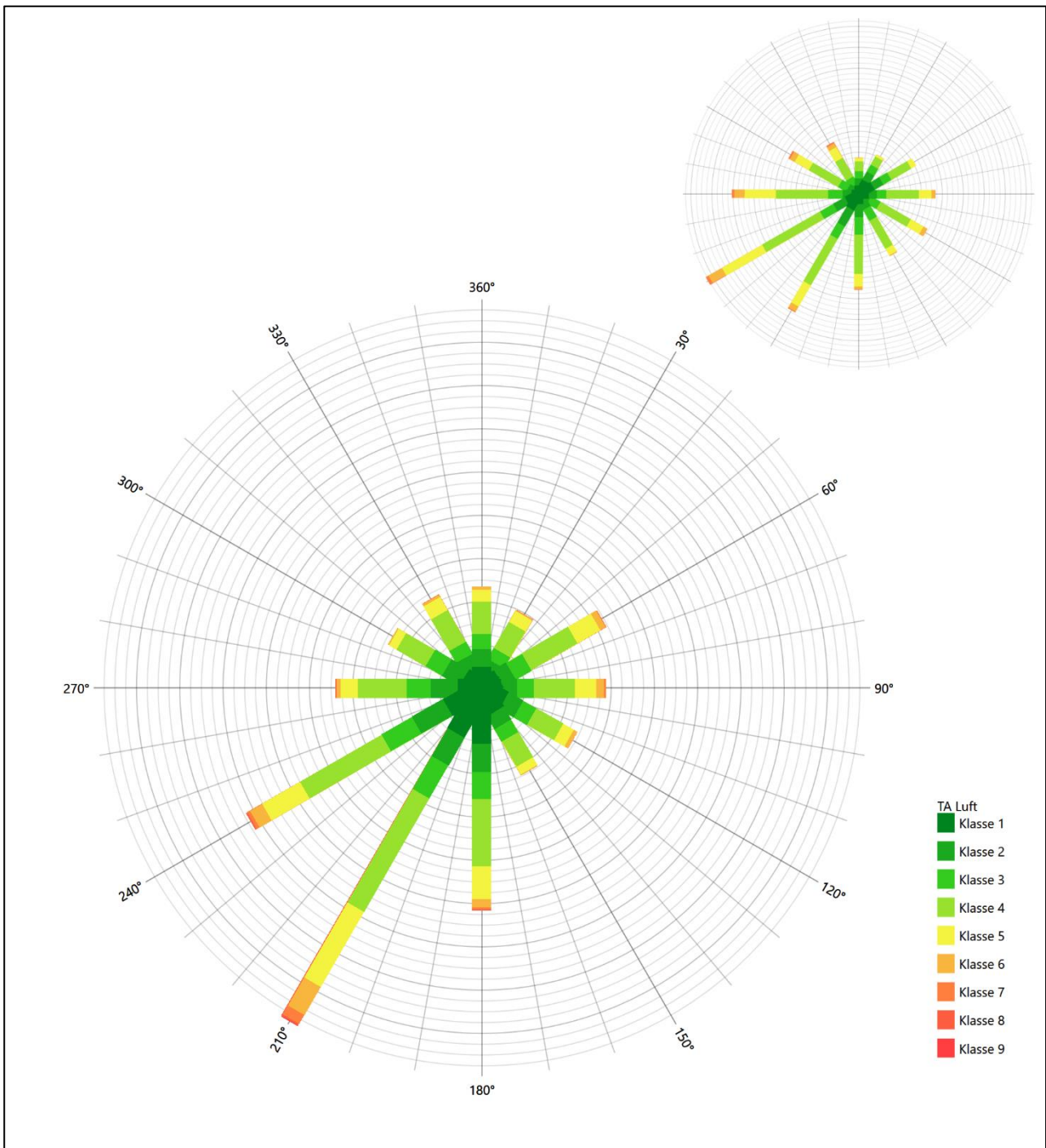
Der Vergleich der Windrichtungsverteilungen stellt nach VDI-Richtlinie 3783 Blatt 20 [7] das primäre Kriterium für die Fragestellung dar, ob die meteorologischen Daten einer Messstation auf den untersuchten Anlagenstandort für eine Ausbreitungsrechnung übertragbar sind.

Für die EAP liegt formal das Windrichtungsmaximum bei 240° aus Westsüdwest, wobei die Verteilung einer gekippten Achse von West-Südwest nach Osten folgt. Ein deutliches Nebenmaximum zeichnet sich aus östlicher Richtung ab. Das globale Minimum wird im Norden erwartet. Mit dieser Windrichtungsverteilung sind die einzelnen Bezugswindstationen zu vergleichen.



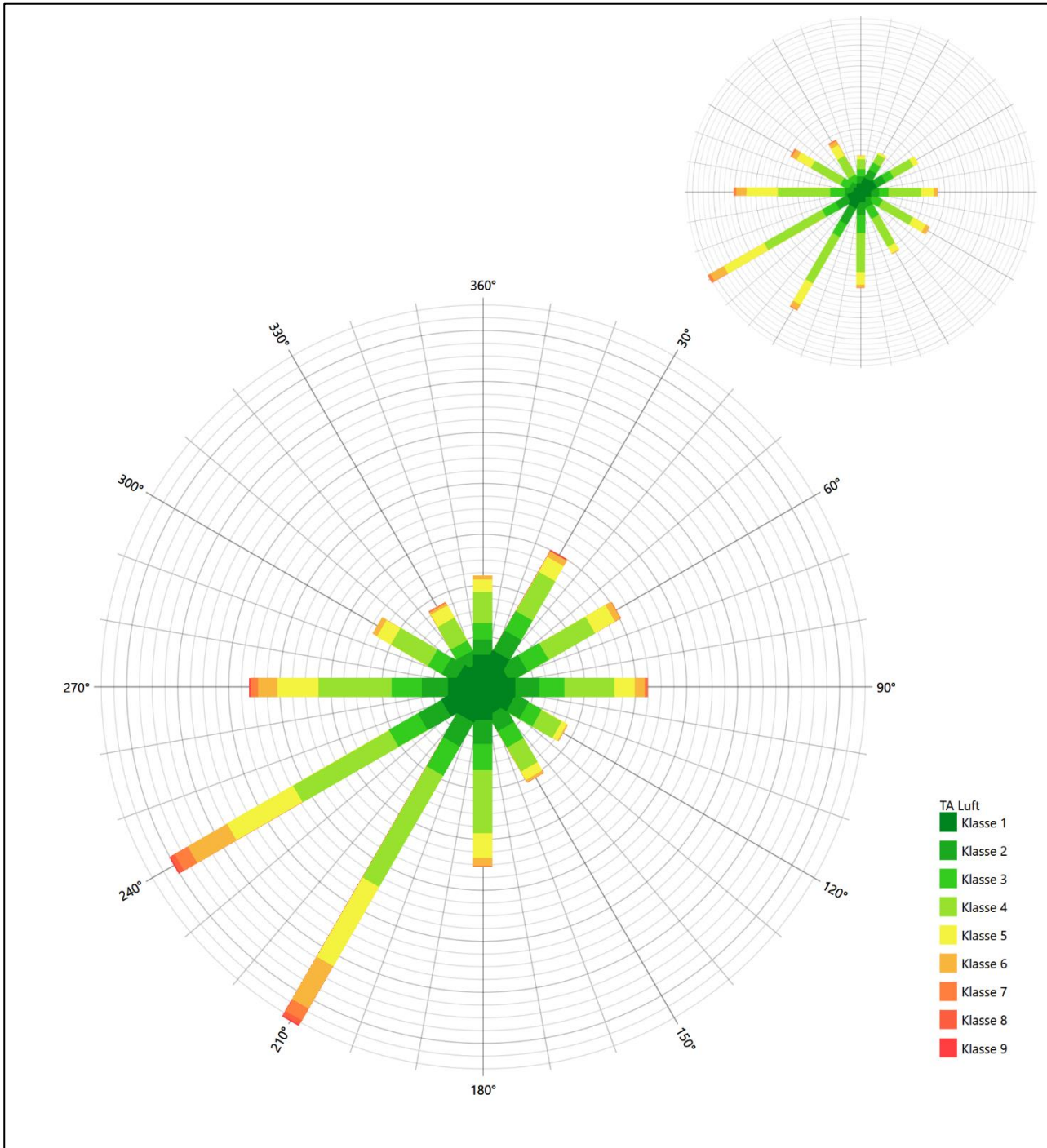
**Abbildung 13: Vergleich der Windrichtungsverteilung der Station Friesoythe-Altenoythe mit dem Erwartungswert**

Die Station Friesoythe-Altenoythe hat sowohl das formale Hauptmaximum bei 240° aus West-Südwesten als auch das östliche Nebenmaximum genau auf dem Erwartungswert an der EAP. Auch das nördliche Minimum findet sich. Die Hauptanströmung im südwestlichen Quadranten ist adäquat interpretiert. Hier liegt eine gute Eignung zur Übertragung vor.



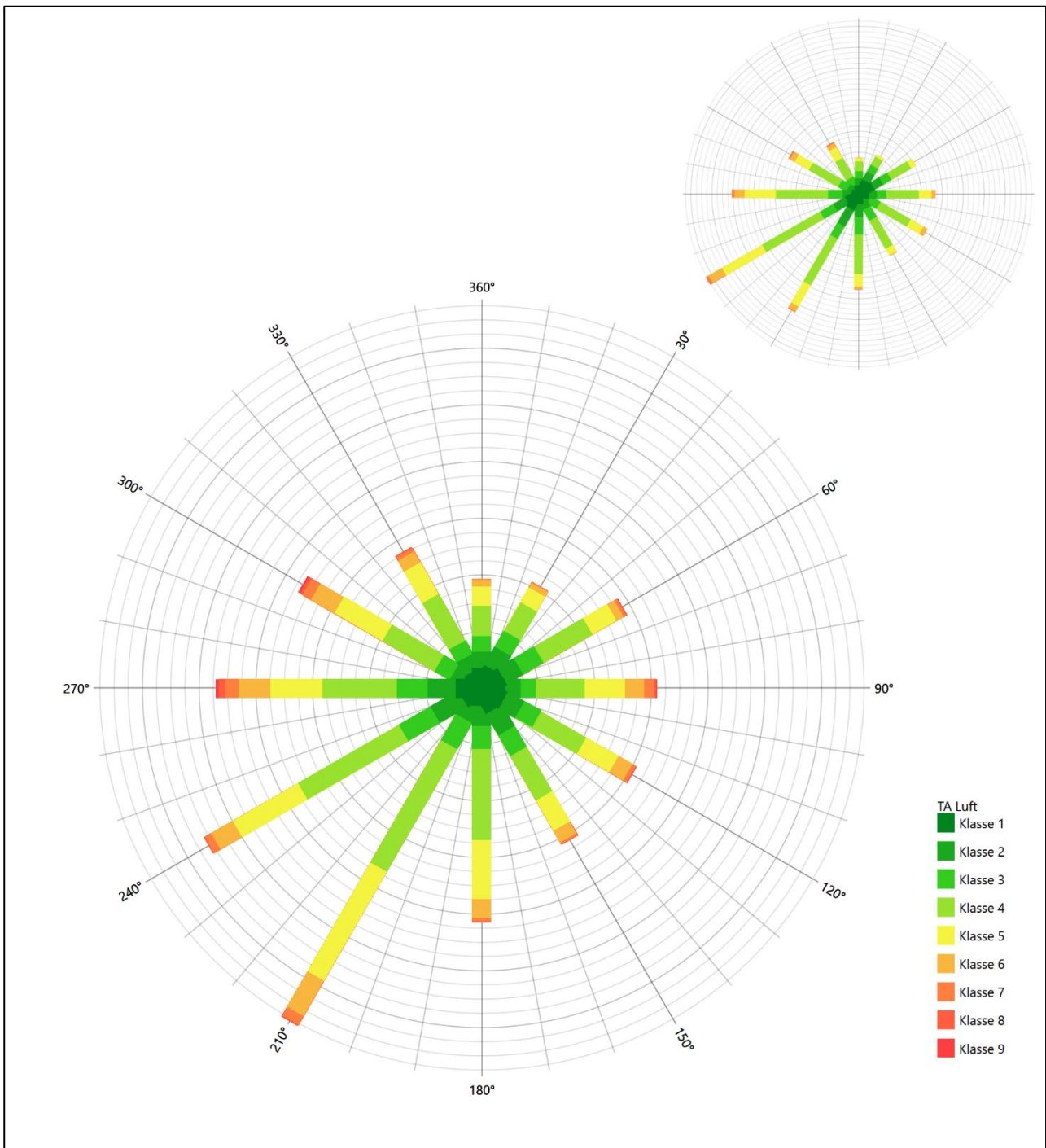
**Abbildung 14: Vergleich der Windrichtungsverteilung der Station Dörpen mit dem Erwartungswert**

Die Station Dörpen hat sowohl das formale Hauptmaximum bei 210° aus Süd-Südwesten als auch das ost-nordöstliche Nebenmaximum in benachbarten 30°-Richtungssektoren zum Erwartungswert an der EAP. Hier liegt eine ausreichende Eignung zur Übertragung vor.



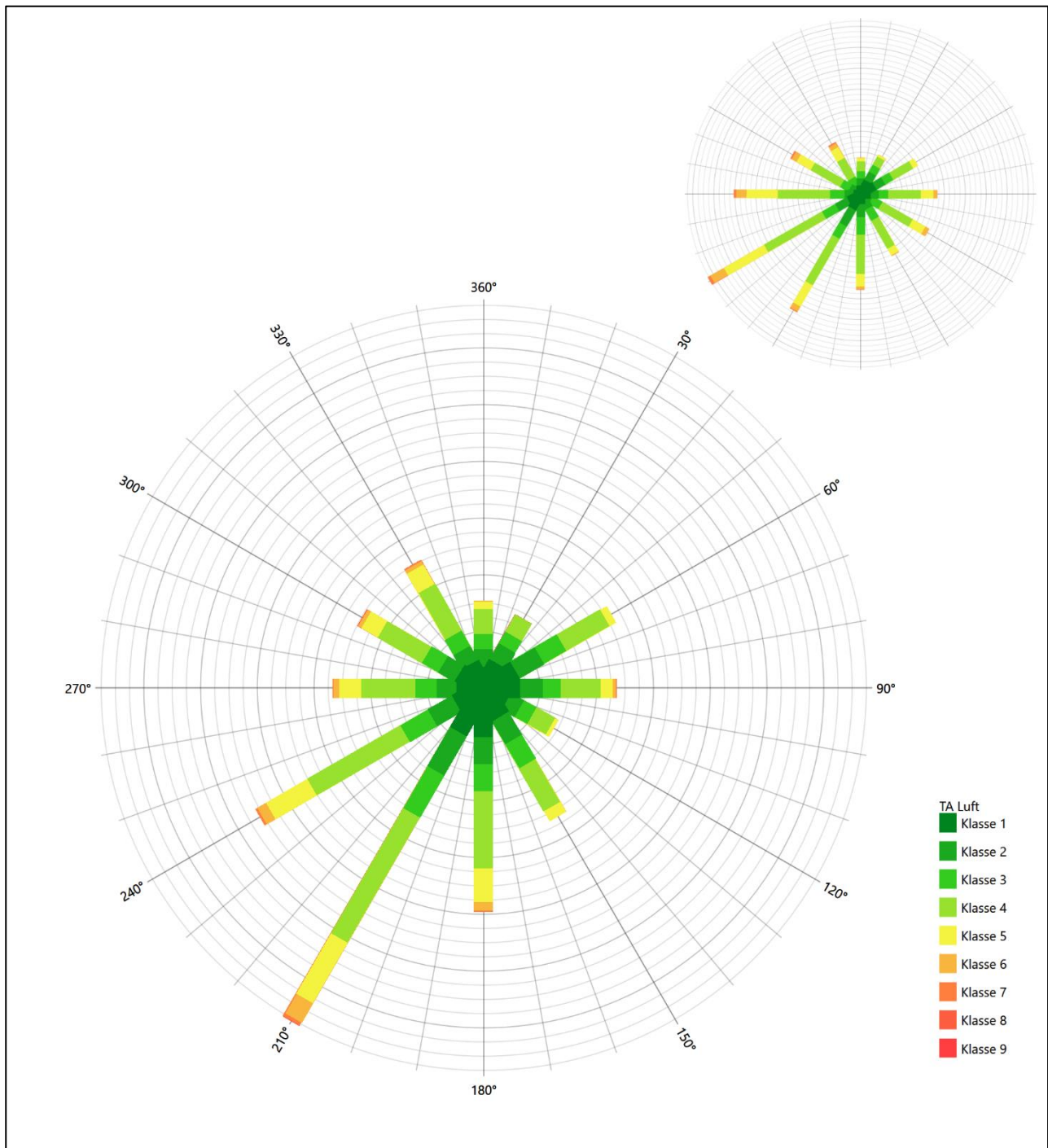
**Abbildung 15: Vergleich der Windrichtungsverteilung der Station Meppen mit dem Erwartungswert**

Die Station Meppen hat das formale Hauptmaximum bei 210° aus Süd-Südwesten noch in benachbarten 30°-Richtungssektoren zum Erwartungswert an der EAP. Das östliche Nebenmaximum ist genau getroffen. Da bei 240° ein noch starker Richtungswert vorliegt ist die Hauptanströmung doch wiedergegeben. Hier liegt mindestens eine befriedigende Eignung zur Übertragung vor.



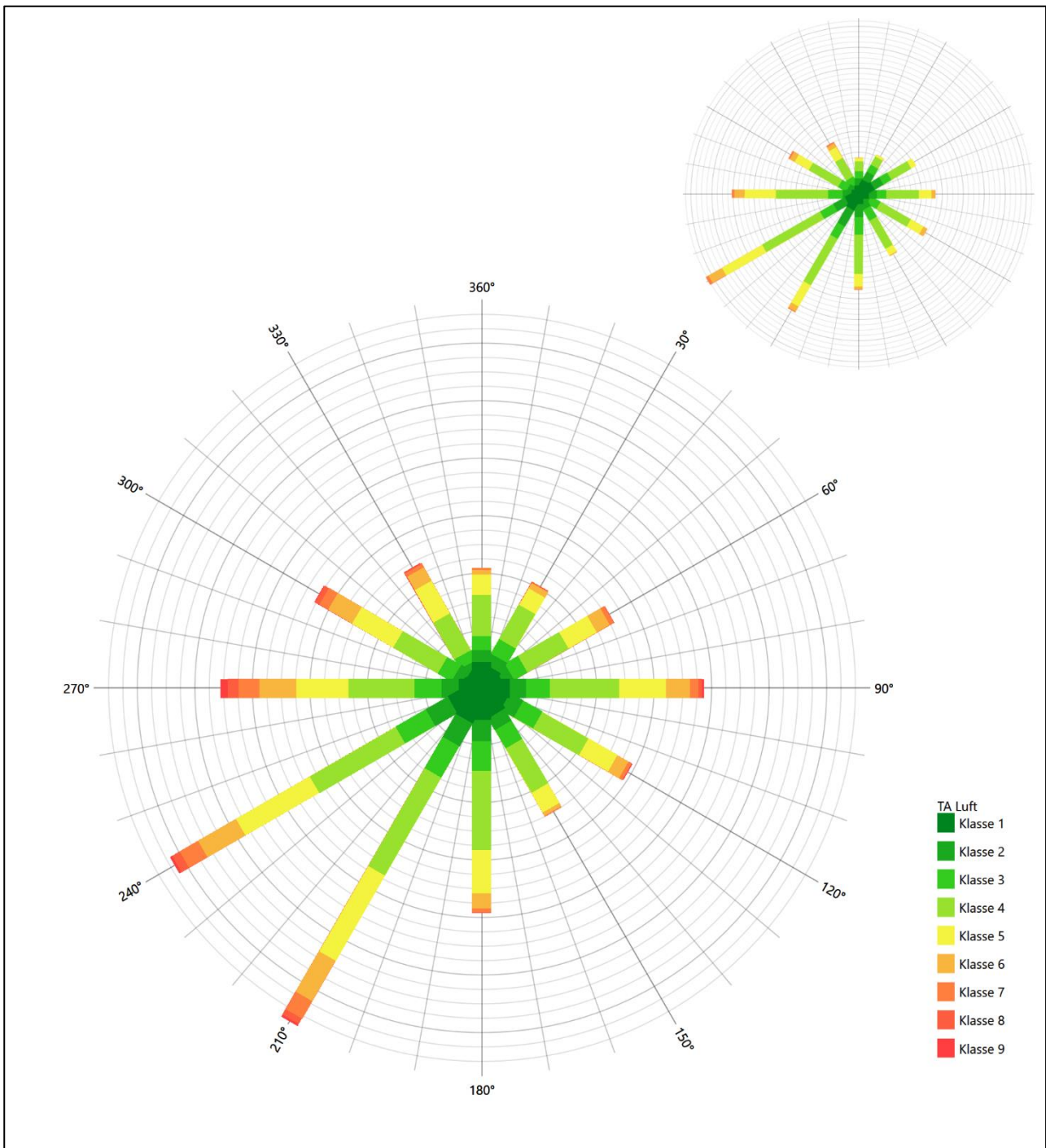
**Abbildung 16: Vergleich der Windrichtungsverteilung der Station Emden mit dem Erwartungswert**

Die Station Emden hat das formale Hauptmaximum bei 210° aus Süd-Südwesten noch im benachbarten 30°-Richtungssektor zum Erwartungswert an der EAP. Das östliche Nebenmaximum hebt sich auch schwach hervor. Die Station eignet sich ausreichend zur Übertragung.



**Abbildung 17: Vergleich der Windrichtungsverteilung der Station Lingen mit dem Erwartungswert**

Die Station Lingen hat sowohl das formale Hauptmaximum bei 210° aus Süd-Südwesten als auch das ost-nordöstliche Nebenmaximum in benachbarten 30°-Richtungssektoren zum Erwartungswert an der EAP. Hier liegt ebenfalls eine ausreichende Eignung zur Übertragung vor.



**Abbildung 18: Vergleich der Windrichtungsverteilung der Station Wittmundhafen mit dem Erwartungswert**

Die Station Wittmundhafen hat das formale Hauptmaximum bei 210° aus Süd-Südwesten noch in benachbarten 30°-Richtungssektoren zum Erwartungswert an der EAP. Das östliche Nebenmaximum ist genau getroffen. Da bei 240° ein noch starker Richtungswert vorliegt ist die Hauptanströmung jedoch dargestellt. Hier liegt mindestens eine befriedigende Eignung zur Übertragung vor.

Somit ist aus Sicht der Windrichtungsverteilung die Station Friesoythe-Altenoythe) gut für eine Übertragung geeignet. Meppen und Wittmundhafen stimmen noch befriedigend mit der EAP überein, Dörpen, Lingen und Emden noch ausreichend.

Diese Bewertung orientiert sich an den Kriterien der VDI-Richtlinie 3783 Blatt 20 [7]. Dies ist in der folgenden Tabelle als Rangliste dargestellt. Eine Kennung von „++++“ entspricht dabei einer guten Übereinstimmung, eine Kennung von „+++“ einer befriedigenden, eine Kennung von „++“ einer ausreichenden Übereinstimmung. Die Kennung „-“ wird vergeben, wenn keine Übereinstimmung besteht und die Bezugswindstation nicht zur Übertragung geeignet ist.

**Tabelle 5: Rangliste der Bezugswindstationen hinsichtlich ihrer Windrichtungsverteilung**

Bezugswindstation	Bewertung in Rangliste
Friesoythe-Altenoythe	++++
Meppen	+++
Wittmundhafen	+++
Dörpen	++
Lingen	++
Emden	++

## 4.5 Vergleich der Windgeschwindigkeitsverteilungen

Der Vergleich der Windgeschwindigkeitsverteilungen stellt ein weiteres Kriterium für die Fragestellung dar, ob die meteorologischen Daten einer Messstation auf den untersuchten Anlagenstandort für eine Ausbreitungsrechnung übertragbar sind. Als wichtigster Kennwert der Windgeschwindigkeitsverteilung wird hier die mittlere Windgeschwindigkeit betrachtet. Auch die Schwachwindhäufigkeit (Anteil von Windgeschwindigkeiten unter 1,0 m/s) kann für weitergehende Untersuchungen herangezogen werden.

Einen Erwartungswert für die mittlere Geschwindigkeit an der EAP liefert das hier verwendete prognostische Modell. In der Referenzhöhe 13,9 m werden an der EAP 3,02 m/s erwartet.

Als beste Schätzung der mittleren Windgeschwindigkeit an der EAP wird im Weiteren der gerundete Wert 3,0 m/s zu Grunde gelegt.

Dem kommen die Werte von Friesoythe-Altenoythe, Dörpen, Meppen, Emden, Lingen und Wittmundhafen mit 3,1 m/s, 2,8 m/s, 2,9 m/s, 3,4 m/s, 2,6 m/s bzw. 3,5 m/s (auch wieder bezogen auf 13,9 m Höhe und die EAP-Rauigkeit von 0,65 m) sehr nahe. Sie zeigen eine Abweichung von nicht mehr als  $\pm 0,5$  m/s, was eine gute Übereinstimmung bedeutet.

In einem Toleranzbereich von  $\pm 1,0$  m/s, was noch eine ausreichende Übereinstimmung darstellte, liegt keine der Stationen.

Aus Sicht der Windgeschwindigkeitsverteilung sind also Friesoythe-Altenoythe, Dörpen, Meppen, Emden, Lingen und Wittmundhafen gut für eine Übertragung geeignet.

Diese Bewertung orientiert sich ebenfalls an den Kriterien der VDI-Richtlinie 3783 Blatt 20 [7]. Dies ist in der folgenden Tabelle als Rangliste dargestellt. Eine Kennung von „++“ entspricht dabei einer guten Übereinstimmung, eine Kennung von „+“ einer ausreichenden Übereinstimmung. Die Kennung „-“ wird vergeben, wenn keine Übereinstimmung besteht und die Bezugswindstation nicht zur Übertragung geeignet ist.

**Tabelle 6: Rangliste der Bezugswindstationen hinsichtlich ihrer Windgeschwindigkeitsverteilung**

Bezugswindstation	Bewertung in Rangliste
Friesoythe-Altenoythe	++
Dörpen	++
Meppen	++
Emden	++
Lingen	++
Wittmundhafen	++

## 4.6 Auswahl der Bezugswindstation

Fasst man die Ergebnisse der Ranglisten von Windrichtungsverteilung und Windgeschwindigkeitsverteilung zusammen, so ergibt sich folgende resultierende Rangliste.

**Tabelle 7: Resultierende Rangliste der Bezugswindstationen**

Bezugswindstation	Bewertung gesamt	Bewertung Richtungsverteilung	Bewertung Geschwindigkeitsverteilung
Friesoythe-Altenoythe	+++++	++++	++
Meppen	++++	+++	++
Wittmundhafen	++++	+++	++
Dörpen	++++	++	++
Lingen	++++	++	++
Emden	++++	++	++

In der zweiten Spalte ist eine Gesamtbewertung dargestellt, die sich als Zusammenfassung der Kennungen von Richtungsverteilung und Geschwindigkeitsverteilung ergibt. Der Sachverhalt, dass die Übereinstimmung der Windrichtungsverteilung das primäre Kriterium darstellt, wird darüber berücksichtigt, dass bei der Bewertung der Richtungsverteilung maximal die Kennung „++++“ erreicht werden kann, bei der Geschwindigkeitsverteilung maximal die Kennung „++“. Wird für eine Bezugswindstation die Kennung „-“ vergeben (Übertragbarkeit nicht gegeben), so ist auch die resultierende Gesamtbewertung mit „-“ angegeben.

In der Aufstellung ist zu erkennen, dass für Friesoythe-Altenoythe die beste Eignung für eine Übertragung befunden wurde. Friesoythe-Altenoythe ist zudem die räumlich nächst liegende Bezugswindstation und liegt in orografisch vergleichbarem Terrain. Es sind darüber hinaus auch keine weiteren Kriterien bekannt, die einer Eignung dieser Station entgegenstehen könnten.

Friesoythe-Altenoythe wird demzufolge für eine Übertragung ausgewählt.

## 5 Beschreibung der ausgewählten Wetterstation

Die zur Übertragung ausgewählte Station Friesoythe-Altenoythe befindet sich nord-nordöstlich der Ortschaft Altenoythe, einem Ortsteil der Gemeinde Friesoythe. Die Lage der Station in Niedersachsen ist aus der folgenden Abbildung ersichtlich.



**Abbildung 19: Lage der ausgewählten Station**

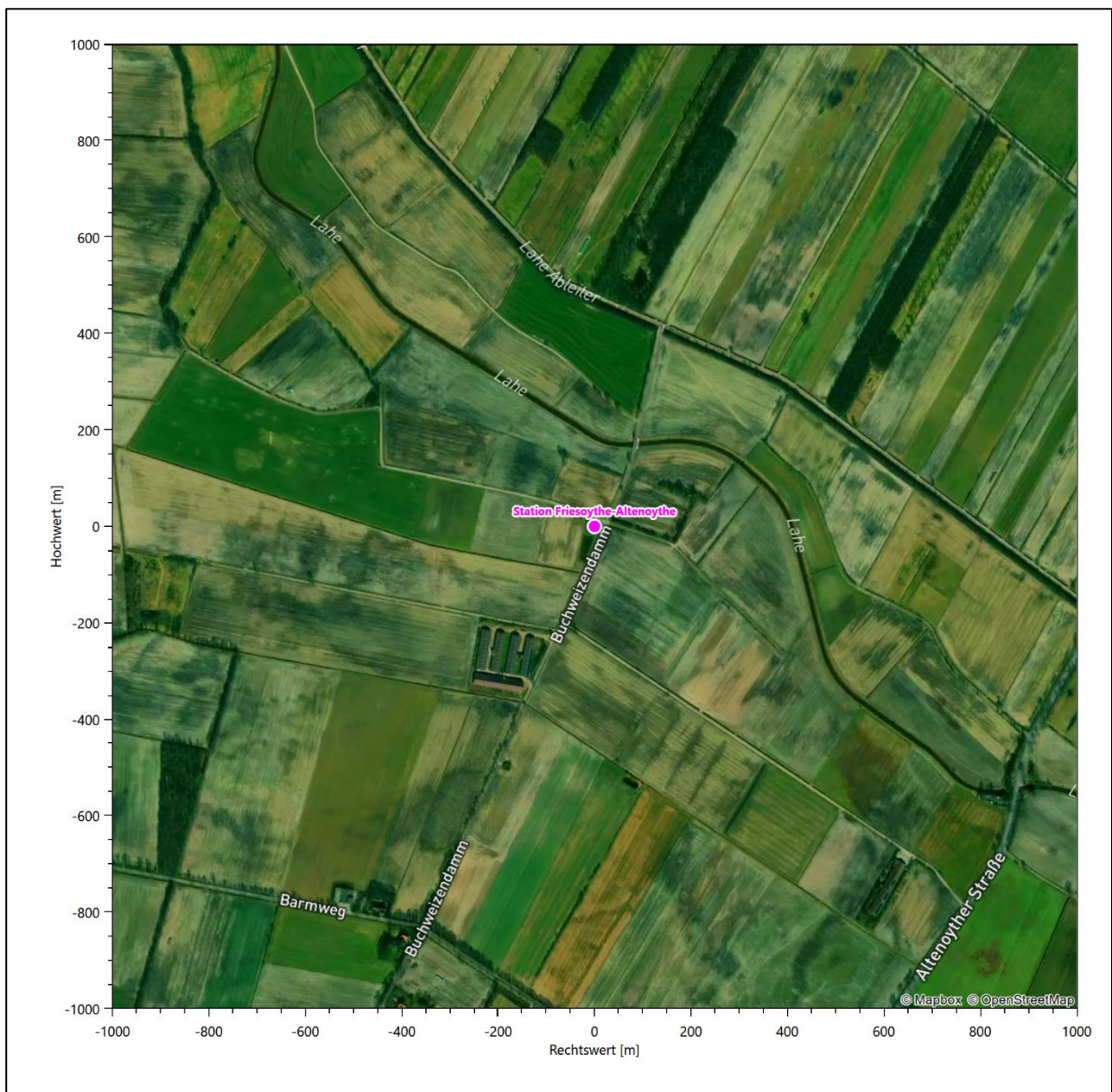
In der folgenden Tabelle sind die Koordinaten der Wetterstation angegeben. Sie liegt 6 m über NHN. Der Windgeber war während des hier untersuchten Zeitraumes in einer Höhe von 10 m angebracht.

**Tabelle 8: Koordinaten der Wetterstation**

Geographische Länge:	7,902°
Geographische Breite:	53,0643°

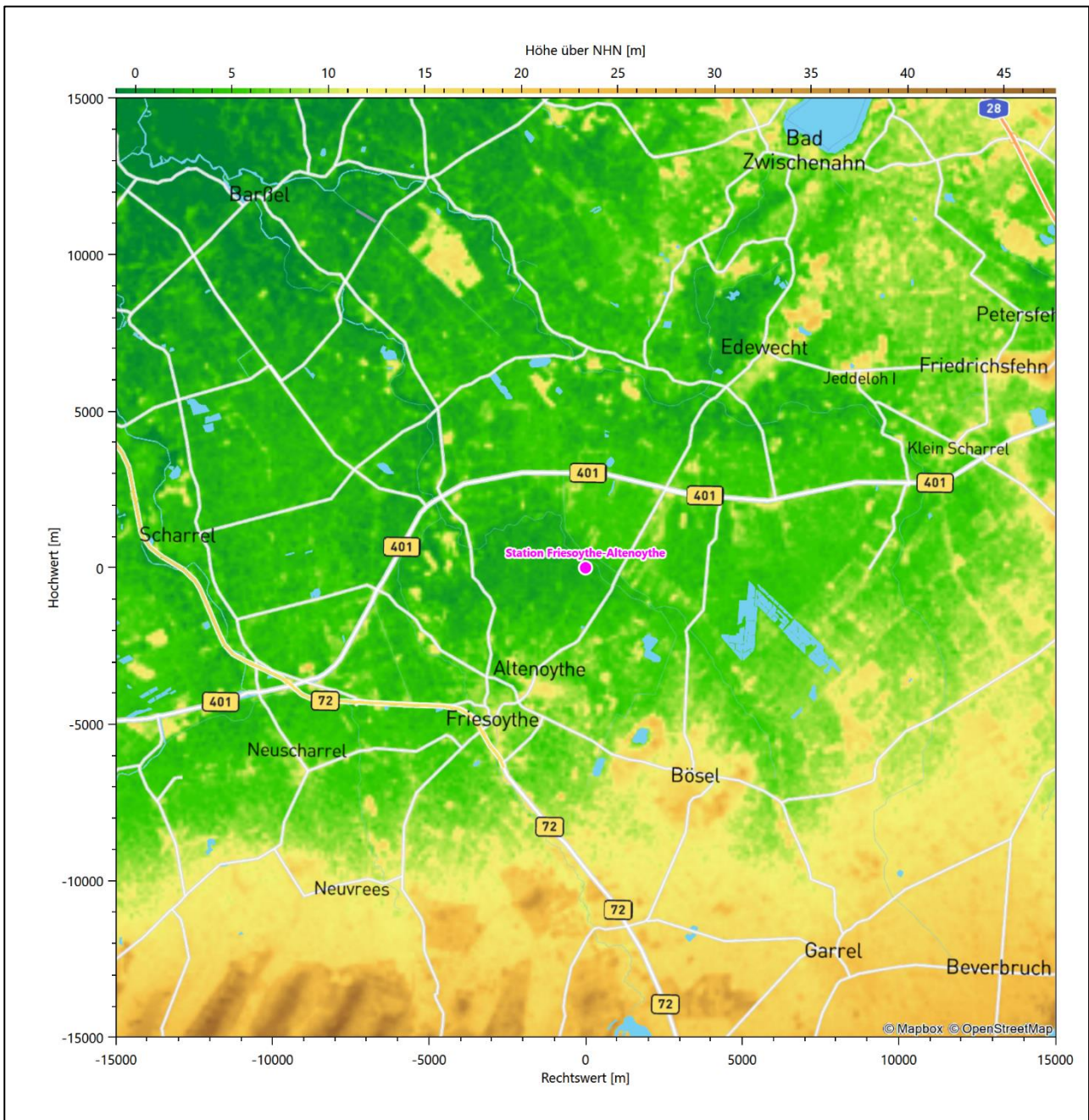
Die Umgebung der Station ist durch eine im Wesentlichen landwirtschaftliche Landnutzung geprägt. Landwirtschaftliche Flächen wechseln sich mit unterschiedlich dicht bebauten Siedlungsgebieten ab.

Das folgende Luftbild verschafft einen detaillierten Überblick über die Nutzung um die Wetterstation.



**Abbildung 20: Luftbild mit der Umgebung der Messstation**

Orographisch ist das Gelände, auch im weiteren Umkreis, nur sehr schwach gegliedert. Es ist von allen Richtungen eine ungestörte Anströmung möglich. Friesoythe-Altenoythe liegt in der östlichen Hunte-Leda-Moor-niederung und nördlich des Hümmling. Der Hümmling ist eine Grundmoränenlandschaft (Geest) des Norddeutschen Tieflandes.



**Abbildung 21: Orographie um den Standort der Wetterstation**

## 6 Bestimmung eines repräsentativen Jahres

Neben der räumlichen Repräsentanz der meteorologischen Daten ist auch die zeitliche Repräsentanz zu prüfen. Bei Verwendung einer Jahreszeitreihe der meteorologischen Daten muss das berücksichtigte Jahr für den Anlagenstandort repräsentativ sein. Dies bedeutet, dass aus einer hinreichend langen, homogenen Zeitreihe (nach Möglichkeit 10 Jahre, mindestens jedoch 5 Jahre) das Jahr ausgewählt wird, das dem langen Zeitraum bezüglich der Windrichtungs-, Windgeschwindigkeits- und Stabilitätsverteilung am ehesten entspricht.

Im vorliegenden Fall geschieht die Ermittlung eines repräsentativen Jahres in Anlehnung an das Verfahren AKJahr, das vom Deutschen Wetterdienst verwendet und in der VDI-Richtlinie 3783 Blatt 20 [7] veröffentlicht wurde.

Bei diesem Auswahlverfahren handelt es sich um ein objektives Verfahren, bei dem die Auswahl des zu empfehlenden Jahres hauptsächlich auf der Basis der Resultate zweier statistischer Prüfverfahren geschieht. Die vorrangigen Prüfkriterien dabei sind Windrichtung und Windgeschwindigkeit, ebenfalls geprüft werden die Verteilungen von Ausbreitungsklassen und die Richtung von Nacht- und Schwachwinden. Die Auswahl des repräsentativen Jahres erfolgt dabei in mehreren aufeinander aufbauenden Schritten. Diese sind in den Abschnitten 6.1 bis 6.3 beschrieben.

### 6.1 Bewertung der vorliegenden Datenbasis und Auswahl eines geeigneten Zeitraums

Um durch äußere Einflüsse wie z. B. Standortverlegungen oder Messgerätewechsel hervorgerufene Unstetigkeiten innerhalb der betrachteten Datenbasis weitgehend auszuschließen, werden die Zeitreihen zunächst auf Homogenität geprüft. Dazu werden die Häufigkeitsverteilungen von Windrichtung, Windgeschwindigkeit und Ausbreitungsklasse herangezogen.

Für die Bewertung der Windrichtungsverteilung werden insgesamt 12 Sektoren mit einer Klassenbreite von je 30° gebildet. Es wird nun geprüft, ob bei einem oder mehreren Sektoren eine sprunghafte Änderung der relativen Häufigkeiten von einem Jahr zum anderen vorhanden ist. „Sprunghafte Änderung“ bedeutet dabei eine markante Änderung der Häufigkeiten, die die normale jährliche Schwankung deutlich überschreitet, und ein Verbleiben der Häufigkeiten auf dem neu erreichten Niveau über die nächsten Jahre. Ist dies der Fall, so wird im Allgemeinen von einer Inhomogenität ausgegangen und die zu verwendende Datenbasis entsprechend gekürzt.

Eine analoge Prüfung wird anhand der Windgeschwindigkeitsverteilung durchgeführt, wobei eine Aufteilung auf die Geschwindigkeitsklassen der TA Luft, Anhang 3, Tabelle 18 [9] erfolgt. Schließlich wird auch die Verteilung der Ausbreitungsklassen im zeitlichen Verlauf über den Gesamtzeitraum untersucht.

Die nachfolgenden Abbildungen zeigen den Test auf Homogenität für die ausgewählte Station über die letzten Jahre.

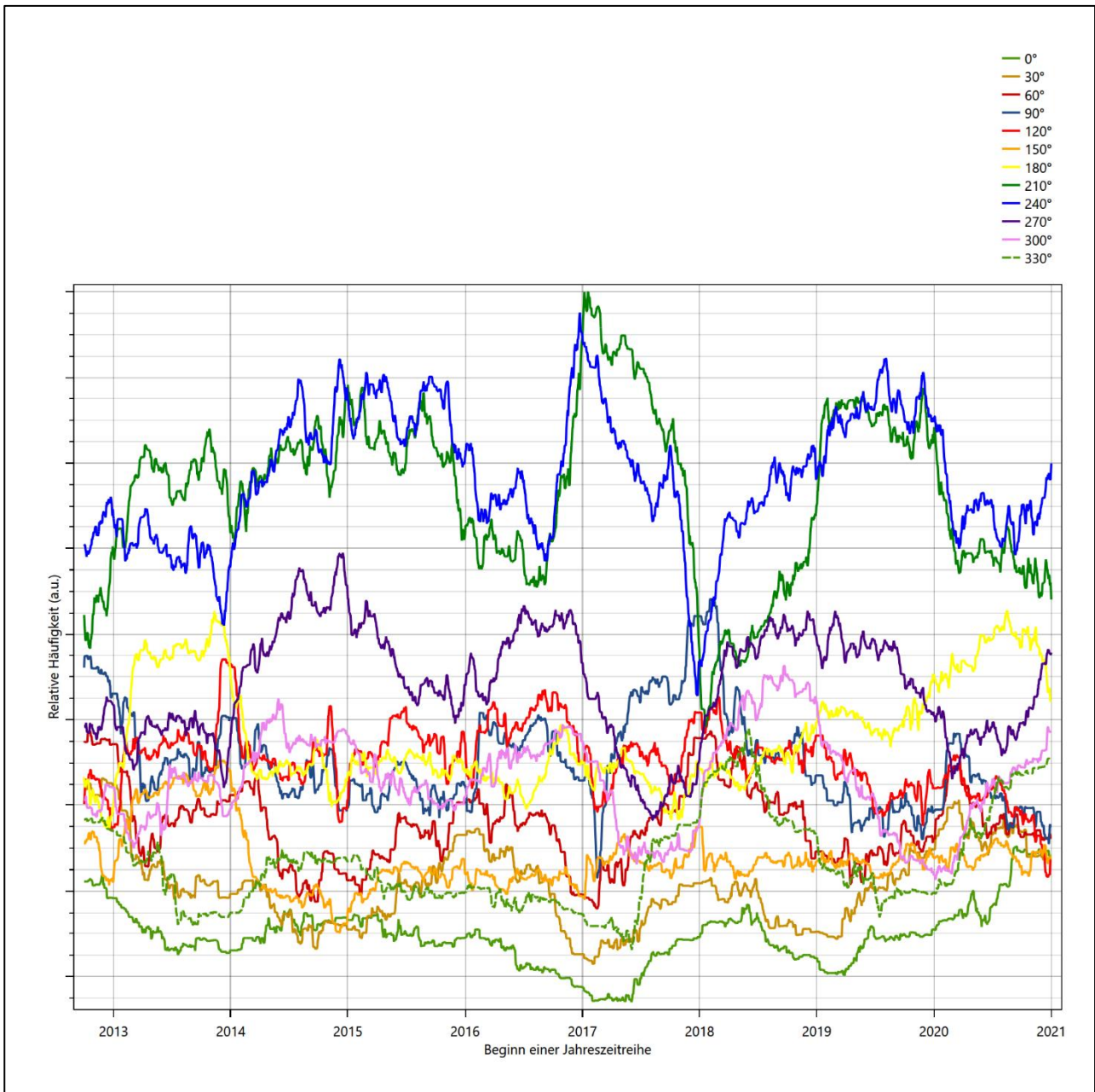


Abbildung 22: Prüfung auf vollständige und homogene Daten der Windmesstation anhand der Windrichtungsverteilung

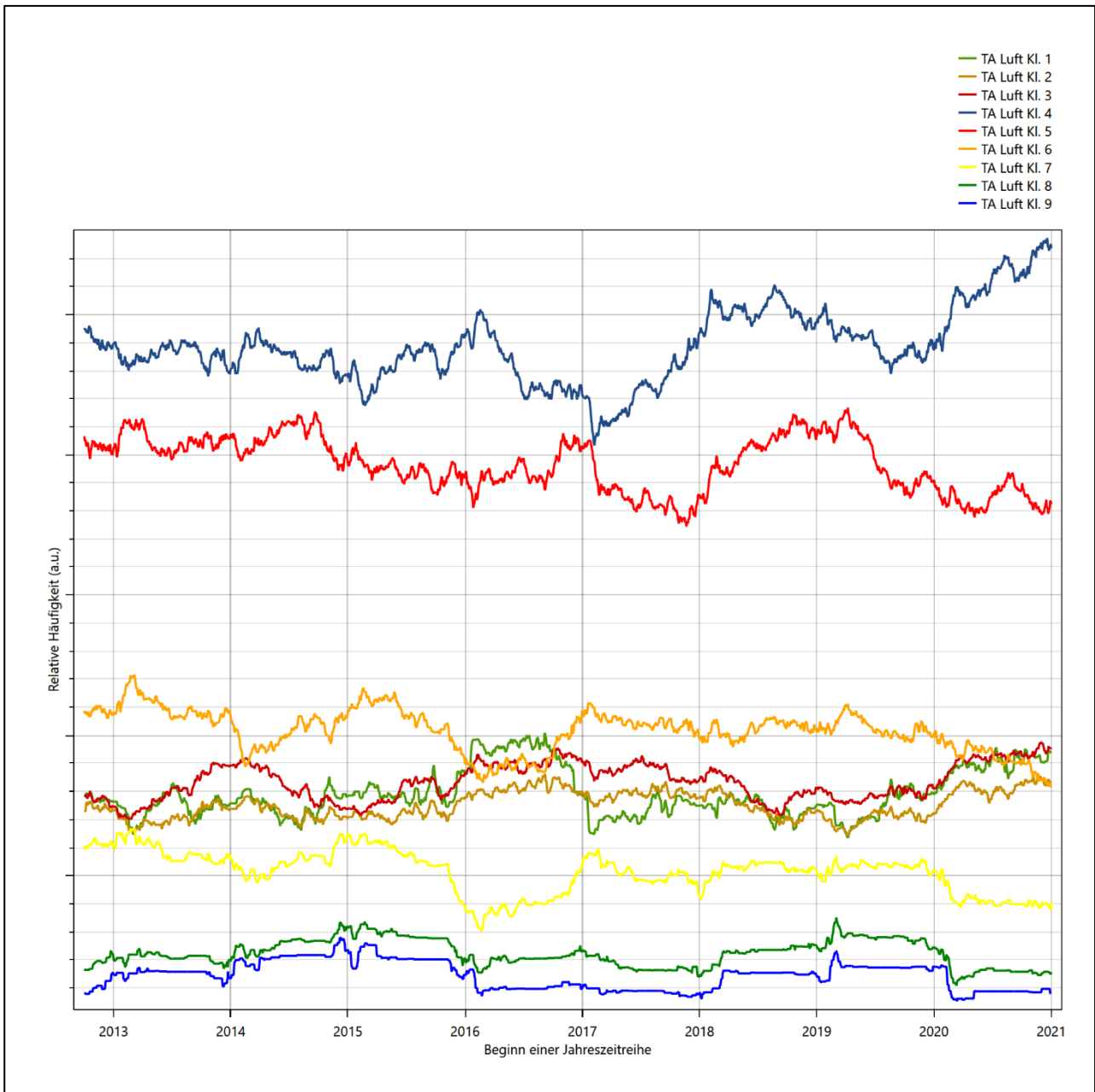
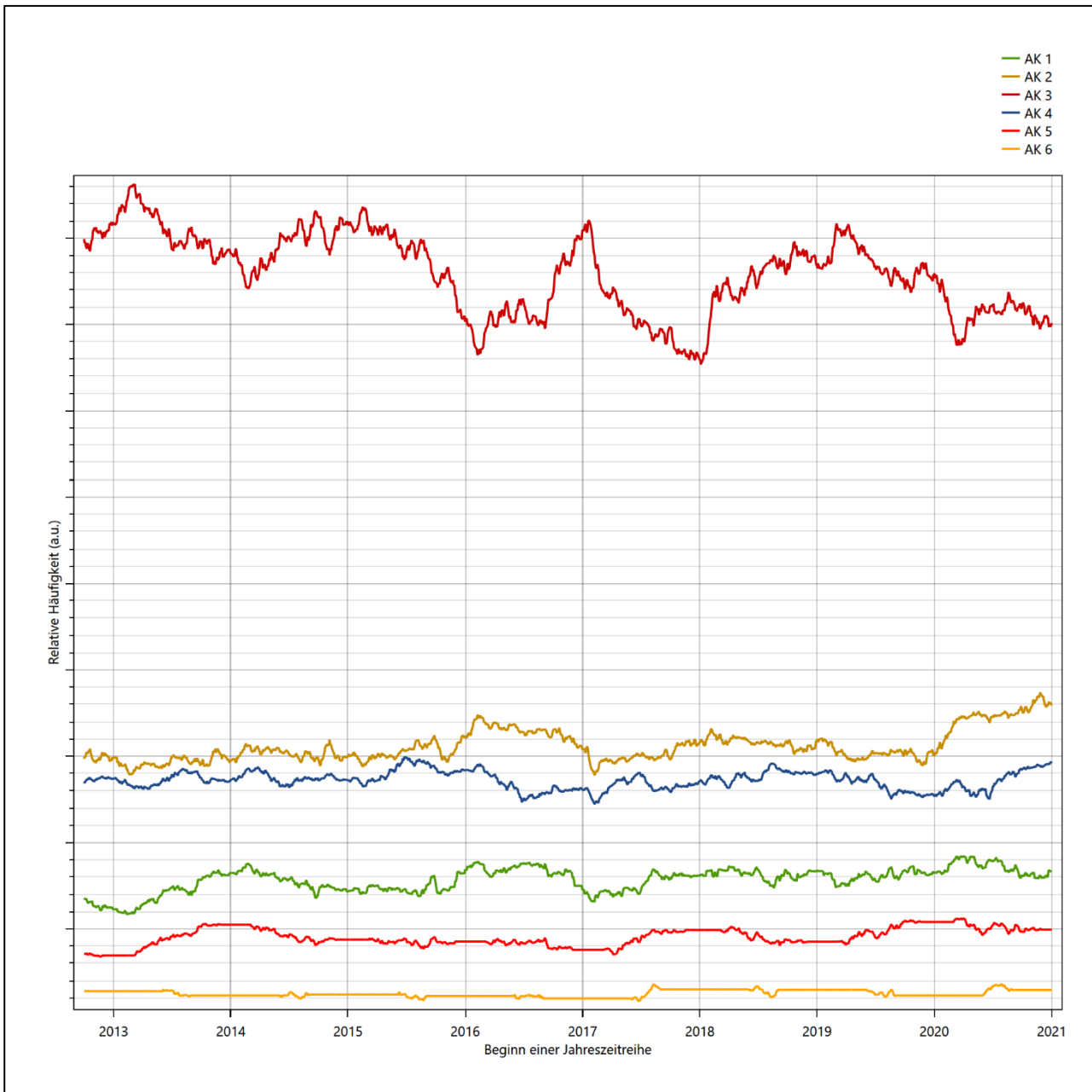


Abbildung 23: Prüfung auf vollständige und homogene Daten der Windmessstation anhand der Windschwindigkeitsverteilung



**Abbildung 24: Prüfung auf vollständige und homogene Daten der Windmessstation anhand der Verteilung der Ausbreitungsklasse**

Für die Bestimmung eines repräsentativen Jahres werden Daten aus einem Gesamtzeitraum mit einheitlicher Höhe des Messwertgebers vom 01.10.2012 bis zum 01.01.2022 verwendet.

Wie aus den Grafiken erkennbar ist, gab es im untersuchten Zeitraum keine systematischen bzw. tendenziellen Änderungen an der Windrichtungsverteilung und der Windgeschwindigkeitsverteilung. Die Datenbasis ist also homogen und lang genug, um ein repräsentatives Jahr auszuwählen.

## 6.2 Analyse der Verteilungen von Windrichtung, Windgeschwindigkeit, Ausbreitungsklasse sowie der Nacht- und Schwachwinde

In diesem Schritt werden die bereits zum Zwecke der Homogenitätsprüfung gebildeten Verteilungen dem  $\chi^2$ -Test zum Vergleich empirischer Häufigkeitsverteilungen unterzogen.

Bei der Suche nach einem repräsentativen Jahr werden dabei alle Zeiträume untersucht, die an den einzelnen Tagen des Gesamtzeitraumes beginnen, jeweils 365 Tage lang sind und bei denen ausreichend Messdaten verfügbar sind. Die Einzelzeiträume müssen dabei nicht unbedingt einem Kalenderjahr entsprechen. Eine Veröffentlichung dazu [10] hat gezeigt, dass bei tageweise gleitender Auswahl des Testdatensatzes die Ergebnisse hinsichtlich der zeitlichen Repräsentativität besser zu bewerten sind als mit der Suche nur nach Kalenderjahren.

Im Einzelfall sollte im Hinblick auf die Vorgaben von TA Luft und BImSchG dabei geprüft werden, ob bei gleitender Auswahl ein Konflikt mit Zeitbezügen entsteht, die ausdrücklich für ein Kalenderjahr definiert sind. Für den Immissions-Jahreswert nach Kapitel 2.3 der TA Luft trifft dies nicht zu, er ist als Mittelwert über ein Jahr (und nicht unbedingt über ein Kalenderjahr) zu bestimmen. Hingegen sind Messwerte für Hintergrundbelastungen aus Landesmessnetzen oft für ein Kalenderjahr ausgewiesen. Diese Messwerte wären dann nicht ohne weiteres mit Kenngrößen vergleichbar, die für einen beliebig herausgegriffenen Jahreszeitraum berechnet wurden. Nach Kenntnis des Gutachters liegt ein solcher Fall hier nicht vor.

Bei der gewählten Vorgehensweise werden die  $\chi^2$ -Terme der Einzelzeiträume untersucht, die sich beim Vergleich mit dem Gesamtzeitraum ergeben. Diese Terme lassen sich bis zu einem gewissen Grad als Indikator dafür ansehen, wie ähnlich die Einzelzeiträume dem mittleren Zustand im Gesamtzeitraum sind. Dabei gilt, dass ein Einzelzeitraum dem mittleren Zustand umso näherkommt, desto kleiner der zugehörige  $\chi^2$ -Term (die Summe der quadrierten und normierten Abweichungen von den theoretischen Häufigkeiten entsprechend dem Gesamtzeitraum) ist. Durch die Kenntnis dieser einzelnen Werte lässt sich daher ein numerisches Maß für die Ähnlichkeit der Einzelzeiträume mit dem Gesamtzeitraum bestimmen.

In Analogie zur Untersuchung der Windrichtungen wird ebenfalls für die Verteilung der Windgeschwindigkeiten (auf die TA Luft-Klassen, siehe oben) ein  $\chi^2$ -Test durchgeführt. So lässt sich auch für die Windgeschwindigkeitsverteilung ein Maß dafür finden, wie ähnlich die ein Jahr langen Einzelzeiträume dem Gesamtzeitraum sind.

Weiterhin wird die Verteilung der Ausbreitungsklassen in den Einzelzeiträumen mit dem Gesamtzeitraum verglichen.

Schließlich wird eine weitere Untersuchung der Windrichtungsverteilung durchgeführt, wobei jedoch das Testkollektiv gegenüber der ersten Betrachtung dieser Komponente dadurch beschränkt wird, dass ausschließlich Nacht- und Schwachwinde zur Beurteilung herangezogen werden. Der Einfachheit halber wird dabei generell der Zeitraum zwischen 18:00 und 6:00 Uhr als Nacht definiert, d.h. auf eine jahreszeitliche Differenzierung wird verzichtet. Zusätzlich darf die Windgeschwindigkeit 3 m/s während dieser nächtlichen Stunden nicht überschreiten. Die bereits bestehende Einteilung der Windrichtungssektoren bleibt hingegen ebenso unverändert wie die konkrete Anwendung des  $\chi^2$ -Tests.

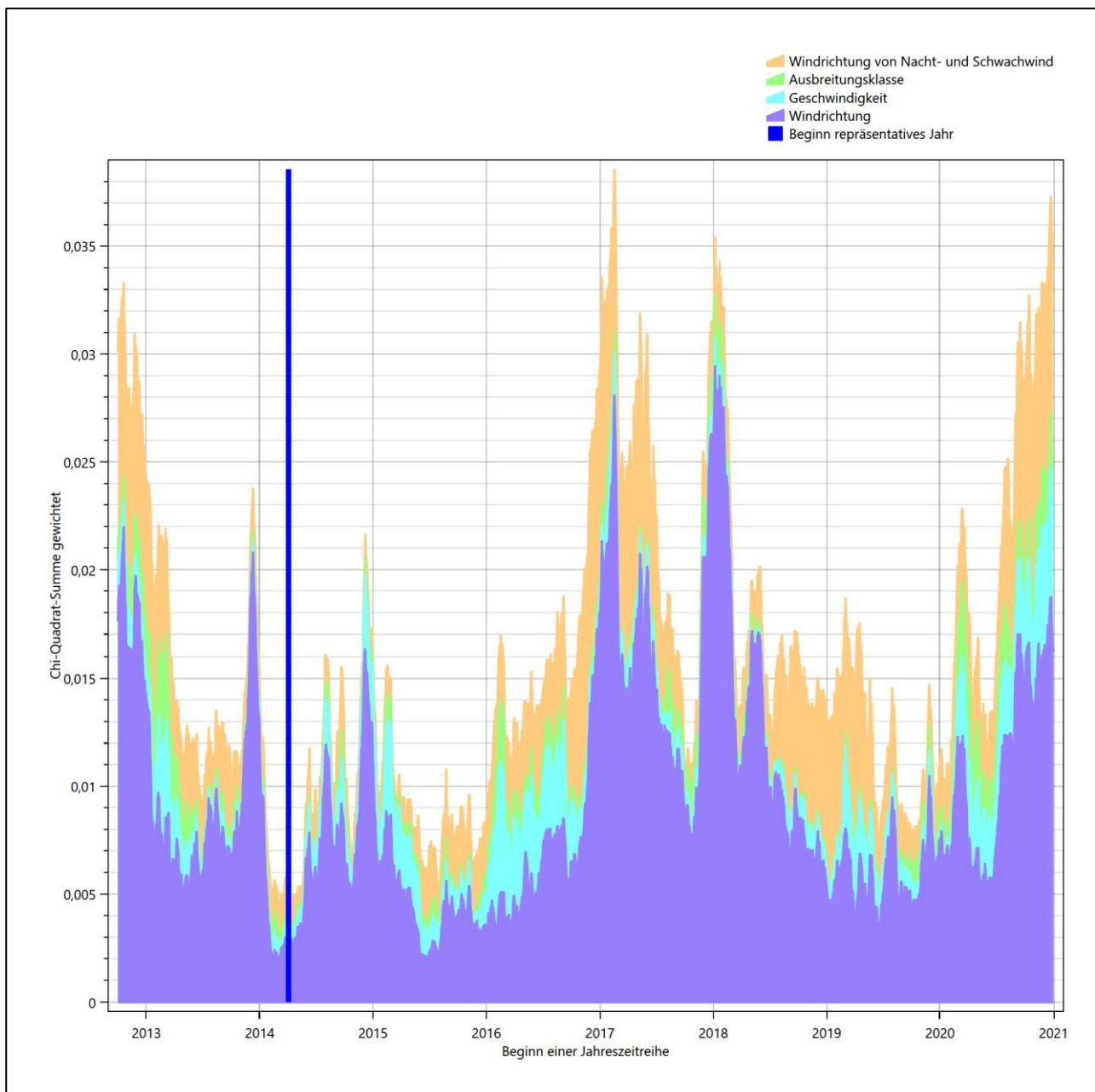
Als Ergebnis dieser Untersuchungen stehen für die einzelnen Testzeiträume jeweils vier Zahlenwerte zur Verfügung, die anhand der Verteilung von Windrichtung, Windgeschwindigkeit, Ausbreitungsklasse und der Richtung von Nacht- und Schwachwinden die Ähnlichkeit des Testzeitraumes mit dem Gesamtzeitraum ausdrücken. Um daran eine abschließende Bewertung vornehmen zu können, werden die vier Werte gewichtet

addiert, wobei die Windrichtung mit 0,46, die Windgeschwindigkeit mit 0,24, die Ausbreitungsklasse mit 0,25 und die Richtung der Nacht- und Schwachwinde mit 0,15 gewichtet wird. Die Wichtefaktoren wurden aus der VDI-Richtlinie 3783 Blatt 20 [7] entnommen. Als Ergebnis erhält man einen Indikator für die Güte der Übereinstimmung eines jeden Testzeitraumes mit dem Gesamtzeitraum.

In der folgenden Grafik ist dieser Indikator dargestellt, wobei auch zu erkennen ist, wie sich dieser Wert aus den einzelnen Gütemaßen zusammensetzt. Auf der Abszisse ist jeweils der Beginn des Einzelzeitraums mit einem Jahr Länge abgetragen.

Dabei werden nur die Zeitpunkte graphisch dargestellt, für die sich in Kombination mit Messungen der Bedeckung eine Jahreszeitreihe bilden lässt, die mindestens eine Verfügbarkeit von 90 % hat. Zeiträume mit unvollständiger Bedeckungsinformation würden grau dargestellt, im vorliegenden Fall gab es solche jedoch nicht.

Ebenfalls zu erkennen ist der Beginn des Testzeitraumes (Jahreszeitreihe), für den die gewichtete  $\chi^2$ -Summe den kleinsten Wert annimmt (vertikale Linie). Dieser Testzeitraum ist als eine Jahreszeitreihe anzusehen, die dem gesamten Zeitraum im Rahmen der durchgeführten Untersuchungen am ähnlichsten ist. Dies ist im vorliegenden Fall der 05.04.2014, was als Beginn des repräsentativen Jahres angesehen werden kann. Die repräsentative Jahreszeitreihe läuft dann bis zum 05.04.2015.



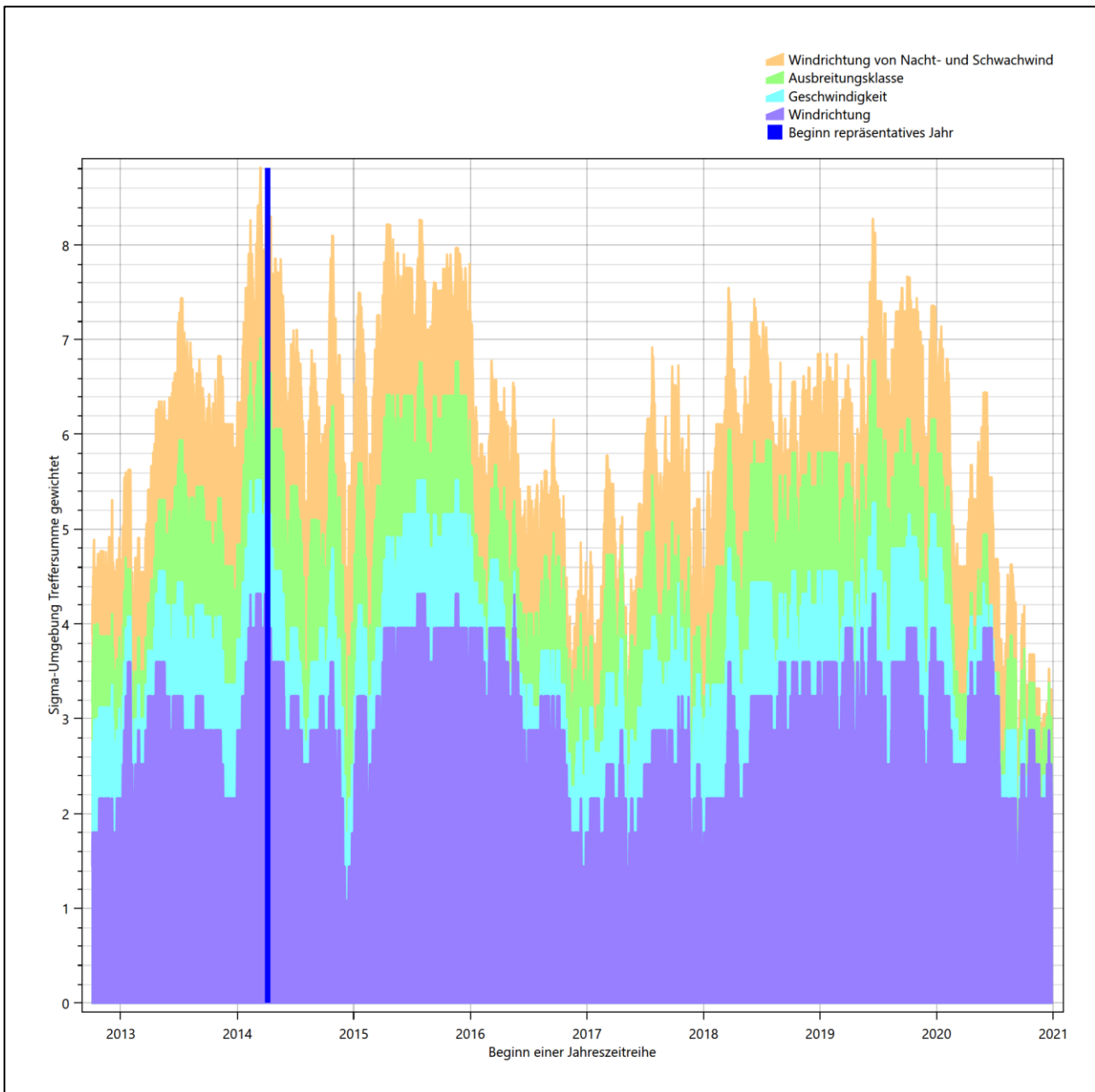
**Abbildung 25: Gewichtete  $\chi^2$ -Summe und Einzelwerte als Maß für die Ähnlichkeit der einzelnen Testzeiträume zu je einem Jahr (Jahreszeitreihe) mit dem Gesamtzeitraum**

Die zunächst mit Auswertung der gewichteten  $\chi^2$ -Summe durchgeführte Suche nach dem repräsentativen Jahr wird erweitert, indem auch geprüft wird, ob das gefundene repräsentative Jahr in der  $\sigma$ -Umgebung der für den Gesamtzeitraum ermittelten Standardabweichung liegen. Auch diese Vorgehensweise ist im Detail in der VDI-Richtlinie 3783 Blatt 20 [7] (Anhang A3.1) beschrieben.

Für jede Verteilung der zu bewertenden Parameter (Windrichtung, Windgeschwindigkeit, Ausbreitungsklasse, Richtung der Nacht- und Schwachwinde) wird die Standardabweichung über den Gesamtzeitraum bestimmt. Anschließend erfolgt für jeden Einzelzeitraum die Ermittlung der Fälle, in denen die Klassen der untersuchten Parameter innerhalb der Standardabweichung des Gesamtzeitraumes ( $\sigma$ -Umgebung) liegen.

Die Anzahl von Klassen, die für jeden Parameter innerhalb der  $\sigma$ -Umgebung des Gesamtzeitraumes liegen, ist wiederum ein Gütemaß dafür, wie gut der untersuchte Einzelzeitraum mit dem Gesamtzeitraum übereinstimmt. Je höher die Anzahl, umso besser ist die Übereinstimmung. In Anlehnung an die Auswertung der gewichteten  $\chi^2$ -Summe wird auch hier eine gewichtete Summe aus den einzelnen Parametern gebildet, wobei die gleichen Wichtefaktoren wie beim  $\chi^2$ -Test verwendet werden.

In der folgenden Grafik ist diese gewichtete Summe zusammen mit den Beiträgen der einzelnen Parameter für jeden Einzelzeitraum dargestellt.



**Abbildung 26: Gewichtete  $\sigma$ -Umgebung-Treffersumme und Einzelwerte als Maß für die Ähnlichkeit der einzelnen Testzeiträume zu je einem Jahr (Jahreszeitreihe) mit dem Gesamtzeitraum**

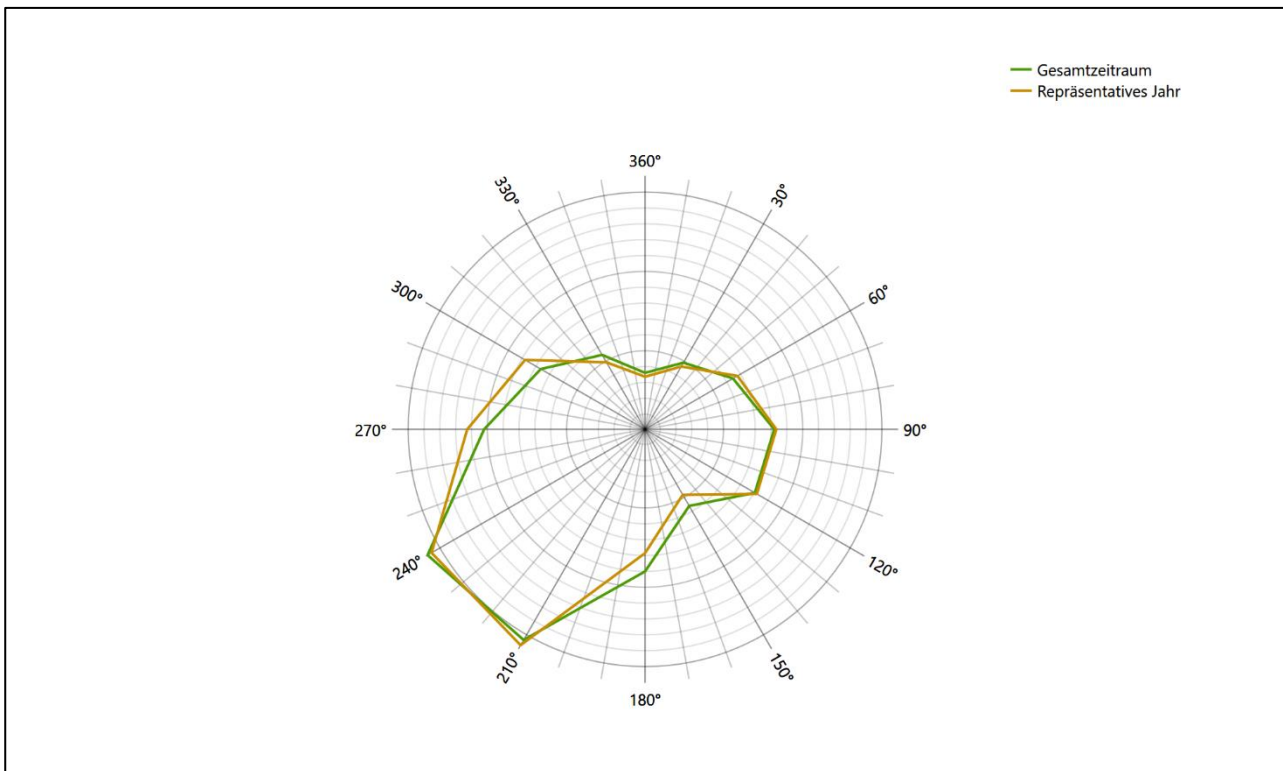
Erfahrungsgemäß wird für das aus dem  $\chi^2$ -Test gefundene repräsentative Jahr vom 05.04.2014 bis zum 05.04.2015 nicht auch immer mit dem Maximum der gewichteten  $\sigma$ -Umgebung-Treffersumme

zusammenfallen. Im vorliegenden Fall lässt sich jedoch für das repräsentative Jahr feststellen, dass 100 % aller anderen untersuchten Einzelzeiträume eine schlechtere  $\sigma$ -Umgebung-Treffersumme aufweisen. Dies kann als Bestätigung angesehen werden, dass das aus dem  $\chi^2$ -Test gefundene repräsentative Jahr als solches verwendet werden kann.

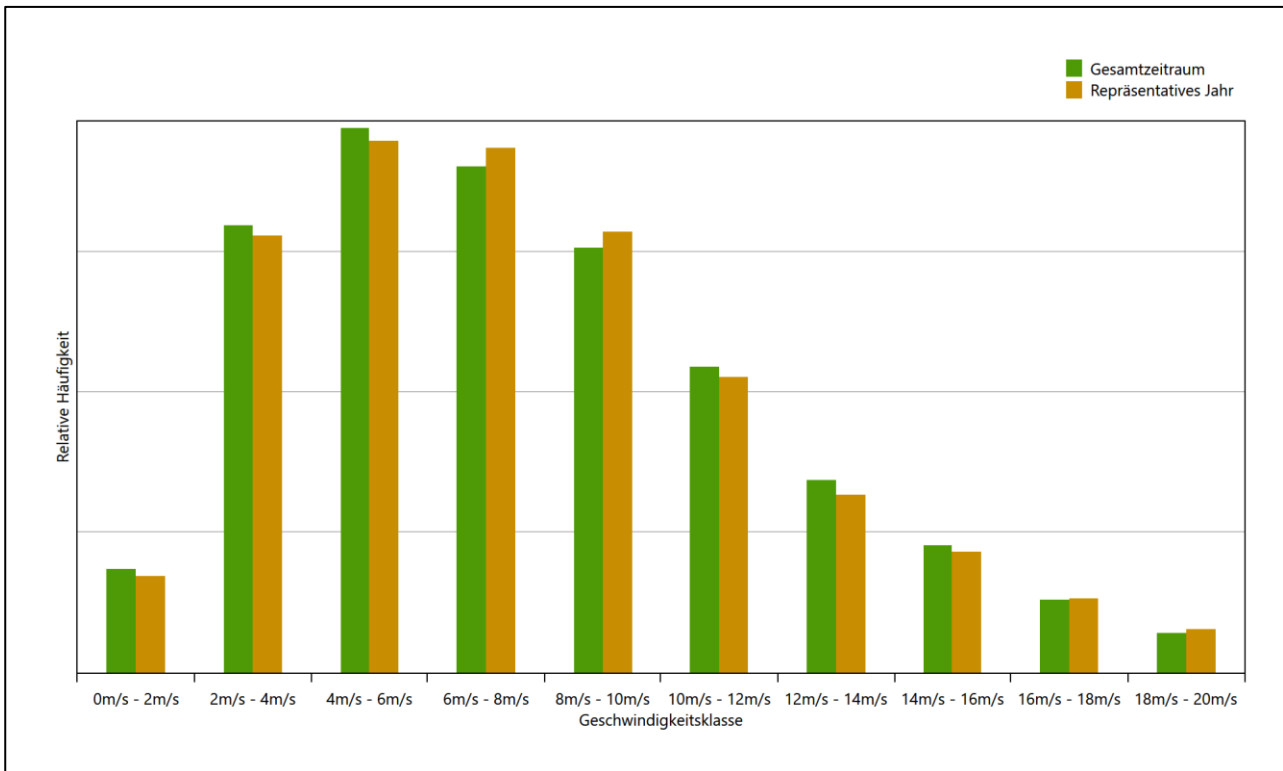
### 6.3 Prüfung auf Plausibilität

Der im vorigen Schritt gefundene Testzeitraum mit der größten Ähnlichkeit zum Gesamtzeitraum erstreckt sich vom 05.04.2014 bis zum 05.04.2015. Inwieweit diese Jahreszeitreihe tatsächlich für den Gesamtzeitraum repräsentativ ist, soll anhand einer abschließenden Plausibilitätsprüfung untersucht werden.

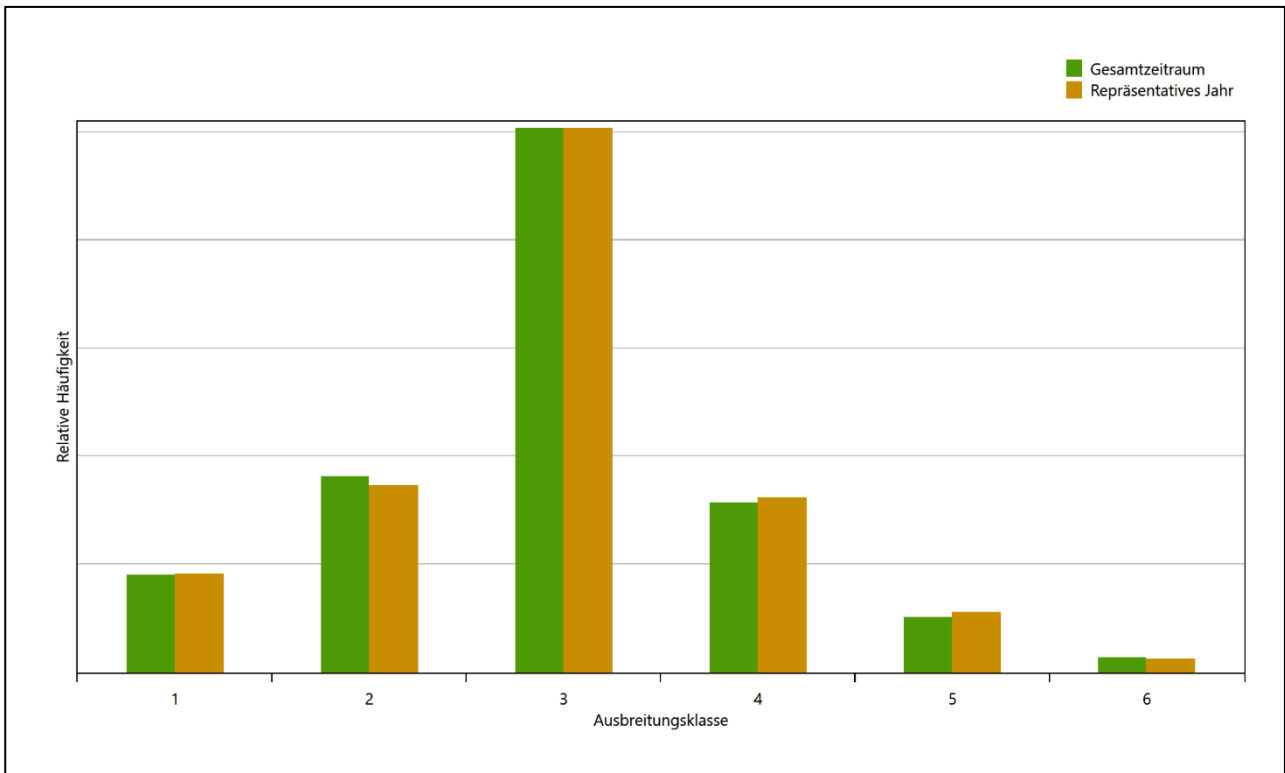
Dazu sind in den folgenden Abbildungen die Verteilungen der Windrichtung, der Windgeschwindigkeit, der Ausbreitungsklasse und der Richtung von Nacht- und Schwachwinden für die ausgewählte Jahreszeitreihe dem Gesamtzeitraum gegenübergestellt.



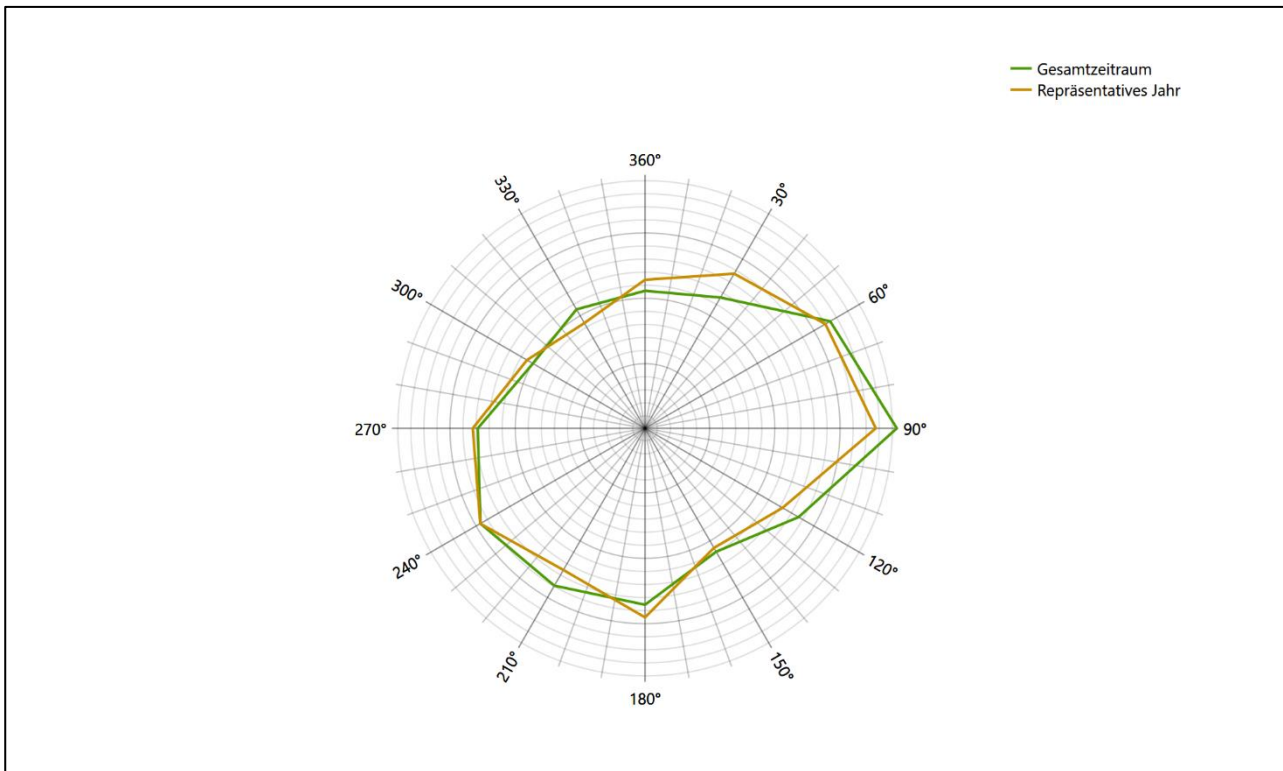
**Abbildung 27: Vergleich der Windrichtungsverteilung für die ausgewählte Jahreszeitreihe mit dem Gesamtzeitraum**



**Abbildung 28: Vergleich der Windgeschwindigkeitsverteilung für die ausgewählte Jahreszeitreihe mit dem Gesamtzeitraum**



**Abbildung 29: Vergleich der Verteilung der Ausbreitungsklasse für die ausgewählte Jahreszeitreihe mit dem Gesamtzeitraum**



**Abbildung 30: Vergleich der Richtungsverteilung von Nacht- und Schwachwinden für die ausgewählte Jahreszeitreihe mit dem Gesamtzeitraum**

Anhand der Grafiken ist erkennbar, dass sich die betrachteten Verteilungen für die ausgewählte Jahreszeitreihe kaum von denen des Gesamtzeitraumes unterscheiden.

Daher kann davon ausgegangen werden, dass der Zeitraum vom 05.04.2014 bis zum 05.04.2015 ein repräsentatives Jahr für die Station Friesoythe-Altenoythe im betrachteten Gesamtzeitraum vom 01.10.2012 bis zum 01.01.2022 ist.

## 7 Beschreibung der Datensätze

### 7.1 Effektive aerodynamische Rauigkeitslänge

#### 7.1.1 Theoretische Grundlagen

Die Bestimmung der effektiven aerodynamischen Rauigkeitslänge wird gemäß dem DWD-Merkblatt „Effektive Rauigkeitslänge aus Windmessungen“ [8] vorgenommen. Ausgangspunkt der Betrachtungen ist, dass die Rauigkeitsinformation über luvseitig des Windmessgerätes überströmte heterogene Oberflächen aus den gemessenen Winddaten extrahiert werden kann. Insbesondere Turbulenz und Böigkeit der Luftströmung tragen diese Informationen in sich.

Der Deutsche Wetterdienst stellt die zur Auswertung benötigten Messwerte über ausreichend große Zeiträume als 10-Minuten-Mittelwerte zur Verfügung. Unter anderem sind dies die mittlere Windgeschwindigkeit  $\bar{u}$ , die maximale Windgeschwindigkeit  $u_{max}$ , die mittlere Windrichtung und die Standardabweichung der Longitudinalkomponente  $\sigma_u$ .

Zur Bestimmung der effektiven aerodynamischen Rauigkeit aus diesen Messwerten muss die Art des Messgerätes Berücksichtigung finden, da eine Trägheit der Apparatur Einfluss auf die Dynamik der Windmessdaten ausübt. In diesem Zusammenhang müssen Dämpfungsfaktoren bestimmt werden, die sich für digital, nicht trägheitslose Messverfahren nach den Verfahren von Beljaars (Dämpfungsfaktor  $A_B$ ) [11], [12] und für analoge nach dem Verfahren von Wieringa (Dämpfungsfaktor  $A_W$ ) [13], [14] ermitteln lassen.

Ausgangspunkt aller Betrachtungen ist das logarithmische vertikale Windprofil in der Prandtl-Schicht für neutraler Schichtung. Die Geschwindigkeit nimmt dann wie folgt mit der Höhe  $z$  zu:

$$\bar{u}(z) = \frac{u_*}{\kappa} \ln\left(\frac{z-d}{z_0}\right) \quad (1)$$

hierbei stellen  $z$  die Messhöhe,  $z_0$  die Rauigkeitslänge,  $u_*$  die Schubspannungsgeschwindigkeit, die sich aus  $\sigma_u = C u_*$  berechnen lässt,  $\kappa \approx 0,4$  die Von-Karman-Konstante und  $d = B z_0$  die Verdrängungshöhe dar. Im Folgenden seien dabei Werte  $C = 2,5$  (neutrale Schichtung) und  $B = 6$  verwendet, die in der VDI-Richtlinie 3783, Blatt 8 [6] begründet werden. In späteren Anwendungen wird Gleichung (1) nach  $z_0$  aufgelöst. Zur Wahrung der Voraussetzungen dieser Theorie in der Prandtl-Schicht ergeben sich folgende Forderungen für die mittlere Windgeschwindigkeit  $\bar{u}$  und die Turbulenzintensität  $I$ :

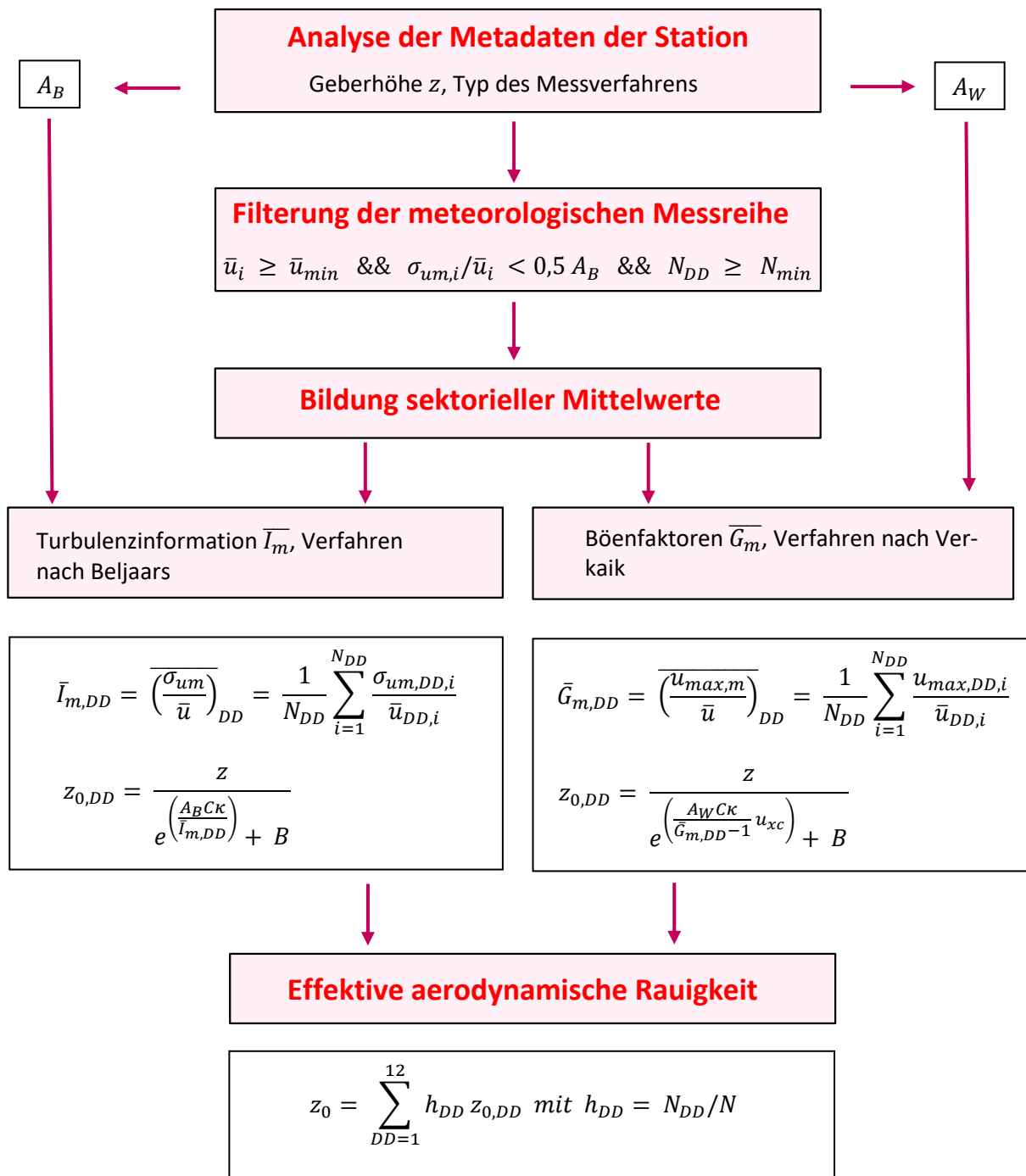
$$\bar{u}_i \geq \bar{u}_{min} = 5 \text{ms}^{-1} \quad (2)$$

und

$$I = \frac{\sigma_u}{\bar{u}} = \frac{1}{A_B} \frac{\sigma_{u,m}}{\bar{u}} < 0,5 \quad (3)$$

Die Forderung nach neutraler Schichtung resultiert in einer minimalen, mittleren Windgeschwindigkeit  $\bar{u}_{min}$ , die nicht unterschritten werden sollte (2), und die Einhaltung der näherungsweise Konstanz der turbulenten Flüsse, der „eingefrorenen Turbulenz“, (3). Beides wird im Merkblatt des Deutschen Wetterdienstes [8] anhand der Literatur begründet. Der Index „m“ steht dabei für gemessene Werte und „i“ bezeichnet alle Werte, die nach diesen Kriterien zur Mittelung herangezogen werden können.

Das folgende Schema, das im Anschluss näher erläutert wird, zeigt den Ablauf des Verfahrens je nach verwendeter Gerätetechnik.



**Abbildung 31: Schematischer Ablauf zur Bestimmung der effektiven aerodynamischen Rauigkeit**

Im Merkblatt des Deutschen Wetterdienstes [8] stellt sich der Algorithmus zur Berechnung der effektiven aerodynamischen Rauigkeit über die nachfolgend beschriebene Schrittfolge dar: Zunächst müssen die Metadaten der Station nach Höhe des Windgebers über Grund (Geberhöhe  $z$ ) und nach Art des Messverfahrens

durchsucht werden, um die Dämpfungsfaktoren  $A_B$  oder  $A_W$  zuzuordnen. Unter Beachtung von Gleichung (2) stellt man für den untersuchten Zeitraum sicher, dass mindestens 6 Werte pro Windrichtungsklasse zur Verfügung stehen. Ist dies nicht der Fall, reduziert man sukzessive den Schwellwert  $\bar{u}_{min}$  von  $5 \text{ ms}^{-1}$  auf  $4 \text{ ms}^{-1}$ , bis die Bedingung erfüllt ist. Eine Untergrenze des Schwellwertes von  $3 \text{ ms}^{-1}$ , wie sie im DWD-Merkblatt Erwähnung findet, wird hier nicht zur Anwendung gebracht, um die Forderung nach neutraler Schichtung möglichst konsequent durchzusetzen. Kann man darüber die Mindestzahl von 6 Messungen pro Windrichtungssektor nicht erreichen, erweitert man die zeitliche Basis symmetrisch über den anfänglich untersuchten Zeitraum hinaus und wiederholt die Prozedur.

Anhand der vorgefundenen Messtechnik entscheidet man, ob die gemessene Turbulenzinformation  $\bar{I}_m$  (Verfahren nach Beljaars, prioritäre Empfehlung) oder der gemessene Böenfaktor  $\bar{G}_m$  (Verfahren nach Verkaik bzw. Wieringa) verwendet werden kann. Danach werden in jedem Fall sektorielle Mittelwerte für jede Windrichtungsklasse gebildet, entweder  $\overline{I_{m,DD}}$  für die Turbulenzinformation oder  $\overline{G_{m,DD}}$  für die Böenfaktoren. Dies führt dann zu jeweiligen sektoriellen Rauigkeiten  $Z_{o,DD}$ . Aus diesen wird schließlich durch gewichtete Mittelung die effektive aerodynamische Rauigkeit der Station ermittelt, wobei als Wichtefaktoren der Sektoren die jeweilige Häufigkeit der Anströmung aus diesem Sektor verwendet wird.

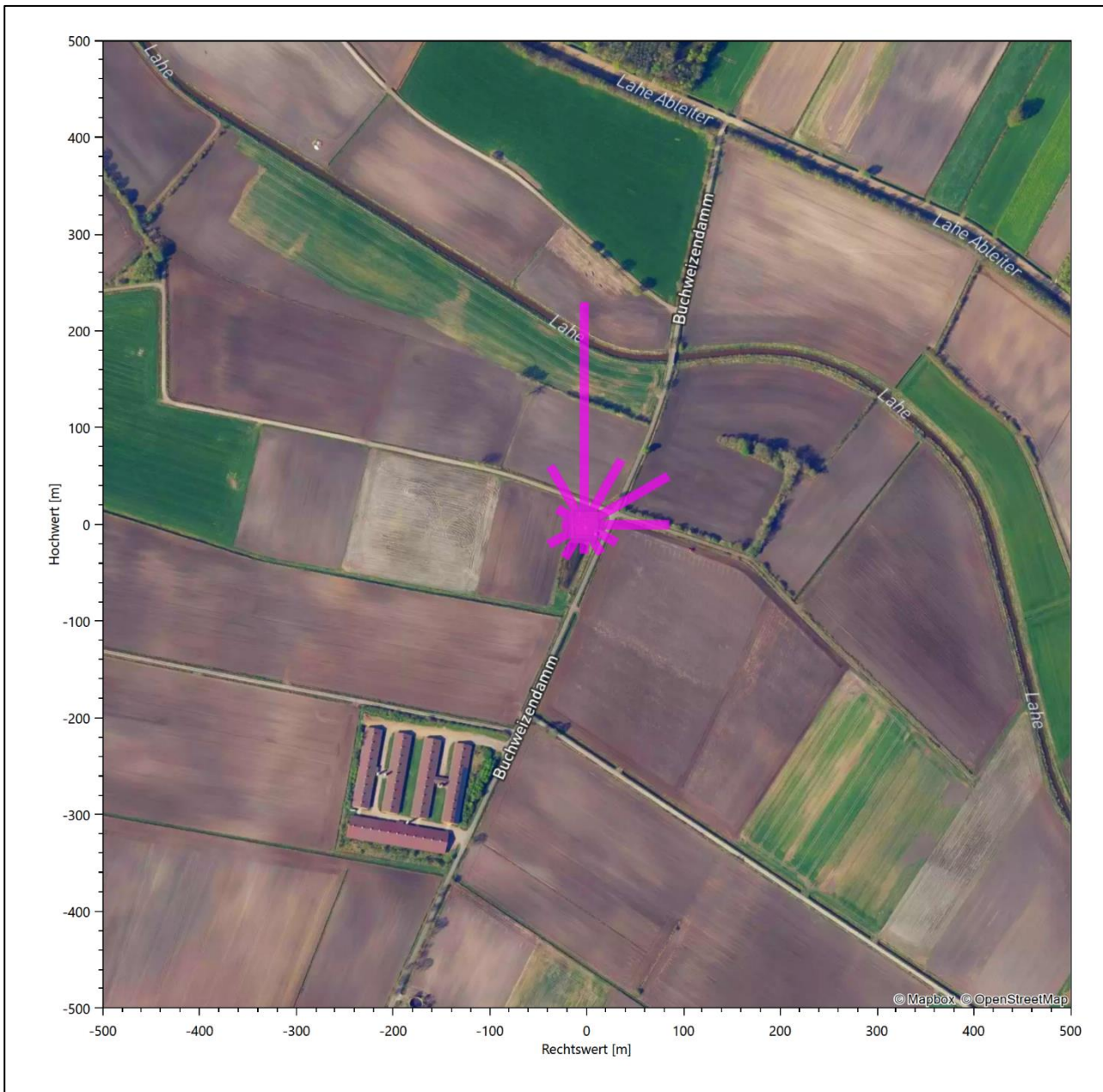
### 7.1.2 Bestimmung der effektiven aerodynamischen Rauigkeit im konkreten Fall

Die effektive aerodynamische Rauigkeit musste im vorliegenden Fall für die Station Friesoythe-Altenoythe und den Zeitraum vom 05.04.2014 bis zum 05.04.2015 bestimmt werden. Als Messwertgeber wurde aus den Daten des Deutschen Wetterdienstes das System „Windsensor Classic 4.3303“ (Windmessung, elektr.) entnommen. Damit steht zur Rauigkeitsbestimmung das Verfahren nach Beljaars zur Verfügung. Für den Parameter  $A_B$  ergibt sich dabei ein Wert von 0,9. Die Von-Karman-Konstante  $\kappa$  wird konventionsgemäß mit 0,4 angesetzt, weiterhin sind  $B$  konventionsgemäß mit 6 und  $C$  mit 2,5 angesetzt.

Um für jeden Windrichtungssektor wenigstens sechs Einzelmessungen bei neutraler Schichtung zu erreichen, genügte bei einem Schwellwert  $\bar{u}_{min}$  von  $5,0 \text{ ms}^{-1}$  der ursprüngliche Zeitraum vom 05.04.2014 bis zum 05.04.2015 und musste nicht ausgedehnt werden. In der nachfolgenden Tabelle sind die Anzahl der pro Windrichtungssektor verwendeten Einzelmessungen und die daraus ermittelten Sektorenrauigkeiten angegeben.

**Tabelle 9: Anzahl der Einzelmessungen und Sektorenrauigkeiten für die Station Friesoythe-Altenoythe**

Sektor um	Anzahl der Einzelmessungen	Rauigkeit im Sektor [m]
0°	95	0,263 m
30°	211	0,088 m
60°	371	0,115 m
90°	475	0,101 m
120°	850	0,044 m
150°	276	0,040 m
180°	1046	0,035 m
210°	3449	0,046 m
240°	3062	0,048 m
270°	2288	0,027 m
300°	1793	0,036 m
330°	636	0,079 m



**Abbildung 32: Verteilung der effektiven aerodynamischen Rauigkeiten auf die Windrichtungssektoren für die Station Friesoythe-Altenoythe**

Aus der mit den Anströmhäufigkeiten gewichteten Mittelung ergibt sich schließlich für die Station Friesoythe-Altenoythe eine effektive aerodynamische Rauigkeit von 0,048 m.

## 7.2 Rechnerische Anemometerhöhen in Abhängigkeit von der Rauigkeitsklasse

Die für Ausbreitungsrechnungen notwendigen Informationen zur Anpassung der Windgeschwindigkeiten an die unterschiedlichen mittleren aerodynamischen Rauigkeiten zwischen der Windmessung (Station Friesoythe-Altenoythe) und der Ausbreitungsrechnung werden durch die Angabe von 9 Anemometerhöhen in der Zeitreihendatei gegeben.

Je nachdem, wie stark sich die Rauigkeit an der ausgewählten Bezugswindstation von der für die Ausbreitungsrechnung am Standort verwendeten Rauigkeit unterscheiden, werden die Windgeschwindigkeiten implizit skaliert. Dies geschieht nicht durch formale Multiplikation aller Geschwindigkeitswerte mit einem geeigneten Faktor, sondern durch die Annahme, dass die an der Bezugswindstation gemessene Geschwindigkeit nach Übertragung an die EAP dort einer größeren oder kleineren (oder im Spezialfall auch derselben) Anemometerhöhe zugeordnet wird. Über das logarithmische Windprofil in Bodennähe wird durch die Verschiebung der Anemometerhöhe eine Skalierung der Windgeschwindigkeiten im berechneten Windfeld herbeigeführt.

Die aerodynamisch wirksame Rauigkeitslänge an der Bezugswindstation Friesoythe-Altenoythe wurde nach dem im Abschnitt 7.1.2 beschriebenen Verfahren berechnet. Für Friesoythe-Altenoythe ergibt das im betrachteten Zeitraum vom 05.04.2014 bis zum 05.04.2015 einen Wert von 0,048 m. Daraus ergeben sich die folgenden, den Rauigkeitsklassen der TA Luft zugeordneten Anemometerhöhen. Das Berechnungsverfahren dazu wurde der VDI-Richtlinie 3783 Blatt 8 [6] entnommen.

**Tabelle 10: Rechnerische Anemometerhöhen in Abhängigkeit von der Rauigkeitsklasse für die Station Friesoythe-Altenoythe**

Rauigkeitsklasse [m]:	0,01	0,02	0,05	0,10	0,20	0,50	1,00	1,50	2,00
Anemometerhöhe [m]:	6,1	7,6	10,1	12,7	16,1	22,4	29,5	35,0	39,7

### 7.3 Ausbreitungsklassenzeitreihe

Aus den Messwerten der Station Friesoythe-Altenoythe für Windgeschwindigkeit, Windrichtung und Bedeckung wurde eine Ausbreitungsklassenzeitreihe gemäß den Vorgaben der TA Luft in Anhang 3 Ziffer 8 [9] erstellt. Die gemessenen meteorologischen Daten werden als Stundenmittel angegeben, wobei die Windgeschwindigkeit vektoriell gemittelt wird. Die Verfügbarkeit der Daten soll nach TA Luft mindestens 90 % der Jahresstunden betragen. Im vorliegenden Fall wurde eine Verfügbarkeit von 99 % bezogen auf das repräsentative Jahr vom 05.04.2014 bis zum 05.04.2015 erreicht.

Die rechnerischen Anemometerhöhen gemäß Tabelle 10 wurden im Dateikopf hinterlegt.

## 8 Hinweise für die Ausbreitungsrechnung

Die Übertragbarkeit der meteorologischen Daten von den Messstationen wurde für einen Aufpunkt etwa 1,5 km nordöstlich des Standortes (Rechtswert: 32408350, Hochwert: 5873250) geprüft. Dieser Punkt wurde mit einem Rechenverfahren ermittelt, und es empfiehlt sich, diesen Punkt auch als Ersatzanemometerposition bei einer entsprechenden Ausbreitungsrechnung zu verwenden. Dadurch erhalten die meteorologischen Daten einen sachgerecht gewählten Ortsbezug im Rechengebiet.

Bei der Ausbreitungsrechnung ist es wichtig, eine korrekte Festlegung der Bodenrauigkeit vorzunehmen, die die umgebende Landnutzung entsprechend würdigt. Nur dann kann davon ausgegangen werden, dass die gemessenen Windgeschwindigkeiten sachgerecht auf die Verhältnisse im Untersuchungsgebiet skaliert werden.

Die zur Übertragung vorgesehenen meteorologischen Daten dienen als Antriebsdaten für ein Windfeldmodell, das für die Gegebenheiten am Standort geeignet sein muss. Bei der Ausbreitungsrechnung ist zu beachten, dass lokale meteorologische Besonderheiten wie Kaltluftabflüsse nicht in den Antriebsdaten für das Windfeldmodell abgebildet sind. Dies folgt der fachlich etablierten Ansicht, dass lokale meteorologische Besonderheiten über ein geeignetes Windfeldmodell und nicht über die Antriebsdaten in die Ausbreitungsrechnung eingehen müssen. Die Dokumentation zur Ausbreitungsrechnung (Immissionsprognose) muss darlegen, wie dies im Einzelnen geschieht.

Die geprüfte Übertragbarkeit der meteorologischen Daten gilt prinzipiell für Ausbreitungsklassenzeitreihen (AKTERM) gleichermaßen wie für Ausbreitungsklassenstatistiken (AKS). Die Verwendung von Ausbreitungsklassenstatistiken unterliegt mehreren Vorbehalten, zu denen aus meteorologischer Sicht die Häufigkeit von Schwachwindlagen gehört (Grenzwert für die Anwendbarkeit ist 20 %).

## 9 Zusammenfassung

Für den zu untersuchenden Standort in Esterwegen wurde überprüft, ob sich die meteorologischen Daten einer oder mehrerer Messstationen des Deutschen Wetterdienstes zum Zweck einer Ausbreitungsberechnung nach Anhang 3 der TA Luft übertragen lassen.

Als Ersatzanemometerposition empfiehlt sich dabei ein Punkt mit den UTM-Koordinaten 32408350, 5873250.

Von den untersuchten Stationen ergibt die Station Friesoythe-Altenoythe die beste Eignung zur Übertragung auf die Ersatzanemometerposition. Die Daten dieser Station sind für eine Ausbreitungsrechnung am betrachteten Standort verwendbar.

Als repräsentatives Jahr für diese Station wurde aus einem Gesamtzeitraum vom 01.10.2012 bis zum 01.01.2022 das Jahr vom 05.04.2014 bis zum 05.04.2015 ermittelt.

Frankenberg, am 26. Januar 2022

Dipl.-Phys. Thomas Köhler  
- erstellt -

Dr. Ralf Petrich  
- freigegeben -

# 10 Prüfliste für die Übertragbarkeitsprüfung

Die folgende Prüfliste orientiert sich an Anhang B der VDI-Richtlinie 3783 Blatt 20 [7] und soll bei der Prüfung des vorliegenden Dokuments Hilfestellung leisten.

Abschnitt in VDI 3783 Blatt 20	Prüfpunkt	Entfällt	Vorhanden	Abschnitt/ Seite im Dokument
5	<b>Allgemeine Angaben</b>			
	Art der Anlage		<input checked="" type="checkbox"/>	1 / 5
	Lage der Anlage mit kartografischer Darstellung		<input checked="" type="checkbox"/>	2.1 / 6
	Höhe der Quelle(n) über Grund und NHN		<input checked="" type="checkbox"/>	1 / 5
	Angaben über Windmessstandorte verschiedener Messnetzbetreiber und über Windmessungen im Anlagenbereich		<input checked="" type="checkbox"/>	4.2 / 15
	Besonderheiten der geplanten Vorgehensweise bei der Ausbreitungsrechnung	<input checked="" type="checkbox"/>	<input type="checkbox"/>	
5	<b>Angaben zu Bezugswindstationen</b>			
	Auswahl der Bezugswindstationen dokumentiert (Entfernungsangabe, gegebenenfalls Wegfall nicht geeigneter Stationen)		<input checked="" type="checkbox"/>	4.2 / 15
	Für alle Stationen Höhe über NHN		<input checked="" type="checkbox"/>	4.2 / 17
	Für alle Stationen Koordinaten		<input checked="" type="checkbox"/>	4.2 / 17
	Für alle Stationen Windgeberhöhe		<input checked="" type="checkbox"/>	4.2 / 17
	Für alle Stationen Messzeitraum und Datenverfügbarkeit		<input checked="" type="checkbox"/>	4.2 / 17
	Für alle Stationen Messzeitraum zusammenhängend mindestens 5 Jahre lang		<input checked="" type="checkbox"/>	4.2 / 17
	Für alle Stationen Beginn des Messzeitraums bei Bearbeitungsbeginn nicht mehr als 15 Jahre zurückliegend		<input checked="" type="checkbox"/>	4.2 / 17
	Für alle Stationen Rauigkeitslänge		<input checked="" type="checkbox"/>	0 / 23
	Für alle Stationen Angaben zur Qualitätssicherung vorhanden		<input checked="" type="checkbox"/>	4.2 / 15...18
	Lokale Besonderheiten einzelner Stationen	<input type="checkbox"/>	<input checked="" type="checkbox"/>	4.2 / 15...18
6	<b>Prüfung der Übertragbarkeit</b>			
6.2.1	Zielbereich bestimmt und Auswahl begründet	<input type="checkbox"/>	<input checked="" type="checkbox"/>	3.3 / 12
6.2.2	Erwartungswerte für Windrichtungsverteilung im Zielbereich bestimmt und nachvollziehbar begründet		<input checked="" type="checkbox"/>	0 / 18...23
6.2.2	Erwartungswerte für Windgeschwindigkeitsverteilung im Zielbereich bestimmt und nachvollziehbar begründet		<input checked="" type="checkbox"/>	0 / 18...23
6.2.3.2	Messwerte der meteorologischen Datenbasis auf einheitliche Rauigkeitslänge und Höhe über Grund umgerechnet		<input checked="" type="checkbox"/>	0 / 18...23
6.2.3.1	Abweichung zwischen erwartetem Richtungsmaximum und Messwert der Bezugswindstationen ermittelt und mit 30° verglichen		<input checked="" type="checkbox"/>	0 / 23

Abschnitt in VDI 3783 Blatt 20	Prüfpunkt	Entfällt	Vorhanden	Abschnitt/ Seite im Dokument
6.2.3.2	Abweichung zwischen Erwartungswert des vieljährigen Jahresmittelwerts der Windgeschwindigkeit und Messwert der Bezugswindstationen ermittelt und mit $1,0 \text{ m}\cdot\text{s}^{-1}$ verglichen		<input checked="" type="checkbox"/>	4.5 / 30
6.1	Als Ergebnis die Übertragbarkeit der Daten einer Bezugswindstation anhand der geprüften Kriterien begründet (Regelfall) oder keine geeignete Bezugswindstation gefunden (Sonderfall)		<input checked="" type="checkbox"/>	4.6 / 31
6.3	<b>Sonderfall</b>			
	Bei Anpassung gemessener meteorologischer Daten: Vorgehensweise und Modellansätze dokumentiert und deren Eignung begründet	<input checked="" type="checkbox"/>	<input type="checkbox"/>	
	Bei Anpassung gemessener meteorologischer Daten: Nachweis der räumlichen Repräsentativität der angepassten Daten	<input checked="" type="checkbox"/>	<input type="checkbox"/>	
6.4	<b>Repräsentatives Jahr</b>			
	Bei Auswahl eines repräsentativen Jahres: Auswahlverfahren dokumentiert und dessen Eignung begründet	<input type="checkbox"/>	<input checked="" type="checkbox"/>	6.2 / 39
	Bei Auswahl eines repräsentativen Jahres: Angabe, ob bei Auswahl auf ein Kalenderjahr abgestellt wird oder nicht (beliebiger Beginn der Jahreszeitreihe)	<input type="checkbox"/>	<input checked="" type="checkbox"/>	6.2 / 39
	Bei Auswahl eines repräsentativen Jahres: Messzeitraum mindestens 5 Jahre lang und bei Bearbeitungsbeginn nicht mehr als 15 Jahre zurückliegend	<input type="checkbox"/>	<input checked="" type="checkbox"/>	6.1 / 35
7.1	<b>Erstellung des Zieldatensatzes</b>			
	Anemometerhöhen in Abhängigkeit von den Rauigkeitsklassen nach TA Luft in Zieldatensatz integriert		<input checked="" type="checkbox"/>	7.1 / 47
	Bei Verwendung von Stabilitätsinformationen, die nicht an der Bezugswindstation gewonnen wurden: Herkunft der Stabilitätsinformationen dokumentiert und deren Eignung begründet	<input checked="" type="checkbox"/>	<input type="checkbox"/>	
	<b>Sonstiges</b>			
7.2	Bei Besonderheiten im Untersuchungsgebiet: Hinweise für die Ausbreitungsrechnung und Angaben, unter welchen Voraussetzungen die Verwendung der bereitgestellten meteorologischen Daten zu sachgerechten Ergebnissen im Sinne des Anhangs zur Ausbreitungsrechnung der TA Luft führt	<input type="checkbox"/>	<input checked="" type="checkbox"/>	8 / 53

## 11 Schrifttum

- [1] Statistisches Bundesamt, *Daten zur Bodenbedeckung für die Bundesrepublik Deutschland*, Wiesbaden.
- [2] VDI 3783 Blatt 16 - Verein Deutscher Ingenieure e.V., *Umweltmeteorologie - Prognostische mesoskalige Windfeldmodelle - Verfahren zur Anwendung in Genehmigungsverfahren nach TA Luft*, Berlin: Beuth-Verlag, vom März 2017; in aktueller Fassung.
- [3] D. Öttl, „Documentation of the prognostic mesoscale model GRAMM (Graz Mesoscale Model) Vs. 17.1,“ Amt der Steiermärkischen Landesregierung, Graz, 2017.
- [4] VDI 3783 Blatt 21 - Verein Deutscher Ingenieure e.V., *Umweltmeteorologie - Qualitätssicherung meteorologischer Daten für die Ausbreitungsrechnung nach TA Luft und GIRL*, Berlin: Beuth-Verlag, vom März 2017; in aktueller Fassung.
- [5] Deutscher Wetterdienst, „Climate Data Center, CDC-Newsletter 6,“ Offenbach, 2017.
- [6] VDI 3783 Blatt 8 - Verein Deutscher Ingenieure e.V., *Umweltmeteorologie - Messwertgestützte Turbulenzparametrisierung für Ausbreitungsmodelle (Entwurf)*, Berlin: Beuth-Verlag, vom April 2017; in aktueller Fassung.
- [7] VDI 3783 Blatt 20 - Verein Deutscher Ingenieure e.V., *Umweltmeteorologie - Übertragbarkeitsprüfung meteorologischer Daten zur Anwendung im Rahmen der TA Luft*, Berlin: Beuth-Verlag, vom März 2017; in aktueller Fassung.
- [8] M. Koßmann und J. Namyslo, „Merkblatt Effektive Rauigkeitslänge aus Windmessungen,“ Deutscher Wetterdienst, Offenbach, 2019.
- [9] TA Luft - Technische Anleitung zur Reinhaltung der Luft, *Erste Allgemeine Verwaltungsvorschrift zum Bundes-Immissionsschutzgesetz*, vom 24. Juli 2002 (GMBI. Nr. 25 - 29 vom 30.07.2002 S. 511); in aktueller Fassung.
- [10] R. Petrich, „Praktische Erfahrungen bei der Prüfung der Übertragbarkeit meteorologischer Daten nach Richtlinie VDI 3783 Blatt 20 (E),“ *Gefahrstoffe - Reinhaltung der Luft*, pp. 311 - 315, 07/08 2015.
- [11] A. C. M. Beljaars, „The influence of sampling and filtering on measured wind gusts,“ *Journal of Atmospheric and Oceanic Technology*, Nr. 4, pp. 613-626, 1987.
- [12] A. C. M. Beljaars, „The measurement of gustiness at routine wind stations – a review,“ *Instruments and Observing Methods*, Nr. Reports No. 31, 1987.
- [13] J. Wieringa, „Gust factors over open water and built-up country,“ *Boundary-Layer Meteorology*, Nr. 3, pp. 424-441, 1973.
- [14] J. Wieringa, „An objective exposure correction method for average wind speeds measured at sheltered location,“ *Quarterly Journal of the Royal Meteorological Society*, Nr. 102, pp. 241-253, 1976.
- [15] Deutscher Wetterdienst, „Handbuch Testreferenzjahre von Deutschland für mittlere, extreme und zukünftige Witterungsverhältnisse,“ Offenbach, 2014.
- [16] Deutscher Wetterdienst, „TRY - Die neuen Testreferenzjahre für Deutschland,“ 2017. [Online]. Available: [http://www.dwd.de/DE/leistungen/testreferenzjahre/try\\_zu-bbsr.html](http://www.dwd.de/DE/leistungen/testreferenzjahre/try_zu-bbsr.html). [Zugriff am 31. Januar 2017].
- [17] VDI 3783 Blatt 10 - Verein Deutscher Ingenieure e.V., *Umweltmeteorologie - Diagnostische mikroskalige Windfeldmodelle - Gebäude und Hindernisumströmung*, Berlin: Beuth-Verlag, vom März 2010; in aktueller Fassung.
- [18] VDI 3783 Blatt 13 - Verein Deutscher Ingenieure e.V., *Umweltmeteorologie - Qualitätssicherung in der Immissionsprognose - Anlagenbezogener Immissionsschutz Ausbreitungsrechnungen gemäß TA Luft*, Berlin: Beuth-Verlag, vom Januar 2010; in aktueller Fassung.

# Auswertung Analyse-Punkte

Projekt: Esterwegen

<b>1</b>	<b>Analyse-Punkte: ANP_1: Sondergebiet</b>	<b>X [m]: 408145,84</b>	<b>Y [m]: 5871219,40</b>
----------	--	-------------------------	--------------------------

Vertikale Schichten [m]: 0 - 3

Stoff	Kenngroesse	Wert	Einheit	statistischer Fehler
ODOR: Geruchsstoff (unbewertet)	ASW	15,2	%	0,1 %
ODOR: Geruchsstoff (unbewertet)	J00	16	%	0,1 %
ODOR: Geruchsstoff (unbewertet)	J00F	16,1	%	
ODOR_050: Geruchsstoff (Bewertungsfaktor 0.50)	ASW	4,7	%	0,1 %
ODOR_050: Geruchsstoff (Bewertungsfaktor 0.50)	J00	4,9	%	0,1 %
ODOR_050: Geruchsstoff (Bewertungsfaktor 0.50)	J00F	5	%	
ODOR_075: Geruchsstoff (Bewertungsfaktor 0.75)	ASW	9,2	%	0,1 %
ODOR_075: Geruchsstoff (Bewertungsfaktor 0.75)	J00	10,1	%	0,1 %
ODOR_075: Geruchsstoff (Bewertungsfaktor 0.75)	J00F	10,2	%	
ODOR_100: Geruchsstoff (Bewertungsfaktor 1.00)	ASW	1,9	%	0 %
ODOR_100: Geruchsstoff (Bewertungsfaktor 1.00)	J00	2	%	0 %
ODOR_100: Geruchsstoff (Bewertungsfaktor 1.00)	J00F	2	%	
ODOR_MOD	ASW	10,9	%	
ODOR_MOD	J00	11,5	%	

<b>2</b>	<b>Analyse-Punkte: ANP_2: Sondergebiet</b>	<b>X [m]: 408123,07</b>	<b>Y [m]: 5871274,49</b>
----------	--	-------------------------	--------------------------

Vertikale Schichten [m]: 0 - 3

Stoff	Kenngroesse	Wert	Einheit	statistischer Fehler
ODOR: Geruchsstoff (unbewertet)	ASW	10,3	%	0,1 %
ODOR: Geruchsstoff (unbewertet)	J00	10,2	%	0,1 %
ODOR: Geruchsstoff (unbewertet)	J00F	10,3	%	

# Auswertung Analyse-Punkte

Projekt: Esterwegen

**2 Analyse-Punkte: ANP\_2: Sondergebiet**

X [m]: 408123,07

Y [m]: 5871274,49

Vertikale Schichten [m]: 0 - 3

Stoff	Kenngroesse	Wert	Einheit	statistischer Fehler
ODOR_050: Geruchsstoff (Bewertungsfaktor 0.50)	ASW	3,9	%	0,1 %
ODOR_050: Geruchsstoff (Bewertungsfaktor 0.50)	J00	3,7	%	0,1 %
ODOR_050: Geruchsstoff (Bewertungsfaktor 0.50)	J00F	3,8	%	
ODOR_075: Geruchsstoff (Bewertungsfaktor 0.75)	ASW	5,5	%	0,1 %
ODOR_075: Geruchsstoff (Bewertungsfaktor 0.75)	J00	5,5	%	0,1 %
ODOR_075: Geruchsstoff (Bewertungsfaktor 0.75)	J00F	5,6	%	
ODOR_100: Geruchsstoff (Bewertungsfaktor 1.00)	ASW	1,7	%	0 %
ODOR_100: Geruchsstoff (Bewertungsfaktor 1.00)	J00	1,7	%	0 %
ODOR_100: Geruchsstoff (Bewertungsfaktor 1.00)	J00F	1,7	%	
ODOR_MOD	ASW	7,4	%	
ODOR_MOD	J00	7,3	%	

**3 Analyse-Punkte: ANP\_3: Gewerbegebiet**

X [m]: 408213,80

Y [m]: 5871276,14

Vertikale Schichten [m]: 0 - 3

Stoff	Kenngroesse	Wert	Einheit	statistischer Fehler
ODOR: Geruchsstoff (unbewertet)	ASW	13,5	%	0,1 %
ODOR: Geruchsstoff (unbewertet)	J00	13,2	%	0,1 %
ODOR: Geruchsstoff (unbewertet)	J00F	13,3	%	
ODOR_050: Geruchsstoff (Bewertungsfaktor 0.50)	ASW	3,8	%	0,1 %
ODOR_050: Geruchsstoff (Bewertungsfaktor 0.50)	J00	3,8	%	0,1 %
ODOR_050: Geruchsstoff (Bewertungsfaktor 0.50)	J00F	3,9	%	

# Auswertung Analyse-Punkte

Projekt: Esterwegen

**3 Analyse-Punkte: ANP\_3: Gewerbegebiet**

**X [m]: 408213,80**

**Y [m]: 5871276,14**

**Vertikale Schichten [m]: 0 - 3**

Stoff	Kenngroesse	Wert	Einheit	statistischer Fehler
ODOR_075: Geruchsstoff (Bewertungsfaktor 0.75)	ASW	6,5	%	0,1 %
ODOR_075: Geruchsstoff (Bewertungsfaktor 0.75)	J00	6,2	%	0,1 %
ODOR_075: Geruchsstoff (Bewertungsfaktor 0.75)	J00F	6,3	%	
ODOR_100: Geruchsstoff (Bewertungsfaktor 1.00)	ASW	1,5	%	0 %
ODOR_100: Geruchsstoff (Bewertungsfaktor 1.00)	J00	1,5	%	0 %
ODOR_100: Geruchsstoff (Bewertungsfaktor 1.00)	J00F	1,5	%	
ODOR_MOD	ASW	9,4	%	
ODOR_MOD	J00	9,2	%	

**4 Analyse-Punkte: ANP\_4: Gewerbegebiet**

**X [m]: 408176,85**

**Y [m]: 5871327,94**

**Vertikale Schichten [m]: 0 - 3**

Stoff	Kenngroesse	Wert	Einheit	statistischer Fehler
ODOR: Geruchsstoff (unbewertet)	ASW	9,1	%	0,1 %
ODOR: Geruchsstoff (unbewertet)	J00	9,2	%	0,1 %
ODOR: Geruchsstoff (unbewertet)	J00F	9,3	%	
ODOR_050: Geruchsstoff (Bewertungsfaktor 0.50)	ASW	3,1	%	0,1 %
ODOR_050: Geruchsstoff (Bewertungsfaktor 0.50)	J00	3	%	0,1 %
ODOR_050: Geruchsstoff (Bewertungsfaktor 0.50)	J00F	3,1	%	
ODOR_075: Geruchsstoff (Bewertungsfaktor 0.75)	ASW	4,6	%	0,1 %
ODOR_075: Geruchsstoff (Bewertungsfaktor 0.75)	J00	4,5	%	0,1 %
ODOR_075: Geruchsstoff (Bewertungsfaktor 0.75)	J00F	4,6	%	

# Auswertung Analyse-Punkte

Projekt: Esterwegen

<b>4</b>	<b>Analyse-Punkte: ANP_4: Gewerbegebiet</b>	<b>X [m]: 408176,85</b>	<b>Y [m]: 5871327,94</b>
----------	---	-------------------------	--------------------------

Vertikale Schichten [m]: 0 - 3

Stoff	Kenngroesse	Wert	Einheit	statistischer Fehler
ODOR_100: Geruchsstoff (Bewertungsfaktor 1.00)	ASW	1,3	%	0 %
ODOR_100: Geruchsstoff (Bewertungsfaktor 1.00)	J00	1,3	%	0 %
ODOR_100: Geruchsstoff (Bewertungsfaktor 1.00)	J00F	1,3	%	
ODOR_MOD	ASW	6,4	%	
ODOR_MOD	J00	6,5	%	

<b>5</b>	<b>Analyse-Punkte: ANP_5: Gewerbegebiet</b>	<b>X [m]: 408247,79</b>	<b>Y [m]: 5871307,48</b>
----------	---	-------------------------	--------------------------

Vertikale Schichten [m]: 0 - 3

Stoff	Kenngroesse	Wert	Einheit	statistischer Fehler
ODOR: Geruchsstoff (unbewertet)	ASW	11,6	%	0,1 %
ODOR: Geruchsstoff (unbewertet)	J00	10,8	%	0,1 %
ODOR: Geruchsstoff (unbewertet)	J00F	10,9	%	
ODOR_050: Geruchsstoff (Bewertungsfaktor 0.50)	ASW	3,5	%	0,1 %
ODOR_050: Geruchsstoff (Bewertungsfaktor 0.50)	J00	3,3	%	0,1 %
ODOR_050: Geruchsstoff (Bewertungsfaktor 0.50)	J00F	3,4	%	
ODOR_075: Geruchsstoff (Bewertungsfaktor 0.75)	ASW	4,9	%	0,1 %
ODOR_075: Geruchsstoff (Bewertungsfaktor 0.75)	J00	4,3	%	0,1 %
ODOR_075: Geruchsstoff (Bewertungsfaktor 0.75)	J00F	4,4	%	
ODOR_100: Geruchsstoff (Bewertungsfaktor 1.00)	ASW	1,4	%	0 %
ODOR_100: Geruchsstoff (Bewertungsfaktor 1.00)	J00	1,3	%	0 %
ODOR_100: Geruchsstoff (Bewertungsfaktor 1.00)	J00F	1,3	%	

# Auswertung Analyse-Punkte

Projekt: Esterwegen

<b>5</b>	<b>Analyse-Punkte: ANP_5: Gewerbegebiet</b>	<b>X [m]: 408247,79</b>	<b>Y [m]: 5871307,48</b>
----------	---	-------------------------	--------------------------

Vertikale Schichten [m]: 0 - 3

Stoff	Kenngrösse	Wert	Einheit	statistischer Fehler
ODOR_MOD	ASW	8,1	%	
ODOR_MOD	J00	7,5	%	

<b>6</b>	<b>Analyse-Punkte: ANP_6: Gewerbegebiet</b>	<b>X [m]: 408280,45</b>	<b>Y [m]: 5871338,17</b>
----------	---	-------------------------	--------------------------

Vertikale Schichten [m]: 0 - 3

Stoff	Kenngrösse	Wert	Einheit	statistischer Fehler
ODOR: Geruchsstoff (unbewertet)	ASW	9,3	%	0,1 %
ODOR: Geruchsstoff (unbewertet)	J00	8,5	%	0,1 %
ODOR: Geruchsstoff (unbewertet)	J00F	8,6	%	
ODOR_050: Geruchsstoff (Bewertungsfaktor 0.50)	ASW	3,2	%	0,1 %
ODOR_050: Geruchsstoff (Bewertungsfaktor 0.50)	J00	3,1	%	0,1 %
ODOR_050: Geruchsstoff (Bewertungsfaktor 0.50)	J00F	3,2	%	
ODOR_075: Geruchsstoff (Bewertungsfaktor 0.75)	ASW	3,6	%	0 %
ODOR_075: Geruchsstoff (Bewertungsfaktor 0.75)	J00	3,3	%	0 %
ODOR_075: Geruchsstoff (Bewertungsfaktor 0.75)	J00F	3,3	%	
ODOR_100: Geruchsstoff (Bewertungsfaktor 1.00)	ASW	1,3	%	0 %
ODOR_100: Geruchsstoff (Bewertungsfaktor 1.00)	J00	1,2	%	0 %
ODOR_100: Geruchsstoff (Bewertungsfaktor 1.00)	J00F	1,2	%	
ODOR_MOD	ASW	6,4	%	
ODOR_MOD	J00	5,8	%	

# Auswertung Analyse-Punkte

Projekt: Esterwegen

<b>7</b>	<b>Analyse-Punkte: ANP_7: Mischgebiet</b>	<b>X [m]: 408240,86</b>	<b>Y [m]: 5871402,83</b>
----------	---	-------------------------	--------------------------

Vertikale Schichten [m]: 0 - 3

Stoff	Kenngroesse	Wert	Einheit	statistischer Fehler
ODOR: Geruchsstoff (unbewertet)	ASW	6,7	%	0,1 %
ODOR: Geruchsstoff (unbewertet)	J00	6,5	%	0,1 %
ODOR: Geruchsstoff (unbewertet)	J00F	6,6	%	
ODOR_050: Geruchsstoff (Bewertungsfaktor 0.50)	ASW	2,8	%	0,1 %
ODOR_050: Geruchsstoff (Bewertungsfaktor 0.50)	J00	2,7	%	0,1 %
ODOR_050: Geruchsstoff (Bewertungsfaktor 0.50)	J00F	2,8	%	
ODOR_075: Geruchsstoff (Bewertungsfaktor 0.75)	ASW	3	%	0 %
ODOR_075: Geruchsstoff (Bewertungsfaktor 0.75)	J00	3	%	0 %
ODOR_075: Geruchsstoff (Bewertungsfaktor 0.75)	J00F	3	%	
ODOR_100: Geruchsstoff (Bewertungsfaktor 1.00)	ASW	1	%	0 %
ODOR_100: Geruchsstoff (Bewertungsfaktor 1.00)	J00	1	%	0 %
ODOR_100: Geruchsstoff (Bewertungsfaktor 1.00)	J00F	1	%	
ODOR_MOD	ASW	4,6	%	
ODOR_MOD	J00	4,5	%	

<b>8</b>	<b>Analyse-Punkte: ANP_8: Mischgebiet</b>	<b>X [m]: 408259,33</b>	<b>Y [m]: 5871417,35</b>
----------	---	-------------------------	--------------------------

Vertikale Schichten [m]: 0 - 3

Stoff	Kenngroesse	Wert	Einheit	statistischer Fehler
ODOR: Geruchsstoff (unbewertet)	ASW	6	%	0,1 %
ODOR: Geruchsstoff (unbewertet)	J00	6	%	0,1 %
ODOR: Geruchsstoff (unbewertet)	J00F	6,1	%	

# Auswertung Analyse-Punkte

Projekt: Esterwegen

<b>8</b>	<b>Analyse-Punkte: ANP_8: Mischgebiet</b>	<b>X [m]: 408259,33</b>	<b>Y [m]: 5871417,35</b>
----------	---	-------------------------	--------------------------

Vertikale Schichten [m]: 0 - 3

Stoff	Kenngroesse	Wert	Einheit	statistischer Fehler
ODOR_050: Geruchsstoff (Bewertungsfaktor 0.50)	ASW	2,6	%	0,1 %
ODOR_050: Geruchsstoff (Bewertungsfaktor 0.50)	J00	2,6	%	0,1 %
ODOR_050: Geruchsstoff (Bewertungsfaktor 0.50)	J00F	2,7	%	
ODOR_075: Geruchsstoff (Bewertungsfaktor 0.75)	ASW	2,6	%	0 %
ODOR_075: Geruchsstoff (Bewertungsfaktor 0.75)	J00	2,6	%	0 %
ODOR_075: Geruchsstoff (Bewertungsfaktor 0.75)	J00F	2,6	%	
ODOR_100: Geruchsstoff (Bewertungsfaktor 1.00)	ASW	0,9	%	0 %
ODOR_100: Geruchsstoff (Bewertungsfaktor 1.00)	J00	0,9	%	0 %
ODOR_100: Geruchsstoff (Bewertungsfaktor 1.00)	J00F	0,9	%	
ODOR_MOD	ASW	4,1	%	
ODOR_MOD	J00	4,1	%	

<b>9</b>	<b>Analyse-Punkte: ANP_9: Fläche für den Gemeinbedarf</b>	<b>X [m]: 408157,39</b>	<b>Y [m]: 5871345,10</b>
----------	---	-------------------------	--------------------------

Vertikale Schichten [m]: 0 - 3

Stoff	Kenngroesse	Wert	Einheit	statistischer Fehler
ODOR: Geruchsstoff (unbewertet)	ASW	8	%	0,1 %
ODOR: Geruchsstoff (unbewertet)	J00	8,1	%	0,1 %
ODOR: Geruchsstoff (unbewertet)	J00F	8,2	%	
ODOR_050: Geruchsstoff (Bewertungsfaktor 0.50)	ASW	2,9	%	0,1 %
ODOR_050: Geruchsstoff (Bewertungsfaktor 0.50)	J00	2,9	%	0,1 %
ODOR_050: Geruchsstoff (Bewertungsfaktor 0.50)	J00F	3	%	

# Auswertung Analyse-Punkte

Projekt: Esterwegen

**9 Analyse-Punkte: ANP\_9: Fläche für den Gemeinbedarf**

**X [m]: 408157,39**

**Y [m]: 5871345,10**

**Vertikale Schichten [m]: 0 - 3**

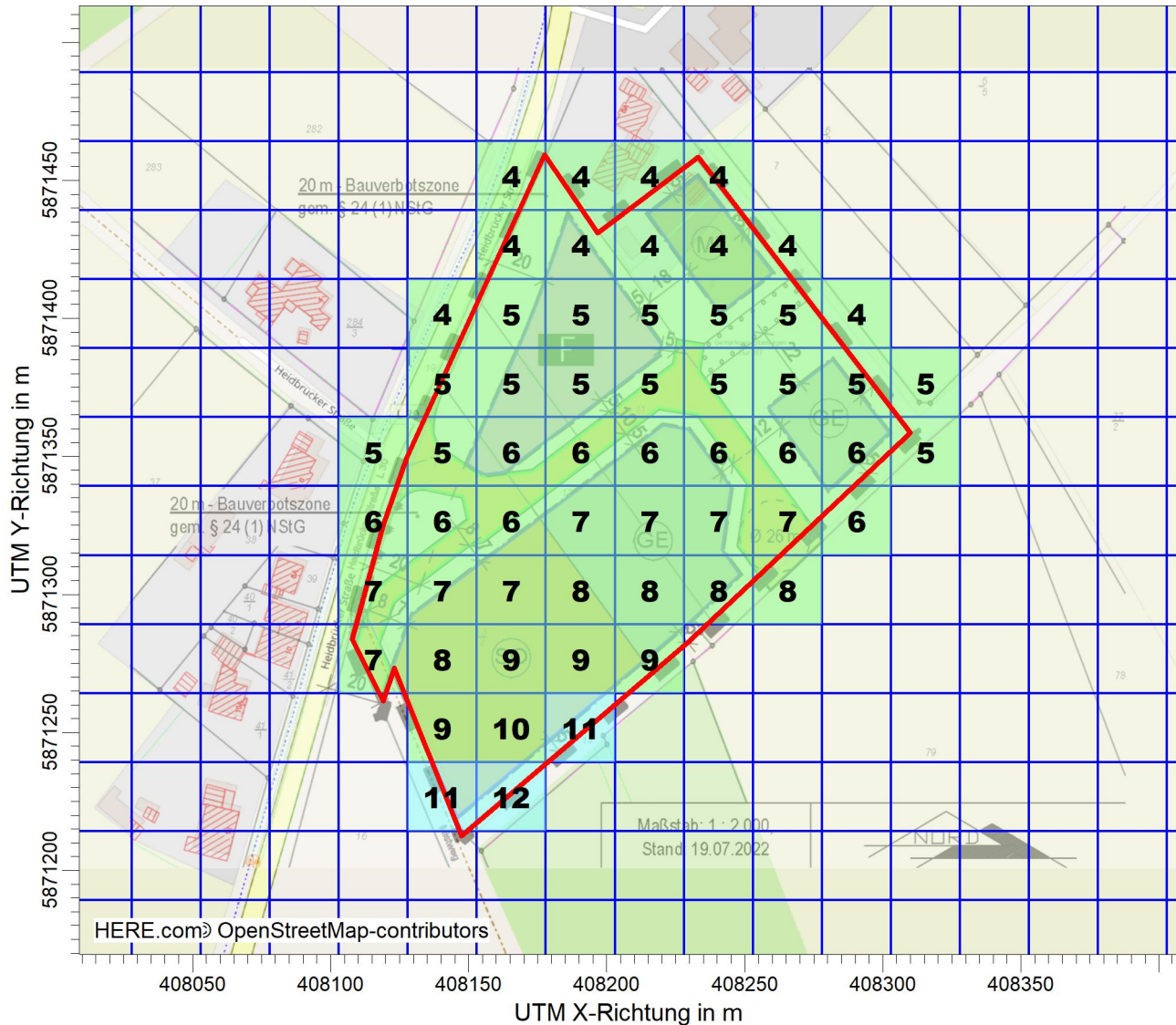
Stoff	Kenngroesse	Wert	Einheit	statistischer Fehler
ODOR_075: Geruchsstoff (Bewertungsfaktor 0.75)	ASW	4	%	0,1 %
ODOR_075: Geruchsstoff (Bewertungsfaktor 0.75)	J00	4,1	%	0 %
ODOR_075: Geruchsstoff (Bewertungsfaktor 0.75)	J00F	4,1	%	
ODOR_100: Geruchsstoff (Bewertungsfaktor 1.00)	ASW	1,2	%	0 %
ODOR_100: Geruchsstoff (Bewertungsfaktor 1.00)	J00	1,2	%	0 %
ODOR_100: Geruchsstoff (Bewertungsfaktor 1.00)	J00F	1,2	%	
ODOR_MOD	ASW	5,6	%	
ODOR_MOD	J00	5,7	%	

## Auswertung der Ergebnisse:

- J00/Y00:** Jahresmittel der Konzentration
- Tnn/Dnn:** Höchstes Tagesmittel der Konzentration mit nn Überschreitungen
- Snn/Hnn:** Höchstes Stundenmittel der Konzentration mit nn Überschreitungen
- DEP:** Jahresmittel der Deposition

PROJEKT-TITEL:

**Esterwegen**



ODOR\_MOD / ASWz: Jahres-Häufigkeit von Geruchstunden (Auswertung) / 0 - 3m %

ODOR\_MOD ASW: Max = 12 ( X = 408165,52 m, Y = 5871226,69 m )



BEMERKUNGEN:  Gesamtbelastung an Geruchsimmissionen	STOFF:	FIRMENNAME:	
	<b>ODOR_MOD</b>	<b>Zech Umweltanalytik GmbH</b>	
	EINHEITEN:		
	<b>%</b>		
QUELLEN:	<b>54</b>	MAßSTAB:	1:2.500
AUSGABE-TYP:	<b>ODOR_MOD ASW</b>	DATUM:	30.11.2022
		PROJEKT-NR.:	<b>LG17529</b>



### Prüfliste für die Immissionsprognose

Titel:  
 Verfasser:  
 Prüfliste ausgefüllt von:

Version Nr.:  
 Datum:  
 Prüfliste Datum:

Abschnitt in VDI 3783 Blatt 13	Prüfpunkt	Entfällt	Vorhanden	Abschnitt/ Seite im Gutachten
4.1	Aufgabenstellung			
4.1.1	Allgemeine Angaben aufgeführt		<input type="checkbox"/>	
	Vorhabensbeschreibung dargelegt		<input type="checkbox"/>	
	Ziel der Immissionsprognose erläutert		<input type="checkbox"/>	
	Verwendete Programme und Versionen aufgeführt		<input type="checkbox"/>	
4.1.2	Beurteilungsgrundlagen dargestellt		<input type="checkbox"/>	
4.2	Örtliche Verhältnisse			
	Ortsbesichtigung dokumentiert		<input type="checkbox"/>	
4.2.1	Umgebungskarte vorhanden		<input type="checkbox"/>	
	Geländestruktur (Orografie) beschrieben		<input type="checkbox"/>	
4.2.2	Nutzungsstruktur beschrieben (mit eventuellen Besonderheiten)		<input type="checkbox"/>	
	Maßgebliche Immissionsorte identifiziert nach Schutzgütern (z. B. Mensch, Vegetation, Boden)		<input type="checkbox"/>	
4.3	Anlagenbeschreibung			
	Anlage beschrieben		<input type="checkbox"/>	
	Emissionsquellenplan enthalten		<input type="checkbox"/>	
4.4	Schornsteinhöhenbestimmung			
4.4.1	Bei Errichtung neuer Schornsteine, bei Veränderung bestehender Schornsteine, bei Zusammenfassung der Emissionen benachbarter Schornsteine: Schornsteinhöhenbestimmung gemäß TA Luft dokumentiert, einschließlich Emissionsbestimmung für das Nomogramm	<input type="checkbox"/>	<input type="checkbox"/>	
	Bei ausgeführter Schornsteinhöhenbestimmung: umliegende Bebauung, Bewuchs und Geländeunebenheiten berücksichtigt	<input type="checkbox"/>	<input type="checkbox"/>	
4.4.3	Bei Gerüchen: Schornsteinhöhe über Ausbreitungsrechnung bestimmt	<input type="checkbox"/>	<input type="checkbox"/>	
4.5	Quellen und Emissionen			
4.5.1	Quellstruktur (Punkt-, Linien-, Flächen-, Volumenquellen) beschrieben		<input type="checkbox"/>	
	Koordinaten, Ausdehnung und Ausrichtung und Höhe (Unterkante) der Quellen tabellarisch aufgeführt		<input type="checkbox"/>	
4.5.2	Bei Zusammenfassung von Quellen zu Ersatzquelle: Eignung des Ansatzes begründet	<input type="checkbox"/>	<input type="checkbox"/>	
4.5.3	Emissionen beschrieben		<input type="checkbox"/>	
	Emissionsparameter hinsichtlich ihrer Eignung bewertet		<input type="checkbox"/>	
	Emissionsparameter tabellarisch aufgeführt		<input type="checkbox"/>	
4.5.3.1	Bei Ansatz zeitlich veränderlicher Emissionen: zeitliche Charakteristik der Emissionsparameter dargelegt	<input type="checkbox"/>	<input type="checkbox"/>	
	Bei Ansatz windinduzierter Quellen: Ansatz begründet	<input type="checkbox"/>	<input type="checkbox"/>	

Abschnitt in VDI 3783 Blatt 13	Prüfpunkt	Entfällt	Vorhanden	Abschnitt/ Seite im Gutachten
4.5.3.2	Bei Ansatz einer Abluffahnenüberhöhung: Voraussetzungen für die Berücksichtigung einer Überhöhung geprüft (Quellhöhe, Abluftgeschwindigkeit, Umgebung usw.)	<input type="checkbox"/>	<input type="checkbox"/>	
4.5.3.3	Bei Berücksichtigung von Stäuben: Verteilung der Korngrößenklassen angegeben	<input type="checkbox"/>	<input type="checkbox"/>	
4.5.3.4	Bei Berücksichtigung von Stickstoffoxiden: Aufteilung in Stickstoffmonoxid- und Stickstoffdioxid-Emissionen erfolgt	<input type="checkbox"/>	<input type="checkbox"/>	
	Bei Vorgabe von Stickstoffmonoxid: Konversion zu Stickstoffdioxid berücksichtigt	<input type="checkbox"/>	<input type="checkbox"/>	
4.5.4	Zusammenfassende Tabelle aller Emissionen vorhanden		<input type="checkbox"/>	
4.6	Deposition			
	Dargelegt, ob Depositionsberechnung erforderlich		<input type="checkbox"/>	
	Bei erforderlicher Depositionsberechnung: rechtliche Grundlagen (z.B. TA Luft) aufgeführt	<input type="checkbox"/>	<input type="checkbox"/>	
	Bei Betrachtung von Deposition: Depositionsgeschwindigkeiten dokumentiert	<input type="checkbox"/>	<input type="checkbox"/>	
4.7	Meteorologische Daten			
	Meteorologische Datenbasis beschrieben		<input type="checkbox"/>	
	Bei Verwendung übertragener Daten: Stationsname, Höhe über Normalhöhennull (NHN), Anemometerhöhe, Koordinaten und Höhe der verwendeten Anemometerposition über Grund, Messzeitraum angegeben	<input type="checkbox"/>	<input type="checkbox"/>	
	Bei Messungen am Standort: Koordinaten und Höhe über Grund, Gerätetyp, Messzeitraum, Datenerfassung und Auswertung beschrieben	<input type="checkbox"/>	<input type="checkbox"/>	
	Bei Messungen am Standort: Karte und Fotos des Standorts vorgelegt	<input type="checkbox"/>	<input type="checkbox"/>	
	Häufigkeitsverteilung der Windrichtungen (Windrose) grafisch dargestellt		<input type="checkbox"/>	
	Bei Ausbreitungsklassenstatistik (AKS): Jahresmittel der Windgeschwindigkeit und Häufigkeitsverteilung bezogen auf TA-Luft-Stufen und Anteil der Stunden mit $< 1,0 \text{ m} \cdot \text{s}^{-1}$ angegeben	<input type="checkbox"/>	<input type="checkbox"/>	
4.7.1	Räumliche Repräsentanz der Messungen für Rechengebiet begründet		<input type="checkbox"/>	
	Bei Übertragungsprüfung: Verfahren angegeben und gegebenenfalls beschrieben	<input type="checkbox"/>	<input type="checkbox"/>	
4.7.2	Bei AKS: zeitliche Repräsentanz begründet	<input type="checkbox"/>	<input type="checkbox"/>	
	Bei Jahreszeitreihe: Auswahl des Jahres der Zeitreihe begründet	<input type="checkbox"/>	<input type="checkbox"/>	
4.7.3	Einflüsse von lokalen Windsystemen (Berg-/Tal-, Land-/Seewinde, Kaltluftabflüsse) diskutiert		<input type="checkbox"/>	
	Bei Vorhandensein wesentlicher Einflüsse von lokalen Windsystemen: Einflüsse berücksichtigt	<input type="checkbox"/>	<input type="checkbox"/>	
4.8	Rechengebiet			
4.8.1	Bei Schornsteinen: TA-Luft-Rechengebiet: Radius mindestens $50 \times$ größte Schornsteinbauhöhe	<input type="checkbox"/>	<input type="checkbox"/>	
	Bei Gerüchen: Größe an relevante Nutzung (Wohn-Misch-Gewerbegebiet, Außenbereich) angepasst	<input type="checkbox"/>	<input type="checkbox"/>	

Abschnitt in VDI 3783 Blatt 13	Prüfpunkt	Entfällt	Vorhanden	Abschnitt/ Seite im Gutachten
	Bei Schornsteinen: Horizontale Maschenweite des Rechengebiets nicht größer als Schornsteinbauhöhe (gemäß TA Luft)	<input type="checkbox"/>	<input type="checkbox"/>	
4.8.2	Bei Rauigkeitslänge aus CORINE-Kataster: Eignung des Werts geprüft	<input type="checkbox"/>	<input type="checkbox"/>	
	Bei Rauigkeitslänge aus eigener Festlegung: Eignung begründet	<input type="checkbox"/>	<input type="checkbox"/>	
4.9	Komplexes Gelände			
4.9.2	Prüfung auf vorhandene oder geplante Bebauung im Abstand von der Quelle kleiner als das Sechsfache der Gebäudehöhe, daraus die Notwendigkeit zur Berücksichtigung von Gebäudeeinflüssen abgeleitet		<input type="checkbox"/>	
	Bei Berücksichtigung von Bebauung: Vorgehensweise detailliert dokumentiert	<input type="checkbox"/>	<input type="checkbox"/>	
	Bei Verwendung eines Windfeldmodells: Lage der Rechengitter und aufgerasterte Gebäudegrundflächen dargestellt	<input type="checkbox"/>	<input type="checkbox"/>	
4.9.3	Bei nicht ebenem Gelände: Geländesteigung und Höhendifferenzen zum Emissionsort geprüft und dokumentiert	<input type="checkbox"/>	<input type="checkbox"/>	
	Aus Geländesteigung und Höhendifferenzen Notwendigkeit zur Berücksichtigung von Geländeunebenheiten abgeleitet	<input type="checkbox"/>	<input type="checkbox"/>	
	Bei Berücksichtigung von Geländeunebenheiten: Vorgehensweise detailliert beschrieben	<input type="checkbox"/>	<input type="checkbox"/>	
4.10	Statistische Sicherheit			
	Statistische Unsicherheit der ausgewiesenen Immissionskenngrößen angegeben		<input type="checkbox"/>	
4.11	Darstellung der Ergebnisse			
4.11.1	Ergebnisse kartografisch dargestellt, Maßstabsbalken, Legende, Nordrichtung gekennzeichnet		<input type="checkbox"/>	
	Beurteilungsrelevante Immissionen im Kartenausschnitt enthalten	<input type="checkbox"/>	<input type="checkbox"/>	
	Geeignete Skalierung der Ergebnisdarstellung vorhanden		<input type="checkbox"/>	
4.11.2	Bei entsprechender Aufgabenstellung: Tabellarische Ergebnisangabe für die relevanten Immissionsorte aufgeführt	<input type="checkbox"/>	<input type="checkbox"/>	
4.11.3	Ergebnisse der Berechnungen verbal beschrieben		<input type="checkbox"/>	
4.11.4	Protokolle der Rechenläufe beigefügt		<input type="checkbox"/>	
4.11.5	Verwendete Messberichte, Technische Regeln, Verordnungen und Literatur sowie Fremdgutachten, Eingangsdaten, Zitate von weiteren Unterlagen vollständig angegeben		<input type="checkbox"/>	